

EEL760 – Notas de Aula

José Gabriel R. C. Gomes

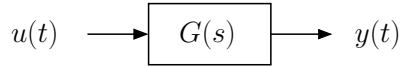
UFRJ

25-set-2009

Parte I – Projeto de Sistemas de Controle Contínuos no Espaço de Estados

1. Representação no Espaço de Estados (Revisão)

1.1. FCC (Forma Canônica Controlável)



$$y^{(n)} + a_1 y^{(n-1)} + a_2 y^{(n-2)} + \dots + a_n y = b_1 u^{(m)} + b_2 u^{(m-1)} + \dots + b_{m+1} u$$

Vamos considerar $m \leq n$

a) Caso particular em que $n = 3$ e $m = 2$:

$$y''' + a_1y'' + a_2y' + a_3y = b_1u'' + b_2u' + b_3u$$

Assumindo condições iniciais nulas ($y(0) = 0$, $y'(0) = 0$, $y''(0) = 0$)

$$Y(s)(s^3 + a_1s^2 + a_2s + a_3) = U(s)(b_1s^2 + b_2s + b_3)$$

Função de Transferência:

$$G(s) = \frac{Y(s)}{U(s)} = \frac{b_1s^2 + b_2s + b_3}{s^3 + a_1s^2 + a_2s + a_3}$$

Escolha das variáveis de estado

Considere $E(s)$ definido por $\frac{E(s)}{U(s)} = \frac{1}{s^3 + a_1 s^2 + a_2 s + a_3}$

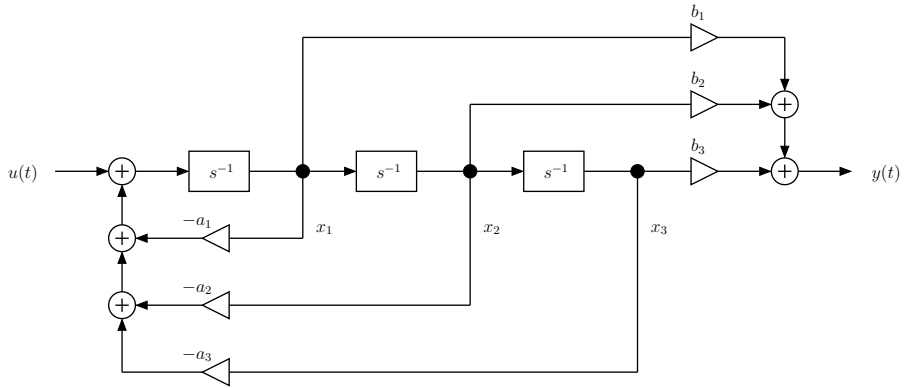
$$e''' + a_1 e'' + a_2 e' + a_3 e = u$$
$$\begin{matrix} \downarrow & \downarrow & \downarrow \\ x_1 & x_2 & x_3 \end{matrix}$$

$$\begin{matrix} x'_3 = x_2 \\ x'_2 = x_1 \\ x'_1 = u - a_1 x_1 - a_2 x_2 - a_3 x_3 \end{matrix} \Rightarrow \left[\begin{array}{c} \dot{x}_1 \\ \dot{x}_2 \\ \dot{x}_3 \end{array} \right] = \left[\begin{array}{ccc} -a_1 & -a_2 & -a_3 \\ 1 & 0 & 0 \\ 0 & 1 & 0 \end{array} \right] \left[\begin{array}{c} x_1 \\ x_2 \\ x_3 \end{array} \right] + \left[\begin{array}{c} 1 \\ 0 \\ 0 \end{array} \right] u$$

Note também que $\frac{Y(s)}{E(s)} = b_1 s^2 + b_2 s + b_3$ (pois $\frac{Y(s)}{E(s)} \cdot \frac{E(s)}{U(s)} = G(s)$)

$$y = b_1 e'' + b_2 e' + b_3 e \Rightarrow y = \left[\begin{array}{ccc} b_1 & b_2 & b_3 \end{array} \right] \left[\begin{array}{c} x_1 \\ x_2 \\ x_3 \end{array} \right]$$

Diagrama de Blocos



- Todos os estados são realimentados para a entrada (também chamada de *controle*).
- Esta representação é útil para o projeto de controladores.

b) Caso Geral:

$$G(s) = \frac{b_1 s^m + \dots + b_{m+1}}{s^n + a_1 s^{n-1} + \dots + a_n}, \text{ onde } m = n - 1.$$

$$\mathbf{F}_{cc} = \begin{bmatrix} -a_1 & -a_2 & -a_3 & \dots & -a_{n-1} & -a_n \\ 1 & 0 & 0 & \dots & 0 & 0 \\ 0 & 1 & 0 & \dots & 0 & 0 \\ \vdots & \vdots & \vdots & & \vdots & \vdots \\ 0 & 0 & 0 & \dots & 1 & 0 \end{bmatrix} \quad \mathbf{G}_{cc} = \begin{bmatrix} 1 \\ 0 \\ 0 \\ \vdots \\ 0 \\ 0 \end{bmatrix}$$
$$\mathbf{H}_{cc} = [\ b_1 \quad b_2 \quad b_3 \quad \dots \quad b_m \quad b_{m+1} \] \quad J_{cc} = 0 \ (\text{assumindo } m < n)$$

$$\dot{\mathbf{x}}(t) = \mathbf{F}_{cc}\mathbf{x}(t) + \mathbf{G}_{cc}u(t)$$
$$y(t) = \mathbf{H}_{cc}\mathbf{x}(t) + J_{cc}u(t)$$

Notação simplificada:

$$\dot{\mathbf{x}} = \mathbf{F}_{cc}\mathbf{x} + \mathbf{G}_{cc}u$$

$$y = \mathbf{H}_{cc}\mathbf{x} + J_{cc}u \ (\text{ou simplesmente } Ju)$$

E se $m = n$?

EXEMPLO #1:

$$G(s) = \frac{2(s+1)(s+4)}{(s+2)(s+3)} = \frac{2s^2 + 10s + 8}{s^2 + 5s + 6}$$

$$\begin{array}{r} 2s^2 + 10s + 8 \\ 2s^2 + 10s + 12 \\ \hline -4 \end{array} \quad \boxed{s^2 + 5s + 6}$$

$$G(s) = 2 + \frac{-4}{s^2 + 5s + 6}$$

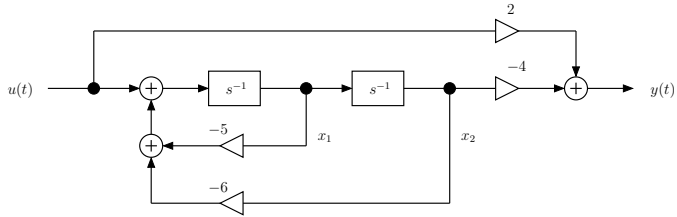
Então: $Y(s) = -4E(s) + 2U(s)$, onde $E(s) = \frac{U(s)}{s^2 + 5s + 6}$

$$\begin{array}{ccccccccc} e'' & + & 5e' & + & 6e & = & u & & y & = & -4e & + & 2u \\ & & \downarrow & & \downarrow & & & & & & & & \downarrow \\ & & x_1 & & x_2 & & & & & & & & x_2 \end{array}$$

Continuação do Exemplo #1:

$$e'' + 5e' + 6e = u \quad y = -4e + 2u$$

\downarrow \downarrow
 x_1 x_2



$$\mathbf{F}_{cc} = \begin{bmatrix} -5 & -6 \\ 1 & 0 \end{bmatrix} \quad \mathbf{G}_{cc} = \begin{bmatrix} 1 \\ 0 \end{bmatrix}$$

$$\mathbf{H}_{cc} = \begin{bmatrix} 0 & -4 \end{bmatrix} \quad J_{cc} = 2$$

1.2. FCM (Forma Canônica Modal)

Expansão em frações parciais

$$G(s) = \frac{b_1 s^m + \dots + b_{m+1}}{s^n + a_1 s^{n-1} + \dots + a_n} = \frac{A_1}{s - p_1} + \frac{A_2}{s - p_2} + \dots + \frac{A_n}{s - p_n}$$

Associação de blocos em paralelo

$$Y(s) = \underbrace{\frac{A_1}{s - p_1} U(s)}_{X_1(s)} + \dots + \underbrace{\frac{A_n}{s - p_n} U(s)}_{X_n(s)} \Rightarrow Y(s) = \sum_{i=1}^n X_i(s) \quad (\text{Opção 1})$$

$$Y(s) = A_1 \underbrace{\frac{U(s)}{s - p_1}}_{X_1(s)} + \dots + A_n \underbrace{\frac{U(s)}{s - p_n}}_{X_n(s)} \Rightarrow Y(s) = \sum_{i=1}^n A_i X_i(s) \quad (\text{Opção 2})$$

Há pelo menos duas opções para a escolha das variáveis de estado. É também possível usar combinações destas duas opções.

Notação:

$$\begin{aligned}\dot{\mathbf{x}} &= \mathbf{F}_{\text{cm}} \mathbf{x} + \mathbf{G}_{\text{cm}} u \\ y &= \mathbf{H}_{\text{cm}} \mathbf{x} + J_{\text{cm}} u \text{ (ou } Ju)\end{aligned}$$

EXEMPLO #2:

$$G(s) = 2 + \frac{-4}{s^2 + 5s + 6} = 2 + \frac{A_1}{s+2} + \frac{A_2}{s+3}$$

$$A_1 = \left. \frac{-4}{s+3} \right|_{s=-2} = -4$$

$$A_2 = \left. \frac{-4}{s+2} \right|_{s=-3} = 4$$

$$G(s) = \frac{-4}{s+2} + \frac{4}{s+3} + 2$$

$$X_1(s) = \frac{1}{s+2} U(s) \longrightarrow x'_1 = -2x_1 + u$$

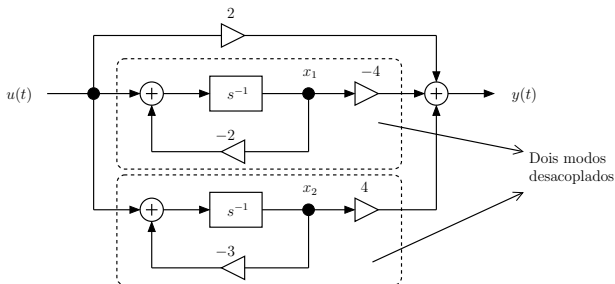
$$X_2(s) = \frac{1}{s+3} U(s) \longrightarrow x'_2 = -3x_2 + u$$

Continuação do EXEMPLO #2:

$$Y(s) = -4X_1(s) + 4X_2(s) + 2U(s) \longrightarrow y(t) = -4x_1(t) + 4x_2(t) + 2u(t)$$

$$\begin{bmatrix} \dot{x}_1 \\ \dot{x}_2 \end{bmatrix} = \begin{bmatrix} -2 & 0 \\ 0 & -3 \end{bmatrix} \begin{bmatrix} x_1 \\ x_2 \end{bmatrix} + \begin{bmatrix} 1 \\ 1 \end{bmatrix} u$$

$$y = \begin{bmatrix} -4 & 4 \end{bmatrix} \begin{bmatrix} x_1 \\ x_2 \end{bmatrix} + 2u$$



Obs.: os pólos múltiplos devem ser agrupados em um só bloco (ver exemplo no site) com modos acoplados, isto é, um bloco envolvendo mais de um integrador. O mesmo deve ser feito com os pólos complexos. Estes casos serão tratados mais frequentemente através da FCC e da FCO.

1.3. Transformação Linear das Variáveis de Estado

$$\mathbf{x} = \mathbf{Tz}, \det(\mathbf{T}) \neq 0$$

x: Representação original no espaço de estados

z: Nova representação no espaço de estados

$$\begin{array}{lcl} \dot{\mathbf{x}} = \mathbf{Fx} + \mathbf{Gu} & \xrightarrow{\mathbf{x} = \mathbf{Tz}} & \mathbf{T}\dot{\mathbf{z}} = \mathbf{FTz} + \mathbf{Gu} \\ y = \mathbf{Hx} + Ju & & y = \mathbf{HTz} + Ju \end{array} \longrightarrow \begin{array}{l} \dot{\mathbf{z}} = \mathbf{T}^{-1}\mathbf{FTz} + \mathbf{T}^{-1}\mathbf{Gu} \\ y = \mathbf{HTz} + Ju \end{array}$$

Então: $\dot{\mathbf{z}} = \mathbf{F}_Z\mathbf{z} + \mathbf{G}_Z u$, onde

$$\begin{aligned} \mathbf{F}_Z &= \mathbf{T}^{-1}\mathbf{FT} \\ \mathbf{G}_Z &= \mathbf{T}^{-1}\mathbf{G} \\ \mathbf{H}_Z &= \mathbf{HT} \\ J_Z &= J \end{aligned}$$

A notação utilizada será:

$$\boxed{\mathbf{z} = \mathbf{Px}} \quad \mathbf{z} = \mathbf{T}^{-1}\mathbf{x}$$

$$\mathbf{x} = \mathbf{P}^{-1}\mathbf{z} \quad \boxed{\mathbf{x} = \mathbf{Tz}}$$

EXEMPLO #3: Partição e multiplicação de matrizes em blocos

$$\mathbf{A} \cdot \mathbf{B} = \left[\begin{array}{c|cc} 2 & 0 & 1 \\ \hline 1 & 1 & -1 \\ 2 & 1 & 0 \end{array} \right] \cdot \left[\begin{array}{c|ccc} 1 & 1 & -1 \\ \hline -2 & -2 & 3 \\ -1 & -2 & 2 \end{array} \right] = \mathbf{I} \quad (\text{note que } \mathbf{A} = \mathbf{B}^{-1})$$

$$\begin{aligned} \left[\begin{array}{c|c} \mathbf{A}_{11} & \mathbf{A}_{12} \\ \hline \mathbf{A}_{21} & \mathbf{A}_{22} \end{array} \right] \cdot \left[\begin{array}{c|c} \mathbf{B}_{11} & \mathbf{B}_{12} \\ \hline \mathbf{B}_{21} & \mathbf{B}_{22} \end{array} \right] &= \begin{bmatrix} \mathbf{A}_{11}\mathbf{B}_{11} + \mathbf{A}_{12}\mathbf{B}_{21} & \mathbf{A}_{11}\mathbf{B}_{12} + \mathbf{A}_{12}\mathbf{B}_{22} \\ \mathbf{A}_{21}\mathbf{B}_{11} + \mathbf{A}_{22}\mathbf{B}_{21} & \mathbf{A}_{21}\mathbf{B}_{12} + \mathbf{A}_{22}\mathbf{B}_{22} \end{bmatrix} \\ &= \begin{bmatrix} 1 & 0 & 0 \\ 0 & 1 & 0 \\ 0 & 0 & 1 \end{bmatrix} \end{aligned}$$

$$\mathbf{A}_{11}\mathbf{B}_{11} + \mathbf{A}_{12}\mathbf{B}_{21} = 2 - 1 = 1$$

$$\mathbf{A}_{11}\mathbf{B}_{12} + \mathbf{A}_{12}\mathbf{B}_{22} = [\begin{array}{cc} 2 & -2 \end{array}] + [\begin{array}{cc} -2 & 2 \end{array}] = [\begin{array}{cc} 0 & 0 \end{array}]$$

$$\mathbf{A}_{21}\mathbf{B}_{11} + \mathbf{A}_{22}\mathbf{B}_{21} = [\begin{array}{c} 1 \\ 2 \end{array}] + [\begin{array}{c} -1 \\ -2 \end{array}] = [\begin{array}{c} 0 \\ 0 \end{array}]$$

$$\mathbf{A}_{21}\mathbf{B}_{12} + \mathbf{A}_{22}\mathbf{B}_{22} = [\begin{array}{cc} 1 & -1 \\ 2 & -2 \end{array}] + [\begin{array}{cc} 0 & 1 \\ -2 & 3 \end{array}] = [\begin{array}{cc} 1 & 0 \\ 0 & 1 \end{array}]$$

Autovalores e Autovetores:

$$\mathbf{F} \in \mathbb{R}^{n \times n} \longrightarrow \mathbf{F}\mathbf{t}_i = \lambda_i \mathbf{t}_i ; i = 1, 2, \dots, n ; \mathbf{t}_i \neq \mathbf{0}$$

\mathbf{t}_i : i -ésimo autovetor

λ_i : i -ésimo autovalor

$(\mathbf{F} - \lambda_i \mathbf{I})\mathbf{t}_i = \mathbf{0}$. Para encontrar λ_i , use: $\mathbf{t}_i \neq \mathbf{0} \Rightarrow \det(\mathbf{F} - \lambda_i \mathbf{I}) = 0$

Diagonalização: $\mathbf{F}\mathbf{t}_1 = \lambda_1 \mathbf{t}_1$
 $\mathbf{F}\mathbf{t}_2 = \lambda_2 \mathbf{t}_2$

Então: $\mathbf{F} \begin{bmatrix} \mathbf{t}_1 & | & \mathbf{t}_2 \end{bmatrix} = \begin{bmatrix} \mathbf{t}_1 & | & \mathbf{t}_2 \end{bmatrix} \begin{bmatrix} \lambda_1 & | & 0 \\ 0 & | & \lambda_2 \end{bmatrix}$

$$\mathbf{FT} = \mathbf{T} \begin{bmatrix} \lambda_1 & 0 \\ 0 & \lambda_2 \end{bmatrix}$$

$$\begin{bmatrix} \lambda_1 & 0 \\ 0 & \lambda_2 \end{bmatrix} = \mathbf{T}^{-1} \mathbf{FT}$$

$\mathbf{F}_{cm} = \mathbf{T}^{-1} \mathbf{FT}$, onde as colunas de \mathbf{T} são os autovetores de \mathbf{F} .

EXEMPLO #4: $\mathbf{F} = \begin{bmatrix} -5 & -6 \\ 1 & 0 \end{bmatrix}$ (ver Exemplos #1 e #2)

Autovalores: $|\lambda\mathbf{I} - \mathbf{F}| = \begin{vmatrix} \lambda + 5 & 6 \\ -1 & \lambda \end{vmatrix} = \lambda^2 + 5\lambda + 6 = 0 \Rightarrow \lambda_1 = -2$ e $\lambda_2 = -3$

Autovetores: $(\mathbf{F} - \lambda_1 \mathbf{I})\mathbf{t}_1 = \mathbf{0}$ $(\mathbf{F} - \lambda_2 \mathbf{I})\mathbf{t}_2 = \mathbf{0}$

$\lambda_1 = -2$: $\lambda_2 = -3$:

$$\begin{bmatrix} 3 & 6 \\ -1 & -2 \end{bmatrix} \begin{bmatrix} t_{11} \\ t_{21} \end{bmatrix} = \mathbf{0} \quad \begin{bmatrix} 2 & 6 \\ -1 & -3 \end{bmatrix} \begin{bmatrix} t_{12} \\ t_{22} \end{bmatrix} = \mathbf{0}$$

$t_{21} = 1 \Rightarrow t_{11} = -2$ $t_{22} = 1 \Rightarrow t_{12} = -3$

$$\mathbf{t}_1 = \begin{bmatrix} -2 \\ 1 \end{bmatrix} \quad \mathbf{t}_2 = \begin{bmatrix} -3 \\ 1 \end{bmatrix}$$

Obs.: note que, para qualquer $\mathbf{T} | \det(\mathbf{T}) \neq 0$, os autovalores de $\mathbf{T}^{-1}\mathbf{FT}$ são iguais aos autovalores de \mathbf{F} , dados por $|\mathbf{F} - \lambda\mathbf{I}| = 0$:

$$|\mathbf{T}^{-1}\mathbf{FT} - \lambda\mathbf{I}| = |\mathbf{T}^{-1}\mathbf{FT} - \mathbf{T}^{-1}\lambda\mathbf{IT}| = |\mathbf{T}^{-1}(\mathbf{F} - \lambda\mathbf{I})\mathbf{T}| = |\mathbf{T}^{-1}||\mathbf{F} - \lambda\mathbf{I}||\mathbf{T}| = |\mathbf{F} - \lambda\mathbf{I}|$$

1.4. Transformação Linear para a FCM

$$\begin{aligned}\dot{\mathbf{x}} &= \mathbf{F}\mathbf{x} + \mathbf{G}u \\ y &= \mathbf{H}\mathbf{x} + Ju\end{aligned}$$

$$\xrightarrow{\mathbf{x} = \mathbf{T}\mathbf{z}}$$

$$\begin{aligned}\dot{\mathbf{z}} &= \mathbf{F}_{cm}\mathbf{z} + \mathbf{G}_{cm}u \\ y &= \mathbf{H}_{cm}\mathbf{z} + J_{cm}u\end{aligned},$$

onde $\mathbf{T} = \begin{bmatrix} | & | & & | \\ \mathbf{t}_1 & \mathbf{t}_2 & \cdots & \mathbf{t}_n \\ | & | & & | \end{bmatrix}$ é a matriz dos autovetores \mathbf{t}_j de \mathbf{F} :

$$(\mathbf{F} - \lambda_j \mathbf{I})\mathbf{t}_j = \mathbf{0}, \mathbf{t}_j \neq \mathbf{0} \text{ e } j = 1, \dots, n.$$

EXEMPLO #5: FCC: $\dot{\mathbf{x}} = \begin{bmatrix} -5 & -6 \\ 1 & 0 \end{bmatrix} \mathbf{x} + \begin{bmatrix} 1 \\ 0 \end{bmatrix} u$ (do EXEMPLO #1)

$$y = [\begin{array}{cc} 0 & -4 \end{array}] \mathbf{x} + 2u$$

→ Passar para a FCM.

$$\mathbf{T} = \begin{bmatrix} -2 & -3 \\ 1 & 1 \end{bmatrix} \quad \mathbf{T}^{-1} = \begin{bmatrix} 1 & 3 \\ -1 & -2 \end{bmatrix}$$

Continuação do EXEMPLO #5:

$$\mathbf{F}_{\text{cm}} = \underbrace{\begin{bmatrix} 1 & 3 \\ -1 & -2 \end{bmatrix} \begin{bmatrix} -5 & -6 \\ 1 & 0 \end{bmatrix}}_{\begin{bmatrix} -2 & -6 \\ 3 & 6 \end{bmatrix}} \begin{bmatrix} -2 & -3 \\ 1 & 1 \end{bmatrix} = \begin{bmatrix} -2 & 0 \\ 0 & -3 \end{bmatrix}$$

$$\mathbf{G}_{\text{cm}} = \begin{bmatrix} 1 & 3 \\ -1 & -2 \end{bmatrix} \begin{bmatrix} 1 \\ 0 \end{bmatrix} = \begin{bmatrix} 1 \\ -1 \end{bmatrix}$$

$$\mathbf{H}_{\text{cm}} = \begin{bmatrix} 0 & -4 \end{bmatrix} \begin{bmatrix} -2 & -3 \\ 1 & 1 \end{bmatrix} = \begin{bmatrix} -4 & -4 \end{bmatrix}$$

$$J_{\text{cm}} = 2$$

Obs.1: compare com o diagrama de blocos do EXEMPLO #2.

Obs.2: nos casos em que há pólos múltiplos, podemos utilizar autovetores generalizados (ver exemplo no site) – por exemplo, $(\mathbf{F} - \lambda_j \mathbf{I})\mathbf{v}_j = \mathbf{t}_j$ – para a obtenção e \mathbf{F}_{cm} na forma de Jordan (e não na forma diagonal).

1.5. Transformação Linear para a FCC

$$\begin{aligned}\dot{\mathbf{x}} &= \mathbf{F}\mathbf{x} + \mathbf{G}u \\ y &= \mathbf{H}\mathbf{x} + Ju\end{aligned}$$

$$\xrightarrow{\mathbf{x} = \mathbf{T}\mathbf{z}}$$

$$\begin{aligned}\dot{\mathbf{z}} &= \mathbf{F}_{cc}\mathbf{z} + \mathbf{G}_{cc}u \\ y &= \mathbf{H}_{cc}\mathbf{z} + J_{cc}u\end{aligned}$$

$$\mathbf{F}_{cc} = \mathbf{T}^{-1}\mathbf{F}\mathbf{T}$$

Considere: $\mathbf{F}_{cc}\mathbf{T}^{-1} = \mathbf{T}^{-1}\mathbf{F}$

$$\mathbf{F}_{cc}\mathbf{P} = \mathbf{P}\mathbf{F}$$

Exemplo de 3^a ordem:

$$\left[\begin{array}{ccc} -a_1 & -a_2 & -a_3 \\ 1 & 0 & 0 \\ 0 & 1 & 0 \end{array} \right] \left[\begin{array}{ccc} \text{---} & \mathbf{p}_1 & \text{---} \\ \text{---} & \mathbf{p}_2 & \text{---} \\ \text{---} & \mathbf{p}_3 & \text{---} \end{array} \right] = \left[\begin{array}{ccc} \text{---} & \mathbf{p}_1 & \text{---} \\ \text{---} & \mathbf{p}_2 & \text{---} \\ \text{---} & \mathbf{p}_3 & \text{---} \end{array} \right] \left[\begin{array}{c} \mathbf{F} \end{array} \right]$$

$$1) \quad \left[\begin{array}{ccc} 0 & 1 & 0 \end{array} \right] \left[\begin{array}{c} \mathbf{p}_1 \\ \mathbf{p}_2 \\ \mathbf{p}_3 \end{array} \right] = \mathbf{p}_3\mathbf{F} \quad \Rightarrow \quad \mathbf{p}_2 = \mathbf{p}_3\mathbf{F}$$

$$2) \quad \left[\begin{array}{ccc} 1 & 0 & 0 \end{array} \right] \left[\begin{array}{c} \mathbf{p}_1 \\ \mathbf{p}_2 \\ \mathbf{p}_3 \end{array} \right] = \mathbf{p}_2\mathbf{F} \quad \Rightarrow \quad \mathbf{p}_1 = \mathbf{p}_2\mathbf{F} \quad \Rightarrow \quad \mathbf{p}_1 = \mathbf{p}_3\mathbf{F}^2$$

Além disso, $\mathbf{T}^{-1}\mathbf{G} = \mathbf{G}_{cc}$:

$$\begin{bmatrix} - & \mathbf{p}_1 & - \\ - & \mathbf{p}_2 & - \\ - & \boxed{\mathbf{p}_3} & - \end{bmatrix} \begin{bmatrix} | \\ \mathbf{G} \\ | \end{bmatrix} = \begin{bmatrix} 1 \\ 0 \\ \boxed{0} \end{bmatrix}$$

$$\begin{bmatrix} \boxed{\mathbf{p}_3\mathbf{G}} & \mathbf{p}_3\mathbf{FG} & \mathbf{p}_3\mathbf{F}^2\mathbf{G} \end{bmatrix} = \begin{bmatrix} \boxed{0} & 0 & 1 \end{bmatrix}$$

$$\{\mathbf{y} \begin{bmatrix} \mathbf{A} & \mathbf{B} \end{bmatrix} = \begin{bmatrix} \mathbf{y}\mathbf{A} & \mathbf{y}\mathbf{B} \end{bmatrix}\}$$

$$\mathbf{p}_3 \underbrace{\begin{bmatrix} \mathbf{G} & \mathbf{FG} & \mathbf{F}^2\mathbf{G} \end{bmatrix}}_{\mathcal{C}} = \begin{bmatrix} 0 & 0 & 1 \end{bmatrix}$$

\mathcal{C} : matriz de *controlabilidade* do sistema (\mathbf{F} , \mathbf{G}).

$$\boxed{\mathbf{p}_3 = \begin{bmatrix} 0 & 0 & 1 \end{bmatrix} \mathcal{C}^{-1}}$$

Em resumo: para converter de \mathbf{F} para \mathbf{F}_{cc} queremos saber \mathbf{T}^{-1} ($= \mathbf{P}$):

① Calcular $\mathcal{C} = [\mathbf{G} \quad \mathbf{FG} \quad \dots \quad \mathbf{F}^{n-1}\mathbf{G}]$;

② Calcular $\mathbf{p}_n = [0 \quad 0 \quad \dots \quad 1] \mathcal{C}^{-1}$;

③ Calcular $\mathbf{P} = \begin{bmatrix} \mathbf{p}_n \mathbf{F}^{n-1} \\ \mathbf{p}_n \mathbf{F}^{n-2} \\ \vdots \\ \mathbf{p}_n \end{bmatrix}$.

EXEMPLO #6: FCM: $\dot{\mathbf{x}} = \begin{bmatrix} -2 & 0 \\ 0 & -3 \end{bmatrix} \mathbf{x} + \begin{bmatrix} 1 \\ -1 \end{bmatrix} u$

$$y = [-4 \quad -4] \mathbf{x} + 2u$$

→ Passar para a FCC.

$$\mathcal{C} = [\mathbf{G} \quad \mathbf{FG}] = \begin{bmatrix} 1 & -2 \\ -1 & 3 \end{bmatrix}; \quad \mathcal{C}^{-1} = \begin{bmatrix} 3 & 2 \\ 1 & 1 \end{bmatrix}$$

$$\mathbf{p}_2 = [0 \quad 1] \mathcal{C}^{-1} = \begin{bmatrix} 3 & 2 \\ 1 & 1 \end{bmatrix} = [1 \quad 1]$$

Continuação do EXEMPLO #6:

$$\mathbf{p}_1 = \mathbf{p}_2 \mathbf{F} = \begin{bmatrix} -2 & -3 \end{bmatrix}$$

$$\mathbf{P} = \begin{bmatrix} -2 & -3 \\ 1 & 1 \end{bmatrix} = \mathbf{T}^{-1} \quad \Rightarrow \quad \mathbf{T} = \begin{bmatrix} 1 & 3 \\ -1 & -2 \end{bmatrix}$$

$$\mathbf{F}_{cc} = \mathbf{T}^{-1} \mathbf{F} \mathbf{T} = \begin{bmatrix} -2 & -3 \\ 1 & 1 \end{bmatrix} \begin{bmatrix} -2 & 0 \\ 0 & -3 \end{bmatrix} \begin{bmatrix} 1 & 3 \\ -1 & -2 \end{bmatrix} = \begin{bmatrix} -5 & -6 \\ 1 & 0 \end{bmatrix}$$

$$\mathbf{G}_{cc} = \mathbf{T}^{-1} \mathbf{G} = \begin{bmatrix} -2 & -3 \\ 1 & 1 \end{bmatrix} \begin{bmatrix} 1 \\ -1 \end{bmatrix} = \begin{bmatrix} 1 \\ 0 \end{bmatrix}$$

Então:

$$\mathbf{H}_{cc} = \mathbf{H} \mathbf{T} = \begin{bmatrix} -4 & -4 \end{bmatrix} \begin{bmatrix} 1 & 3 \\ -1 & -2 \end{bmatrix} = \begin{bmatrix} 0 & -4 \end{bmatrix}$$

$$J_{cc} = J = 2$$

Compare estes resultados com a FCC do EXEMPLO #1.

1.6. Controlabilidade

- \mathbf{F} e \mathbf{G} descrevem um sistema *controlável* $\Leftrightarrow \det \mathcal{C} \neq 0$.

$$\downarrow \\ \exists u(t), t \in [t_0, t_f] \mid \forall \mathbf{x}(t_0), \mathbf{x}(t_f) = \mathbf{0}$$

- Assumindo que um sistema $\boxed{\mathbf{F}, \mathbf{G}}$, \mathbf{H} , J é controlável (ou seja, $\mathcal{C} = [\mathbf{G} \quad \mathbf{FG} \quad \dots \quad \mathbf{F}^{n-1}\mathbf{G}]$ é não singular) e que $\mathbf{x} = \mathbf{Tz}$:

$$\begin{aligned}\dot{\mathbf{z}} &= \mathbf{F}_Z \mathbf{z} + \mathbf{G}_Z u \\ y &= \mathbf{H}_Z \mathbf{z} + J_Z u\end{aligned}$$

Tem-se:

$$\mathcal{C}_Z = \left[\mathbf{G}_Z \quad \mathbf{F}_Z \mathbf{G}_Z \quad \dots \quad \mathbf{F}_Z^{n-1} \mathbf{G}_Z \right]$$

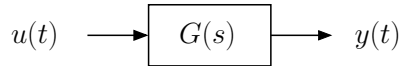
$$\mathcal{C}_Z = \left[\mathbf{T}^{-1} \mathbf{G} \quad \mathbf{T}^{-1} \mathbf{FTT}^{-1} \mathbf{G} \quad \dots \quad (\mathbf{T}^{-1} \mathbf{FT})^{n-1} \mathbf{T}^{-1} \mathbf{G} \right] \quad \left\{ (\mathbf{AB})^{-1} = \mathbf{B}^{-1} \mathbf{A}^{-1} \right\}$$

$$\mathcal{C}_Z = \left[\mathbf{T}^{-1} \mathbf{G} \quad \mathbf{T}^{-1} \mathbf{FG} \quad \dots \quad \mathbf{T}^{-1} \mathbf{F}^{n-1} \mathbf{G} \right]$$

$$\boxed{\mathcal{C}_Z = \mathbf{T}^{-1} \mathcal{C}}$$

Portanto, o sistema \mathbf{F}_Z , \mathbf{G}_Z , \mathbf{H}_Z , J_Z é controlável também: $\det(\mathcal{C}) \neq 0 \Rightarrow \det(\mathbf{C}_Z) \neq 0$.

1.7. FCO (Forma Canônica Observável)



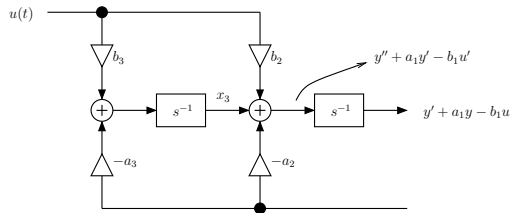
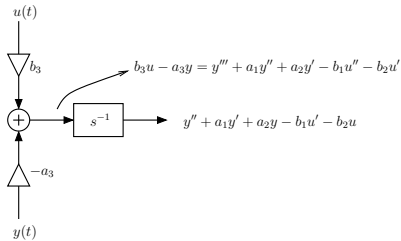
$$y^{(n)} + a_1 y^{(n-1)} + a_2 y^{(n-2)} + \dots + a_n y = b_1 u^{(m)} + b_2 u^{(m-1)} + \dots + b_{m+1} u$$

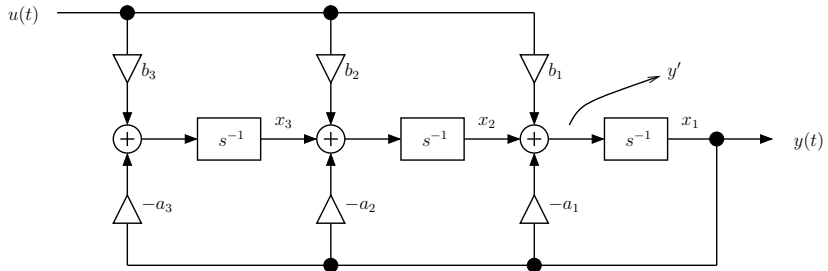
Vamos considerar $m \leq n$

a) Caso particular em que $n = 3$ e $m = 2$:

$$y''' + a_1 y'' + a_2 y' + a_3 y = b_1 u'' + b_2 u' + b_3 u$$

Supondo que u e y são conhecidos:





- Todos os *loops* de realimentação usam a saída.
- Dualidade com relação ao diagrama de blocos da FCC.
- Equações de estado:

$$\begin{aligned} x'_1 &= -a_1 x_1 + x_2 + b_1 u \\ x'_2 &= -a_2 x_2 + x_3 + b_2 u \\ x'_3 &= -a_3 x_3 + b_3 u \end{aligned} \Rightarrow \begin{bmatrix} \dot{x}_1 \\ \dot{x}_2 \\ \dot{x}_3 \end{bmatrix} = \begin{bmatrix} -a_1 & 1 & 0 \\ -a_2 & 0 & 1 \\ -a_3 & 0 & 0 \end{bmatrix} \begin{bmatrix} x_1 \\ x_2 \\ x_3 \end{bmatrix} + \begin{bmatrix} b_1 \\ b_2 \\ b_3 \end{bmatrix} u$$

$$y = x_1 \Rightarrow y = [\begin{array}{ccc} 1 & 0 & 0 \end{array}] \begin{bmatrix} x_1 \\ x_2 \\ x_3 \end{bmatrix}$$

b) Caso Geral:

$$G(s) = \frac{b_1 s^m + \dots + b_{m+1}}{s^n + a_1 s^{n-1} + \dots + a_n}, \text{ onde } m = n - 1.$$

$$\begin{aligned}\dot{\mathbf{x}} &= \mathbf{F}_{\text{co}} \mathbf{x} + \mathbf{G}_{\text{co}} u \\ y &= \mathbf{H}_{\text{co}} \mathbf{x} + J_{\text{co}} u \text{ (ou simplesmente } Ju)\end{aligned}$$

$$\mathbf{F}_{\text{co}} = \begin{bmatrix} -a_1 & 1 & 0 & \dots & 0 \\ -a_2 & 0 & 1 & \dots & 0 \\ -a_3 & 0 & 0 & \dots & 0 \\ \vdots & \vdots & \vdots & & \vdots \\ -a_{n-1} & 0 & 0 & \dots & 1 \\ -a_n & 0 & 0 & \dots & 0 \end{bmatrix} \quad \mathbf{G}_{\text{co}} = \begin{bmatrix} b_1 \\ b_2 \\ b_3 \\ \vdots \\ b_m \\ b_{m+1} \end{bmatrix}$$

$$\mathbf{H}_{\text{co}} = [\begin{array}{cccccc} 1 & 0 & 0 & \dots & 0 & 0 \end{array}] \quad J_{\text{co}} = 0 \text{ (assumindo } m < n)$$

FCC	FCO
\mathbf{F}	\mathbf{F}^T
\mathbf{G}	\mathbf{H}^T
\mathbf{H}	\mathbf{G}^T

Obs.: note a dualidade existente entre a FCC e a FCO:

1.8. Transformação Linear para a FCO

$$\begin{aligned}\dot{\mathbf{x}} &= \mathbf{F}\mathbf{x} + \mathbf{G}u \\ y &= \mathbf{H}\mathbf{x} + J_u\end{aligned}$$

$$\xrightarrow{\mathbf{x} = \mathbf{T}\mathbf{z}}$$

$$\begin{aligned}\dot{\mathbf{z}} &= \mathbf{F}_{\text{co}}\mathbf{z} + \mathbf{G}_{\text{co}}u \\ y &= \mathbf{H}_{\text{co}}\mathbf{z} + J_{\text{co}}u\end{aligned}$$

$$\mathbf{F}_{\text{co}} = \mathbf{T}^{-1}\mathbf{FT}$$

Considere:

$$\mathbf{TF}_{\text{co}} = \mathbf{FT}$$

Exemplo de 3^a ordem:

$$\left[\begin{array}{ccc|c} & & & \\ \mathbf{t}_1 & \mathbf{t}_2 & \mathbf{t}_3 & \\ & & & \end{array} \right] \left[\begin{array}{ccc} -a_1 & 1 & 0 \\ -a_2 & 0 & 1 \\ -a_3 & 0 & 0 \end{array} \right] = \left[\begin{array}{c} \mathbf{F} \end{array} \right] \left[\begin{array}{ccc|c} & & & \\ \mathbf{t}_1 & \mathbf{t}_2 & \mathbf{t}_3 & \\ & & & \end{array} \right]$$

$$1) \quad \left[\begin{array}{ccc} \mathbf{t}_1 & \mathbf{t}_2 & \mathbf{t}_3 \end{array} \right] \left[\begin{array}{c} 0 \\ 1 \\ 0 \end{array} \right] = \mathbf{F}\mathbf{t}_3 \quad \Rightarrow \quad \mathbf{t}_2 = \mathbf{F}\mathbf{t}_3$$

$$2) \quad \left[\begin{array}{ccc} \mathbf{t}_1 & \mathbf{t}_2 & \mathbf{t}_3 \end{array} \right] \left[\begin{array}{c} 1 \\ 0 \\ 0 \end{array} \right] = \mathbf{F}\mathbf{t}_2 \quad \Rightarrow \quad \mathbf{t}_1 = \mathbf{F}\mathbf{t}_2 \quad \Rightarrow \quad \mathbf{t}_1 = \mathbf{F}^2\mathbf{t}_3$$

Além disso, $\mathbf{HT} = \mathbf{H}_{\text{co}}$:

$$[- \mathbf{H} -] \begin{bmatrix} | & | & | \\ \mathbf{t}_1 & \mathbf{t}_2 & \boxed{\mathbf{t}_3} \\ | & | & | \end{bmatrix} = \begin{bmatrix} 1 & 0 & \boxed{0} \end{bmatrix}$$

$$\begin{bmatrix} \boxed{\mathbf{Ht}_3} \\ \mathbf{HFT}_3 \\ \mathbf{HF}^2 \mathbf{t}_3 \end{bmatrix} = \begin{bmatrix} \boxed{0} \\ 0 \\ 1 \end{bmatrix}$$

$$\underbrace{\begin{bmatrix} \mathbf{H} \\ \mathbf{HF} \\ \mathbf{HF}^2 \end{bmatrix}}_{\mathcal{O}} \mathbf{t}_3 = \begin{bmatrix} 0 \\ 0 \\ 1 \end{bmatrix}$$

\mathcal{O} : matriz de *observabilidade* do sistema (\mathbf{F} , \mathbf{H}).

$$\mathbf{t}_3 = \mathcal{O}^{-1} \begin{bmatrix} 0 \\ 0 \\ 1 \end{bmatrix}$$

Em resumo: para converter de \mathbf{F} para \mathbf{F}_{co} queremos saber \mathbf{T} :

$$\textcircled{1} \text{ Calcular } \mathcal{O} = \begin{bmatrix} \mathbf{H} \\ \mathbf{HF} \\ \vdots \\ \mathbf{HF}^{n-1} \end{bmatrix};$$

$$\textcircled{2} \text{ Calcular } \mathbf{t}_n = \mathcal{O}^{-1} \begin{bmatrix} 0 \\ 0 \\ \vdots \\ 1 \end{bmatrix};$$

$$\textcircled{3} \text{ Calcular } \mathbf{T} = [\mathbf{F}^{n-1}\mathbf{t}_n \quad \mathbf{F}^{n-2}\mathbf{t}_n \quad \dots \quad \mathbf{t}_n].$$

Observabilidade: \mathbf{F} e \mathbf{H} descrevem um sistema *observável* $\Leftrightarrow \det(\mathcal{O}) \neq 0$.



A equação de estados linear $\dot{\mathbf{x}} = \mathbf{Fx}$; $y = \mathbf{Hx}$, com $\mathbf{x}(t_0) = \mathbf{x}_0$, é chamada de *observável em* $[t_0, t_f]$ se o estado inicial for determinado unicamente por $y(t)$, para $t \in [t_0, t_f]$.

[Ver no website – Lista de Exercícios #1](#)

Parte I – Projeto de Sistemas de Controle Contínuos no Espaço de Estados

2. Resposta Dinâmica a partir das Equações de Estado

Lembrando que: $\mathcal{L} \left[\frac{df(t)}{dt} \right] = sF(s) - f(0)$

Temos então: $\mathcal{L} [\dot{\mathbf{x}} = \mathbf{Fx} + \mathbf{Gu}]$

$$\begin{aligned}s\mathbf{X}(s) - \mathbf{x}(0) &= \mathbf{Fx}(s) + \mathbf{Gu}(s) \\ s\mathbf{X}(s) - \mathbf{Fx}(s) &= \mathbf{gu}(s) + \mathbf{x}(0) \\ (s\mathbf{I} - \mathbf{F})\mathbf{X}(s) &= \mathbf{gu}(s) + \mathbf{x}(0) \\ \mathbf{X}(s) &= (s\mathbf{I} - \mathbf{F})^{-1}\mathbf{gu}(s) + (s\mathbf{I} - \mathbf{F})^{-1}\mathbf{x}(0)\end{aligned}$$

mas: $Y(s) = \mathbf{Hx}(s) + JU(s)$,

então: $Y(s) = \underbrace{\mathbf{H}(s\mathbf{I} - \mathbf{F})^{-1}\mathbf{gu}(s) + JU(s)}_{Y_{ZS}(s)} + \underbrace{\mathbf{H}(s\mathbf{I} - \mathbf{F})^{-1}\mathbf{x}(0)}_{Y_{ZI}(s)} \longrightarrow \boxed{y(t) = \mathcal{L}^{-1}[Y(s)]}$

$Y_{ZS}(s)$: resposta ao estado zero

$Y_{ZI}(s)$: resposta à entrada zero

$G(s)$ a partir das equações de estado: $G(s) = \left. \frac{Y(s)}{U(s)} \right|_{\mathbf{x}(0)=\mathbf{0}}$

$$\boxed{G(s) = \mathbf{H}(s\mathbf{I} - \mathbf{F})^{-1}\mathbf{G} + J}$$

EXEMPLO #7: $G(s) = \frac{b_1 s + b_2}{s^2 + a_1 s + a_2}$

$$\mathbf{F}_{\text{co}} = \begin{bmatrix} -a_1 & 1 \\ -a_2 & 0 \end{bmatrix} \quad \mathbf{G}_{\text{co}} = \begin{bmatrix} b_1 \\ b_2 \end{bmatrix} \quad \mathbf{H}_{\text{co}} = \begin{bmatrix} 1 & 0 \end{bmatrix} \quad J_{\text{co}} = 0$$

$$(s\mathbf{I} - \mathbf{F}_{\text{co}}) = \begin{bmatrix} s + a_1 & -1 \\ a_2 & s \end{bmatrix}$$

$$\mathbf{H}_{\text{co}}(s\mathbf{I} - \mathbf{F}_{\text{co}})^{-1}\mathbf{G}_{\text{co}} = \begin{bmatrix} 1 & 0 \end{bmatrix} \frac{\begin{bmatrix} s & 1 \\ -a_2 & s + a_1 \end{bmatrix}}{s^2 + a_1 s + a_2} \begin{bmatrix} b_1 \\ b_2 \end{bmatrix} = \frac{\begin{bmatrix} s & 1 \end{bmatrix} \begin{bmatrix} b_1 \\ b_2 \end{bmatrix}}{s^2 + a_1 s + a_2}$$

Obs.: A transformação linear $\mathbf{x} = \mathbf{Tz}$ não altera $G(s)$.

$$\mathbf{F}_z = \mathbf{T}^{-1}\mathbf{FT} \quad \mathbf{G}_z = \mathbf{T}^{-1}\mathbf{G} \quad \mathbf{H}_z = \mathbf{HT} \quad J_z = J$$

$$G(s) = \mathbf{HT}(\mathbf{T}^{-1}s\mathbf{IT} - \mathbf{T}^{-1}\mathbf{FT})^{-1}\mathbf{T}^{-1}\mathbf{G} + J = \mathbf{HTT}^{-1}(s\mathbf{I} - \mathbf{F})^{-1}\mathbf{TT}^{-1}\mathbf{G} + J = \mathbf{H}(s\mathbf{I} - \mathbf{F})^{-1}\mathbf{G} + J$$

2.1. Pólos e Zeros a partir das Equações de Estado

Pólos – representam modos p_i naturais do sistema: modos nos quais há resposta $y(t)$ quando $u(t) = 0$ e $\mathbf{x}(0) \neq \mathbf{0}$.

i -ésimo pólo: considere $\mathbf{x}(0) = \mathbf{x}_0 \neq \mathbf{0}$ tal que $\mathbf{x}(t) = e^{p_i t} \mathbf{x}_0$.

Substituindo em $\dot{\mathbf{x}} = \mathbf{F}\mathbf{x}$:

$$\begin{aligned} p_i e^{p_i t} \mathbf{x}_0 &= \mathbf{F} e^{p_i t} \mathbf{x}_0 \\ \mathbf{F} \mathbf{x}_0 &= p_i \mathbf{x}_0 \\ (\mathbf{F} - p_i \mathbf{I}) \mathbf{x}_0 &= \mathbf{0} \end{aligned}$$

Então, os pólos do sistema são os autovalores de \mathbf{F} :

$$\det(\mathbf{F} - p_i \mathbf{I}) = 0$$

Equação característica da matriz \mathbf{F} : $\boxed{\det(s\mathbf{I} - \mathbf{F}) = 0}$ ou $\boxed{\alpha(s) = 0}$

Polinômio característico da matriz \mathbf{F} : $\alpha(s) = \det(s\mathbf{I} - \mathbf{F})$

Zeros – modos z_i nos quais $y(t) = 0$ quando $u(t) = u_0 e^{z_i t}$.

Considere $\mathbf{x}(t) = \mathbf{x}_0 e^{z_i t}$. Substituindo $\mathbf{x}(t)$ em $\dot{\mathbf{x}} = \mathbf{F}\mathbf{x} + \mathbf{G}u$:

$$z_i e^{z_i t} \mathbf{x}_0 = \mathbf{F}\mathbf{x}_0 e^{z_i t} + \mathbf{G}u_0 e^{z_i t}$$

$$\begin{bmatrix} (z_i \mathbf{I} - \mathbf{F}) & -\mathbf{G} \end{bmatrix} \begin{bmatrix} \mathbf{x}_0 \\ u_0 \end{bmatrix} = \mathbf{0} \quad \text{Eq. (1)}$$

Substituindo em $y = \mathbf{H}\mathbf{x} + Ju$:

$$\mathbf{H}\mathbf{x}_0 e^{z_i t} + Ju_0 e^{z_i t} = 0$$

$$\begin{bmatrix} \mathbf{H} & J \end{bmatrix} \begin{bmatrix} \mathbf{x}_0 \\ u_0 \end{bmatrix} = \mathbf{0} \quad \text{Eq. (2)}$$

Concatenando as Equações (1) e (2), temos:

$$\begin{bmatrix} z_i \mathbf{I} - \mathbf{F} & -\mathbf{G} \\ \mathbf{H} & J \end{bmatrix} \begin{bmatrix} \mathbf{x}_0 \\ u_0 \end{bmatrix} = \begin{bmatrix} \mathbf{0} \\ \mathbf{0} \end{bmatrix} \quad \text{Eq. (3)}$$

Para que a Equação (3) tenha uma solução não-trivial, $\begin{bmatrix} \mathbf{x}_0 \\ u_0 \end{bmatrix} = \begin{bmatrix} \mathbf{0} \\ 0 \end{bmatrix}$:

$$\det \left(\begin{bmatrix} z_i \mathbf{I} - \mathbf{F} & -\mathbf{G} \\ \mathbf{H} & J \end{bmatrix} \right) = 0$$

Obs.: uma forma alternativa de se calcular $G(s)$ é:

$$G(s) = \frac{\begin{vmatrix} s\mathbf{I} - \mathbf{F} & -\mathbf{G} \\ \mathbf{H} & J \end{vmatrix}}{|s\mathbf{I} - \mathbf{F}|}$$

EXEMPLO #8:

$$\mathbf{F}_{\text{co}} = \begin{bmatrix} -a_1 & 1 \\ -a_2 & 0 \end{bmatrix} \quad \mathbf{G}_{\text{co}} = \begin{bmatrix} b_1 \\ b_2 \end{bmatrix} \quad \mathbf{H}_{\text{co}} = \begin{bmatrix} 1 & 0 \end{bmatrix} \quad J_{\text{co}} = 0$$

$$\begin{vmatrix} s + a_1 & -1 & -b_1 \\ a_2 & s & -b_2 \\ 1 & 0 & 0 \end{vmatrix} = b_1 s + b_2 \quad \Rightarrow \quad b_1 s + b_2 = 0 \quad \text{Ok, ver EXEMPLO #7.}$$

Parte I – Projeto de Sistemas de Controle Contínuos no Espaço de Estados

3. Projeto de Controladores (Realimentação de Estados)

Hipótese: $\mathbf{x}(t)$ é conhecido (mais detalhes na Seção 5).

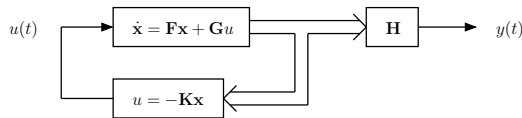
Pólos do sistema realimentado: $\alpha_C(s) = 0$ (mais detalhes na Seção 4).

3.1. Regra de Controle

Fazemos $u(t) = -\mathbf{K}\mathbf{x}(t)$, ou seja $u = -[k_1 \quad k_2 \quad \dots \quad k_n]^T \begin{bmatrix} x_1 \\ x_2 \\ \vdots \\ x_n \end{bmatrix}$

Existem n parâmetros livres: $[k_1 \quad k_2 \quad \dots \quad k_n]$.

Sistema em *malha fechada* (mas ainda sem entrada de referência):



$$\dot{\mathbf{x}} = \mathbf{F}\mathbf{x} + \mathbf{G}u \quad \longrightarrow \quad \dot{\mathbf{x}} = \mathbf{F}\mathbf{x} - \mathbf{G}\mathbf{K}\mathbf{x} \quad \longrightarrow \quad \dot{\mathbf{x}} = (\mathbf{F} - \mathbf{G}\mathbf{K})\mathbf{x}$$

Equação característica: $\det(s\mathbf{I} - \mathbf{F} + \mathbf{GK}) = 0$

Polinômio característico que desejamos obter (pólos desejados): $\alpha_C(s) = (s - p_1)(s - p_2) \dots (s - p_n) = 0$

Então, basta "casar os coeficientes" na equação: $|s\mathbf{I} - \mathbf{F} + \mathbf{GK}| = (s - p_1) \dots (s - p_n)$

EXEMPLO #9: $\mathbf{F} = \begin{bmatrix} -1 & 0 \\ 0 & -4 \end{bmatrix}; \quad \mathbf{G} = \begin{bmatrix} 1/3 \\ -1/3 \end{bmatrix}; \quad \mathbf{H} = [1 \quad 1]; \quad J = 0$

(é a representação de $G(s) = \frac{1}{s^2 + 5s + 4}$ na FCM)

Pólos desejados: $p_1 = -2$ e $p_2 = -3$. $\mathbf{K} = ?$

$$\begin{aligned} |s\mathbf{I} - \mathbf{F} + \mathbf{GK}| &= \begin{vmatrix} s+1 + \frac{1}{3}k_1 & \frac{1}{3}k_2 \\ \frac{-1}{3}k_1 & s+4 - \frac{1}{3}k_2 \end{vmatrix} = \\ &= s^2 + \underbrace{\left(1 + \frac{1}{3}k_1 + 4 - \frac{1}{3}k_2\right)}_{5 + \frac{1}{3}(k_1 - k_2)} s + \underbrace{\left(1 + \frac{1}{3}k_1\right)\left(4 - \frac{1}{3}k_2\right)}_{4 + \frac{1}{3}(4k_1 - k_2)} + \frac{k_1 k_2}{9} \end{aligned}$$

$$\alpha_C(s) = (s+2)(s+3) = s^2 + 5s + 6$$

Então:

$$\begin{cases} \frac{1}{3}(k_1 - k_2) + 5 = 5 & \Rightarrow k_1 = k_2 \\ 4 + \frac{1}{3}(4k_1 - k_2) = 6 & \Rightarrow k_1 = 2 \end{cases} \Rightarrow \boxed{\mathbf{K} = [2 \quad 2]}$$

EXEMPLO #10: Pêndulo – ver livro-texto p. 380 e p. 381 (segunda edição) ou p. 517 e p. 518 (quarta edição).

Upper Companion Matrix: a primeira linha de \mathbf{F}_{cc} “acompanha” os coeficientes de $\alpha(s)$. Considere $\alpha(s) = |s\mathbf{I} - \mathbf{F}_{cc}|$:

$$n = 2: \begin{vmatrix} s + a_1 & a_2 \\ -1 & s \end{vmatrix} = s^2 + a_1 s + a_2$$

$$n = 3: \begin{vmatrix} s + a_1 & a_2 & a_3 \\ -1 & s & 0 \\ 0 & -1 & s \end{vmatrix} = s^3 + a_1 s^2 + a_2 s + a_3$$

$$n = 4: \begin{vmatrix} s + a_1 & a_2 & a_3 & a_4 \\ -1 & s & 0 & 0 \\ 0 & -1 & s & 0 \\ 0 & 0 & -1 & s \end{vmatrix} =$$

$$(s + a_1) \underbrace{\begin{vmatrix} s & 0 & 0 \\ -1 & s & 0 \\ 0 & -1 & s \end{vmatrix}}_{s^3} - a_2 \underbrace{\begin{vmatrix} -1 & 0 & 0 \\ 0 & s & 0 \\ 0 & -1 & s \end{vmatrix}}_{-s^2} + a_3 \underbrace{\begin{vmatrix} -1 & s & 0 \\ 0 & -1 & 0 \\ 0 & 0 & s \end{vmatrix}}_s - a_4 \underbrace{\begin{vmatrix} -1 & s & 0 \\ 0 & -1 & s \\ 0 & 0 & -1 \end{vmatrix}}_{-1}$$

n qualquer:

$$\begin{vmatrix} s + a_1 & a_2 & a_3 & \dots & a_n \\ -1 & s & 0 & \dots & 0 \\ 0 & -1 & s & \dots & 0 \\ \vdots & \vdots & \vdots & \ddots & \vdots \\ 0 & 0 & 0 & \dots & s \end{vmatrix}$$

3.2. Regra de Controle a partir da FCC

Para o sistema $\dot{\mathbf{x}} = \mathbf{F}_{\text{cc}}\mathbf{x} + \mathbf{G}_{\text{cc}}u$ em malha fechada (com $u = -\mathbf{K}\mathbf{x}$):

$$\mathbf{F}_{\text{cc}} - \mathbf{G}_{\text{cc}}\mathbf{K} = \begin{bmatrix} -a_1 & -a_2 & \dots & -a_n \\ 1 & 0 & \dots & 0 \\ \vdots & \vdots & \vdots & \vdots \\ 0 & 0 & \dots & 0 \end{bmatrix} - \begin{bmatrix} 1 \\ 0 \\ \vdots \\ 0 \end{bmatrix} \begin{bmatrix} k_1 & k_2 & \dots & k_n \end{bmatrix}$$
$$\begin{bmatrix} -a_1 - k_1 & -a_2 - k_2 & \dots & -a_n - k_n \\ 1 & 0 & \dots & 0 \\ \vdots & \vdots & \vdots & \vdots \\ 0 & 0 & \dots & 0 \end{bmatrix}$$

A equação característica $|s\mathbf{I} - \mathbf{F}_{\text{cc}} + \mathbf{G}_{\text{cc}}\mathbf{K}|$ é: $s^n + (a_1 + k_1)s^{n-1} + \dots + a_n + k_n = 0$

O polinômio característico desejado é:

$$\alpha_{\text{C}}(s) = (s - p_1)(s - p_2) \dots (s - p_n) = s^n + \alpha_1 s^{n-1} + \dots + \alpha_n = 0.$$

Comparando os coeficientes, temos: $k_i = \alpha_i - a_i, i = 1, \dots, n.$

EXEMPLO #11: $G(s) = \frac{1}{s^2 + 5s + 4}$. Pólos desejados: $\alpha_C(s) = s^2 + 5s + 6$.

Considerando a planta $G(s)$ representada na FCC, temos:

$$\begin{aligned} k_1 &= 5 - 5 = 0 \\ k_2 &= 6 - 4 = 2 \end{aligned} \quad \Rightarrow \quad \boxed{\mathbf{K}_{CC} = \begin{bmatrix} 0 & 2 \end{bmatrix}} \quad \left(|s\mathbf{I} - \mathbf{F}_{CC} + \mathbf{G}_{CC}\mathbf{K}_{CC}| = \begin{vmatrix} s+5+k_1 & 4+k_2 \\ -1 & s \end{vmatrix} \right)$$

No EXEMPLO #9, tínhamos obtido $\mathbf{K}_{CM} = \begin{bmatrix} 2 & 2 \end{bmatrix}$.

\mathbf{K} depende da representação no espaço de estados.

No EXEMPLO #9: $\dot{\mathbf{x}} = \mathbf{F}_{CM}\mathbf{x} + \mathbf{G}_{CM}u$.

No EXEMPLO #11: $\dot{\mathbf{z}} = \mathbf{F}_{CC}\mathbf{z} + \mathbf{G}_{CC}u$, onde $\mathbf{F}_{CC} = \mathbf{T}^{-1}\mathbf{F}_{CM}\mathbf{T}$. $\mathbf{T} = ?$

Cálculo de \mathbf{T} :

$$\mathcal{C}_{CM} = \begin{bmatrix} \mathbf{G}_{CM} & \mathbf{F}_{CM}\mathbf{G}_{CM} \end{bmatrix} = \begin{bmatrix} 1/3 & -1/3 \\ -1/3 & 4/3 \end{bmatrix} \quad \Rightarrow \quad \mathcal{C}_{CM}^{-1} = \begin{bmatrix} 4 & 1 \\ 1 & 1 \end{bmatrix}$$

$$\mathbf{p}_2 = \begin{bmatrix} 0 & 1 \end{bmatrix} \mathcal{C}_{CM}^{-1} = \begin{bmatrix} 1 & 1 \end{bmatrix} \quad \Rightarrow \quad \mathbf{p}_1 = \mathbf{p}_2 \mathbf{F}_{CM} = \begin{bmatrix} -1 & -4 \end{bmatrix}$$

$$\mathbf{P} = \begin{bmatrix} -1 & -4 \\ 1 & 1 \end{bmatrix} \quad \Rightarrow \quad \mathbf{T} = \frac{1}{3} \begin{bmatrix} 1 & 4 \\ -1 & -1 \end{bmatrix}$$

O controlador projetado no EXEMPLO #11 foi $u = -\mathbf{K}_{cc}\mathbf{z}$, mas $\mathbf{z} = \mathbf{Px}$.

Então:

$$u = -\mathbf{K}_{cc}\mathbf{Px}$$

$$u = -[\begin{array}{cc} 0 & 2 \end{array}] \left[\begin{array}{cc} -1 & -4 \\ 1 & 1 \end{array} \right] \mathbf{x}$$

$$u = -\underbrace{[\begin{array}{cc} 2 & 2 \end{array}]}_{\mathbf{K}_{cm}} \mathbf{x}$$

\mathbf{K}_{cm} conforme calculado no EXEMPLO #9.

Conclusão:

Dados:

- Representação em forma qualquer: $\begin{cases} \dot{\mathbf{x}} = \mathbf{Fx} + \mathbf{Gu} \\ y = \mathbf{Hx} + Ju \end{cases}$
- Pólos desejados, representados por $\alpha_C(s)$

Executar os seguintes passos:

- ① Transformar \mathbf{F} para \mathbf{F}_{cc} usando $\mathbf{x} = \mathbf{Tz}$
- ② Obter \mathbf{K}_{cc} por inspeção ($k_i = \alpha_i - a_i$)
- ③ Transformar \mathbf{K}_{cc} de volta para a representação original: $\mathbf{K} = \mathbf{K}_{cc}\mathbf{P}$

3.3. Fórmula de Ackermann (para o posicionamento dos pólos)

Resume os passos 1, 2 e 3 do slide anterior, facilitando o cálculo de \mathbf{K} .

Dados:
$$\begin{cases} \dot{\mathbf{x}} = \mathbf{F}\mathbf{x} + \mathbf{G}u \\ y = \mathbf{H}\mathbf{x} + Ju \\ \alpha_C(s) \end{cases}$$

Faz-se
$$\boxed{\mathbf{K} = \begin{bmatrix} 0 & 0 & \dots & 0 & 1 \end{bmatrix} \mathcal{C}^{-1} \alpha_C(\mathbf{F})},$$

onde $\mathcal{C} = [\mathbf{G} \quad \mathbf{FG} \quad \dots \quad \mathbf{F}^{n-1}\mathbf{G}]$ e $\alpha_C(\mathbf{F}) = \mathbf{F}^n + \alpha_1\mathbf{F}^{n-1} + \alpha_2\mathbf{F}^{n-2} + \dots + \alpha_n\mathbf{I}$

EXEMPLO #12: $\mathbf{F}_{cm} = \begin{bmatrix} -1 & 0 \\ 0 & -4 \end{bmatrix}$ $\mathbf{G}_{cm} = \begin{bmatrix} 1/3 \\ -1/3 \end{bmatrix}$

$\alpha_C(s) = s^2 + 5s + 6$ $\mathbf{K}_{cm} = ?$ (repetição do EXEMPLO #9)

$$\mathcal{C}_{cm}^{-1} = \begin{bmatrix} 4 & 1 \\ 1 & 1 \end{bmatrix}$$

Continuação do Exemplo #12:

$$\alpha_C(\mathbf{F}_{cm}) = \begin{bmatrix} -1 & 0 \\ 0 & -4 \end{bmatrix}^2 + 5 \begin{bmatrix} -1 & 0 \\ 0 & -4 \end{bmatrix} + 6 \begin{bmatrix} 1 & 0 \\ 0 & 1 \end{bmatrix} = \begin{bmatrix} 2 & 0 \\ 0 & 2 \end{bmatrix}$$

Então: $\mathbf{K}_{cm} = [\begin{array}{cc} 0 & 1 \end{array}] \begin{bmatrix} 4 & 1 \\ 1 & 1 \end{bmatrix} \begin{bmatrix} 2 & 0 \\ 0 & 2 \end{bmatrix} \Rightarrow \boxed{\mathbf{K}_{cm} = [\begin{array}{cc} 2 & 2 \end{array}]}$

Observações

- 1) Se $\det(\mathcal{C}) \neq 0$, então é possível ($\exists \mathbf{T} |$) $\mathbf{F} \longrightarrow \mathbf{F}_{cc}$ (usando $\mathbf{x} = \mathbf{T}\mathbf{z}$). Portanto, é possível colocar os pólos do sistema (em malha fechada) em qualquer posição desejável. A planta é controlável.
- 2) Planta não-controlável ($\det(\mathcal{C}) = 0$): pelo menos um dos modos naturais da planta não está acoplado à entrada da mesma.

- 3) Baixa controlabilidade \Rightarrow ganhos k_i altos
- 4) Mover pólos para posições finais (em malha fechada) distantes das posições originais (em malha aberta) \Rightarrow ganhos k_i altos
- 5) Cálculo de **K** no MATLAB:

```
>> F = [-1 0 ; 0 -4]; G = [1/3 ; -1/3];
```

```
>> p = [-2 -3]
```

```
>> K = acker(F,G,p);
```

ou >> K = place(F,G,p);

3.4. Aplicação da Entrada de Referência

Primeira idéia seria: $u(t) = \mathbf{Kx}(t) + r(t)$

Então: $\begin{cases} \dot{\mathbf{x}} = (\mathbf{F} - \mathbf{GK})\mathbf{x} + \mathbf{Gr} \\ y = \mathbf{Hx} \end{cases}$ e $\frac{Y(s)}{R(s)} = \mathbf{H}(s\mathbf{I} - \mathbf{F} + \mathbf{GK})^{-1}\mathbf{G}$

EXEMPLO #13: $\mathbf{F}_{cm} = \begin{bmatrix} -1 & 0 \\ 0 & -4 \end{bmatrix}$ $\mathbf{G}_{cm} = \begin{bmatrix} 1/3 \\ -1/3 \end{bmatrix}$ $\mathbf{H}_{cm} = \begin{bmatrix} 1 & 1 \end{bmatrix}$

$$\mathbf{K}_{cm} = \begin{bmatrix} 2 & 2 \end{bmatrix} \quad \Rightarrow \quad \dot{\mathbf{x}} = \frac{1}{3} \begin{bmatrix} -5 & -2 \\ 2 & -10 \end{bmatrix} \mathbf{x}(t) + \frac{1}{3} \begin{bmatrix} 1 \\ -1 \end{bmatrix}$$
$$y = \begin{bmatrix} 1 & 1 \end{bmatrix} \mathbf{x}$$

Temos:

$$\frac{Y(s)}{R(s)} = \begin{bmatrix} 1 & 1 \end{bmatrix} \begin{bmatrix} s + \frac{5}{3} & \frac{2}{3} \\ \frac{-2}{3} & s + \frac{10}{3} \end{bmatrix}^{-1} \begin{bmatrix} \frac{1}{3} \\ \frac{-1}{3} \end{bmatrix} = \frac{1}{s^2 + 5s + 6}$$

Continuação do EXEMPLO #13:

Resposta ao degrau: $Y(s) = \frac{1}{s} \cdot \frac{1}{s^2 + 5s + 6}$

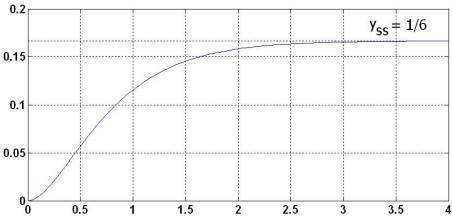
Note que $\underbrace{\lim_{t \rightarrow \infty} y(t)}_{s \rightarrow 0} = sY(s) = \frac{1}{6}$

$$\left(sY(s) - y(0)^- = \int_{0^-}^{\infty} \frac{dy(\tau)}{d\tau} e^{-s\tau} d\tau \right) \text{ (Oppenheim + Willsky)}$$

Ganho DC: $\lim_{s \rightarrow \infty} \frac{Y(s)}{R(s)} = \frac{1}{6} = \frac{1}{\bar{N}}$

Simulação no MATLAB:

```
>> sys = ss((1/3)*[-5 -2 ; 2 -10],[1/3 ; -1/3],[1 1],0);  
>> step(sys);
```



Análise em Estado Estacionário:

$$1. \ r_{\text{ss}} = \lim_{t \rightarrow \infty} r(t)$$

$$2. \ \mathbf{x}_{\text{ss}} = \lim_{t \rightarrow \infty} \mathbf{x}(t)$$

$$3. \ y_{\text{ss}} = \lim_{t \rightarrow \infty} y(t)$$

$$4. \ u_{\text{ss}} = \lim_{t \rightarrow \infty} u(t)$$

$$5. \ \lim_{t \rightarrow \infty} \dot{\mathbf{x}}(t) = \mathbf{0}$$

Podemos escrever \mathbf{x}_{ss} , y_{ss} e u_{ss} em função de r_{ss} :

$$\mathbf{x}_{\text{ss}} = \mathbf{N}_x r_{\text{ss}} \quad (\mathbf{N}_x \text{ vetor } n \times 1)$$

$$y_{\text{ss}} = r_{\text{ss}} \quad (\text{ganho DC unitário})$$

$$u_{\text{ss}} = N_u r_{\text{ss}} \quad (N_u \text{ escalar})$$

Então:

$$\begin{cases} \dot{\mathbf{x}} = \mathbf{F}\mathbf{x} + \mathbf{G}u \\ y = \mathbf{H}\mathbf{x} + Ju \end{cases}$$

$$\begin{cases} \mathbf{0} = \mathbf{F}\mathbf{x}_{ss} + \mathbf{G}u_{ss} \\ y_{ss} = \mathbf{H}\mathbf{x}_{ss} + Ju_{ss} \end{cases}$$

$$\begin{cases} \mathbf{0} = \mathbf{F}\mathbf{N}_x r_{ss} + \mathbf{G}N_u r_{ss} \\ r_{ss} = \mathbf{H}\mathbf{N}_x r_{ss} + JN_u r_{ss} \end{cases}$$

$$\begin{bmatrix} \mathbf{F} & \mathbf{G} \\ \mathbf{H} & J \end{bmatrix} \begin{bmatrix} \mathbf{N}_x \\ N_u \end{bmatrix} = \begin{bmatrix} \mathbf{0} \\ 1 \end{bmatrix}$$

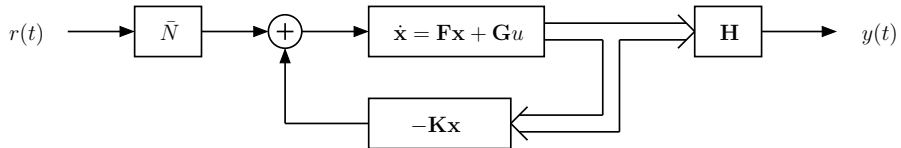
$$\boxed{\begin{bmatrix} \mathbf{N}_x \\ N_u \end{bmatrix} = \begin{bmatrix} \mathbf{F} & \mathbf{G} \\ \mathbf{H} & J \end{bmatrix}^{-1} \begin{bmatrix} \mathbf{0} \\ 1 \end{bmatrix}}$$

Para obter ganho DC = 1, definimos $u(t)$ da seguinte forma:

$$u(t) = N_u r(t) - \mathbf{K}(\mathbf{x}(t) - \mathbf{N}_x r(t)) \quad \left(\text{note que } \lim_{t \rightarrow \infty} u(t) = N_u r_{ss} \right).$$

Portanto: $u = -\mathbf{K}\mathbf{x} + (N_u + \mathbf{K}\mathbf{N}_x)r$

Logo: $u = -\mathbf{Kx} + \bar{N}r$, onde $\bar{N} = N_u + \mathbf{K}\mathbf{N}_x$



Ou simplesmente:

$$\bar{N} = \lim_{s \rightarrow 0} \frac{Y(s)}{R(s)}$$

Então:

$$\begin{cases} \dot{\mathbf{x}} = (\mathbf{F} - \mathbf{GK})\mathbf{x} + \mathbf{G}\bar{N}r \\ y = \mathbf{Hx} \end{cases}$$

EXEMPLO #14: (continuando o EXEMPLO #13)

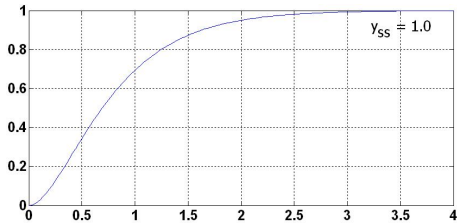
$$\begin{bmatrix} \mathbf{N}_x \\ N_u \end{bmatrix} = \begin{bmatrix} -1 & 0 & 1/3 \\ 0 & -4 & -1/3 \\ 1 & 1 & 0 \end{bmatrix}^{-1} \begin{bmatrix} 0 \\ 0 \\ 1 \end{bmatrix} = \begin{bmatrix} 4/3 \\ -1/3 \\ 4 \end{bmatrix}$$

$$\bar{N} = N_u + \mathbf{K}\mathbf{N}_x = 4 + [\begin{array}{cc} 2 & 2 \end{array}] \begin{bmatrix} 4/3 \\ -1/3 \end{bmatrix} = 6$$

$$\frac{Y(s)}{R(s)} = \frac{6}{s^2 + 5s + 6}$$

Simulação no MATLAB:

```
>> sys = ss((1/3)*[-5 -2 ; 2 -10],[6/3 ; -6/3],[1 1],0);
>> step(sys);
```



Obs.: os zeros da função de transferência são os mesmos para:

$$\left\{ \begin{array}{l} \dot{\mathbf{x}} = \mathbf{F}\mathbf{x} + \mathbf{G}u \\ y = \mathbf{H}\mathbf{x} \end{array} \right. \quad \begin{array}{c} \text{malha} \\ \text{aberta} \end{array} \quad \text{e} \quad \left\{ \begin{array}{l} \dot{\mathbf{x}} = (\mathbf{F} - \mathbf{GK})\mathbf{x} + \mathbf{G}\bar{N}r \\ y = \mathbf{H}\mathbf{x} \end{array} \right. \quad \begin{array}{c} \text{malha} \\ \text{fechada} \end{array}$$

$$\begin{vmatrix} a & b \\ c & d \end{vmatrix} = 0 \iff \begin{vmatrix} a & nb \\ c & nd \end{vmatrix} = 0$$

$$\begin{vmatrix} a & b \\ c & d \end{vmatrix} = 0 \iff \begin{vmatrix} a + nb & b \\ c + nd & d \end{vmatrix} = 0$$

Então:

$$\begin{bmatrix} s\mathbf{I} - (\mathbf{F} - \mathbf{GK}) & -\bar{N}\mathbf{G} \\ \mathbf{H} & 0 \end{bmatrix} \iff \begin{bmatrix} s\mathbf{I} - (\mathbf{F} - \mathbf{GK}) & -\mathbf{G} \\ \mathbf{H} & 0 \end{bmatrix} \iff \begin{bmatrix} s\mathbf{I} - \mathbf{F} & -\mathbf{G} \\ \mathbf{H} & 0 \end{bmatrix}$$
$$= 0 \qquad \qquad \qquad = 0 \qquad \qquad \qquad = 0$$

Ver no website – Lista de Exercícios #2

Parte I – Projeto de Sistemas de Controle Contínuos no Espaço de Estados

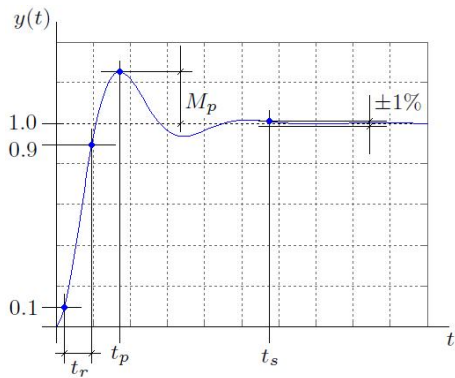
4. Escolha das Posições dos Pólos em Malha Fechada

Dois métodos para a seleção dos pólos:

1. Pólos de Segunda Ordem Dominantes
2. Root Locus Simétrico (SRL) – MATLAB

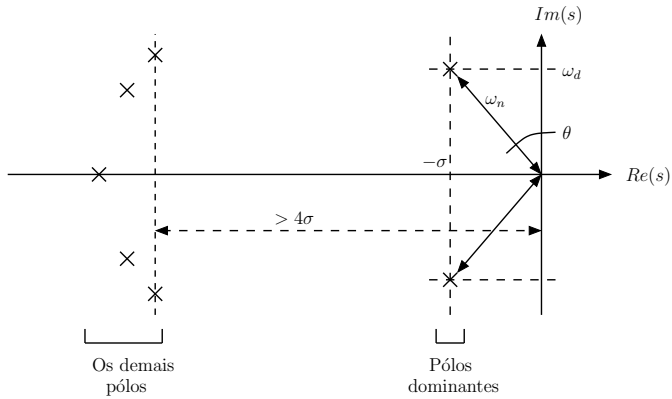
4.1. Método dos Pólos de Segunda Ordem Dominantes

Especificações (da resposta ao degrau):



Sigla	Nome	Exemplo
t_r	tempo de subida (<i>rise-time</i>)	1.5 ms
t_p	tempo de pico (<i>peak-time</i>)	6.3 ms
M_p	<i>overshoot</i>	5%
t_s	tempo de estabelecimento (<i>settling-time</i>)	9.2 ms

Idéia: considerar somente os dois pólos complexos mais próximos do eixo imaginário.
 Posicionar os demais pólos suficientemente “à esquerda” para que a sua influência seja desprezível.



- Método simples para n pólos;
- Pode exigir ganhos maiores do que o necessário.

4.1.1. Dois Pólos Complexos:

$$s = -\sigma \pm j\omega_d$$

$$H(s) = \frac{\omega_n^2}{s^2 + 2\xi\omega_n s + \omega_n^2} \quad \text{Eq. (1)}$$

$$H(s) = \frac{\omega_n^2}{s^2 + 2\sigma s + \omega_d^2 + \sigma^2} \quad \text{Eq. (2)}$$

$$H(s) = \frac{\omega_n^2}{(s + \sigma)^2 + \omega_d^2}$$

$$H(s) = \frac{\omega_n^2}{(s + \sigma + j\omega_d)(s + \sigma - j\omega_d)}$$

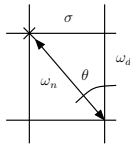
Comparando os coeficientes dos denominadores nas Equações (1) e (2):

$$\sigma = \xi\omega_n$$

σ : constante de decaimento

ξ : amortecimento

ω_n : frequência natural (sem amortecimento)



$$\theta = \arcsin \xi$$

$\omega_d = \omega_n \sqrt{1 - \xi^2}$, onde ω_d : frequência amortecida

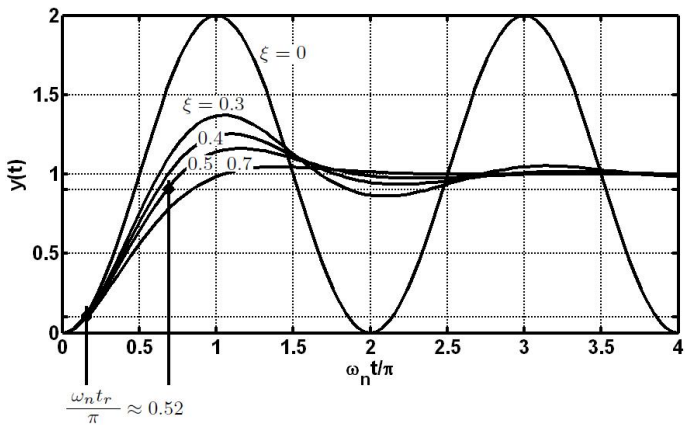
Resposta ao impulso:

$$\left\{ e^{-at} \sin(bt) u(t) \quad \xleftrightarrow{\mathcal{L}} \quad \frac{b}{(s+a)^2 + b^2} \right\}$$

$$H(s) = \frac{\omega_d}{(s+\sigma)^2 + \omega_d^2} \cdot \frac{\omega_n}{\sqrt{1-\xi^2}} \quad \xleftrightarrow{\mathcal{L}} \quad h(t) = \frac{\omega_n}{\sqrt{1-\xi^2}} e^{-\sigma t} \sin(\omega_d t) u(t)$$

Resposta ao degrau:

$$y(t) = \int_0^t h(\tau) d\tau \quad \longrightarrow \quad y(t) = \left[1 - e^{-\sigma t} \left(\cos(\omega_d t) + \frac{\sigma}{\omega_d} \sin(\omega_d t) \right) \right] u(t)$$



$$1. \quad t_r \approx \frac{1.8}{\omega_n} \quad \Rightarrow \quad \boxed{\omega_n > \frac{1.8}{t_r}}$$

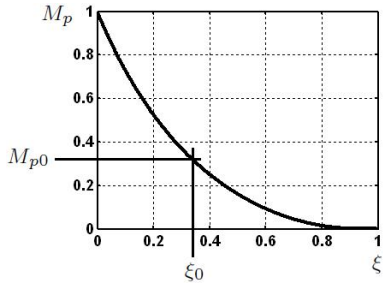
$$2. \quad \text{A partir de } h(t): \quad t_p = \frac{\pi}{\omega_d} \quad \Rightarrow \quad \boxed{\omega_d > \frac{\pi}{t_p}}$$

Obs.: para gerar o gráfico comparativo do slide anterior, use:

```
>> num = 100; den = [1 0 100];  
  
>> sys = tf(num,den); [y,t]=step(sys,4*pi/10);  
  
>> plot(10*t/pi,y); hold on;  
  
>> num = 100; den = [1 6 100];  
  
>> sys = tf(num,den); [y,t]=step(sys,4*pi/10);  
  
>> plot(10*t/pi,y); hold on;  
  
>> num = 100; den = [1 8 100];  
  
>> sys = tf(num,den); [y,t]=step(sys,4*pi/10);  
  
>> plot(10*t/pi,y); hold on;  
  
>> num = 100; den = [1 10 100];  
  
>> sys = tf(num,den); [y,t]=step(sys,4*pi/10);  
  
>> plot(10*t/pi,y); hold on;  
  
>> num = 100; den = [1 14 100];  
  
>> sys = tf(num,den); [y,t]=step(sys,4*pi/10);  
  
>> plot(10*t/pi,y); hold on;  
  
>> grid on; axis([0 4 0 2]);
```

3. A partir de $y(t)$:

$$M_p = e^{-\frac{\sigma\pi}{\omega_d}} = e^{-\frac{\pi\xi}{\sqrt{1-\xi^2}}}$$



ξ	M_p
0.3	0.35
0.4	0.25
0.5	0.16
0.7	0.05

Escolher $\xi > \xi_0$

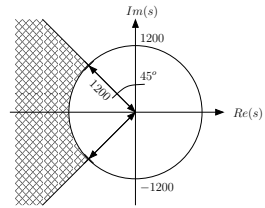
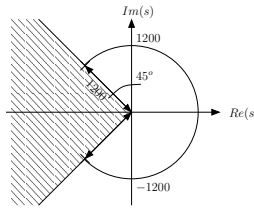
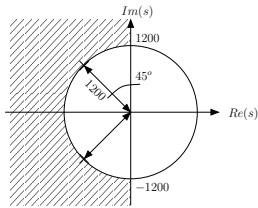
4. A partir de $y(t)$: $e^{-\sigma t_s} = 0.01$ $\Rightarrow \sigma t_s = 4.6 \Rightarrow$

$$\sigma > \frac{4.6}{t_s}$$

EXEMPLO #15: $t_r < 1.5 \text{ ms} \Rightarrow \omega_n > \frac{1.8}{1.5} \times 10^3 = 1200 \text{ rad/seg.}$

$$M_P < 5\% \Rightarrow \xi > 0.7$$

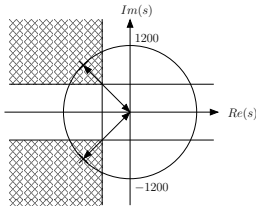
Então $s = -850 \pm 850j$



Obs.: especificações não-utilizadas:

$$t_p < 6.3 \text{ ms} \rightarrow \omega_d > 500 \text{ rad/seg}$$

$$t_s < 9.2 \text{ ms} \rightarrow \sigma > 500 \text{ seg}^{-1}$$



Obs.: para sistema de ordem 1: $y(t) = (1 - e^{-\sigma t})u(t)$

$$\boxed{\sigma > \frac{4.6}{t_s}}$$

$$\boxed{\sigma > \frac{2.2}{t_r}}$$

$$(\ln 0.9 - \ln 0.1 = 2.2)$$

4.1.2. Dois Pólos Complexos + Um Zero Real:

Pólos: $s = -\sigma \pm j\omega_d$

Zero: $s = -\alpha\sigma$

$$H(s) = \frac{\omega_n^2 \left(\frac{s}{\alpha\sigma} + 1 \right)}{s^2 + 2\xi\omega_n s + \omega_n^2}$$

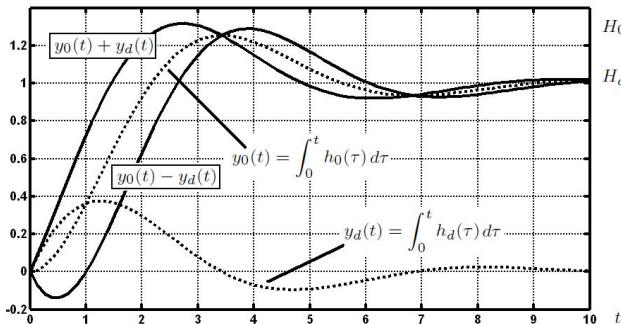
Considerando $\omega_n = 1$ (ou seja $\sigma = \xi\omega_n = \xi$, para simplificar cálculo da resposta ao degrau):

$$H(s) = \frac{\frac{s}{\alpha\xi} + 1}{s^2 + 2\xi s + 1}$$

$$H(s) = \underbrace{\frac{1}{s^2 + 2\xi s + 1}}_{\text{Resposta ao impulso do sistema com dois pólos complexos (4.1.1), } h_0(t)} + \frac{1}{\alpha\xi} \cdot \underbrace{\frac{s}{s^2 + 2\xi s + 1}}_{\text{Derivada da resposta ao impulso, } h_d(t)}$$

Resposta ao impulso
do sistema com dois pólos complexos (4.1.1), $h_0(t)$

Derivada da
resposta ao
impulso, $h_d(t)$



$$H_0(s) = \frac{1}{s^2 + 0.8s + 1}$$

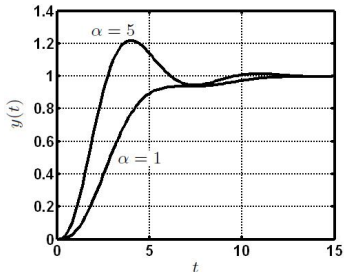
$$H_d(s) = \frac{0.625s}{s^2 + 0.8s + 1} \quad (\alpha = 4)$$

- Efeitos:
- { Se $|\alpha| > 4$: desprezível;
 - Se $0 < \alpha < 4$: t_r diminui; M_p aumenta;
 - Se $-4 < \alpha < 0$ (zero no semiplano lateral direito): resposta começa "na direção contrária".

4.1.3. Dois Pólos Complexos + Um Pólo Real:

$$H(s) = \frac{1}{\left(\frac{s}{\alpha\sigma} + 1\right) \left(\left(\frac{s}{\omega_n}\right)^2 + \frac{2\xi s}{\omega_n} + 1\right)}$$

Efeitos: $\begin{cases} \text{Se } \alpha > 4: \text{desprezível}; \\ \text{Se } 0 < \alpha < 4: t_r \text{ aumenta.} \end{cases}$



Obs.: na figura acima, para $\alpha = 5$:

$$H(s) = \frac{1}{(0.5s + 1)(s^2 + 0.8s + 1)}$$

EXEMPLO #16:

$$M_p < 0.05 \longrightarrow \xi > 0.7$$

$$t_s < 4.6 \text{ seg} \longrightarrow \sigma > \frac{4.6}{4.6} = 1$$

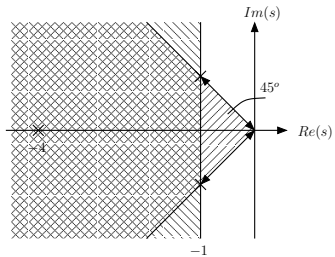
Considerar sistema com três pólos.

Então:

$$\left\{ \begin{array}{l} s = -1 \pm j \text{ (pólos dominantes)} \\ s = -4 \text{ (usando } \alpha = -4) \\ \alpha_c(s) = (s + 1 + j)(s + 1 - j)(s + 4) \\ \alpha_c(s) = (s^2 + 2s + 2)(s + 4) \\ \boxed{\alpha_c(s) = s^3 + 6s^2 + 10s + 8} \end{array} \right.$$

Obs.: simulação no MATLAB:

```
>> sys = tf(8,[1 6 10 8]);  
  
>> step(sys); grid on;
```



Ver no website – Lista de Exercícios #3

4.2. Método SRL (MATLAB)

Regulador Quadrático Linear (LQR) – Controle Ótimo

Dado:
$$\begin{cases} \dot{\mathbf{x}} = \mathbf{F}\mathbf{x} + \mathbf{G}u \\ y = \mathbf{H}\mathbf{x} \end{cases}$$

Escolher \mathbf{K} tal que $J = \int_0^{\infty} (\rho y^2(t) + u^2(t))dt$ seja mínimo (com $u = -\mathbf{K}\mathbf{x}$).

Solução: \mathbf{K} tal que os pólos fiquem sobre o *root locus simétrico* (SRL):

$$1 + \rho G(s)G(-s) = 0, \text{ onde } G(s) = \mathbf{H}(s\mathbf{I} - \mathbf{F})^{-1}\mathbf{G}.$$

EXEMPLO #17: Se $G(s) = \frac{1}{s+a}$:

$$1 + \rho \cdot \frac{1}{s+a} \cdot \frac{1}{-s+a} = 0$$

$$-s^2 + a^2 = -\rho$$

$$s = -\sqrt{a^2 + \rho}$$

Projeto de um LQR no MATLAB (Forma Mais Geral):

$$J = \int_0^{\infty} (\mathbf{x}^T \mathbf{Q} \mathbf{x} + \mathbf{u}^T \mathbf{R} \mathbf{u}) dt$$

Vetor \mathbf{u} : representa múltiplas possíveis entradas.

Então: `>> K = lqr(F, G, Q, R);`

Muitas escolhas são possíveis para \mathbf{Q} e \mathbf{R} :

Exemplo:

$$\begin{aligned}\mathbf{Q} &= \rho \mathbf{H}^T \mathbf{H} \\ \mathbf{R} &= 1\end{aligned}\Rightarrow J = \int_0^{\infty} (\rho y^2 + u^2) dt$$

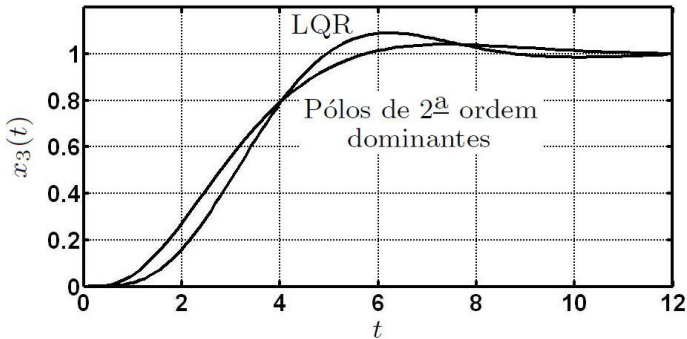
$$\mathbf{Q} = \text{diag} \left\{ \frac{1}{\max(x_i)} \right\}$$

Exemplo:

$$\mathbf{R} = \text{diag} \left\{ \frac{1}{\max(u_i)} \right\} \Rightarrow \mathbf{R} = \frac{1}{\max(u)}$$

EXEMPLO #18: Ver exemplo no livro (quarta edição, páginas 530, 531, 538 e 539 - estão disponíveis no site).

“Tape-drive” (planta com cinco pólos):



Projeto LQR obtém vetor **K** com valores bem menores.

Obs.: o valor de ρ deve ser ajustado pelo projetista, para obter o objetivo desejado. Os casos-limite são:

$$\rho = 0 \text{ (controle caro)}$$

$$\rho \rightarrow \infty \text{ (controle barato)}$$

Obs.: o gráfico comparativo do slide anterior foi gerado com os comandos a seguir:

```
>> clear all;

>> % Polos Dominantes

>> F = [0 2 0 0 0 ; -.1 -.35 .1 .1 .75 ; 0 0 0 2 0 ; .4 .4 -.4 -1.4 0; 0 -.03 0 0 -1];

>> G = [0;0;0;0;1]; pc = [-.707+.707*j ; -.707-.707*j ; -4 ; -4 ; -4]/1.5;

>> Kclassico = acker(F,G,pc)

>> Fclassico = F-G*Kclassico; H = [0 0 1 0 0];

>> N = inv([ [F G] ; [H 0] ])*[0;0;0;0;0;1]

>> Nx=N(1:5); Nu=N(6); Nbar=Nu+Kclassico*Nx;

>> [nclassicod,dclassicod]=ss2tf(Fclassico,Nbar*G,H,0); sysclassicod=tf(nclassicod,dclassicod);

>> roots(dclassicod)*1.5

>> [y,t]=step(sysclassicod); plot(t,y);

>> % LQR

>> H3 = [.5 0 .5 0 0]; R = 1; rho = 1; Q = rho*H3'*H3;

>> Klqr = lqr(F,G,Q,R)

>> Nbar=Nu+Klqr*Nx; Flqr = F-G*Klqr; [nlqr,dlqr]=ss2tf(Flqr,Nbar*G,H,0); syslqr=tf(nlqr,dlqr);

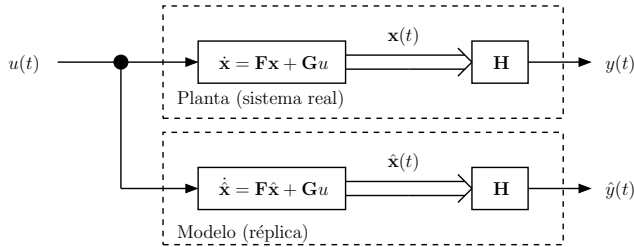
>> [y,t]=step(syslqr); hold on; plot(t,y); axis([0 12 0 1.2]); grid on;
```

Parte I – Projeto de Sistemas de Controle Contínuos no Espaço de Estados

5. Projeto de Estimadores de Estado (Observadores)

- Por causa do custo dos sensores, $\mathbf{x}(t)$ não está disponível.
- Usar uma estimativa, $\hat{\mathbf{x}}(t)$.

5.1. Primeira Idéia (modelo, ou réplica, do sistema)



$$\begin{aligned}\dot{\mathbf{x}} &= \mathbf{F}\mathbf{x} + \mathbf{G}u \\ \dot{\hat{\mathbf{x}}} &= \mathbf{F}\hat{\mathbf{x}} + \mathbf{G}u\end{aligned}$$

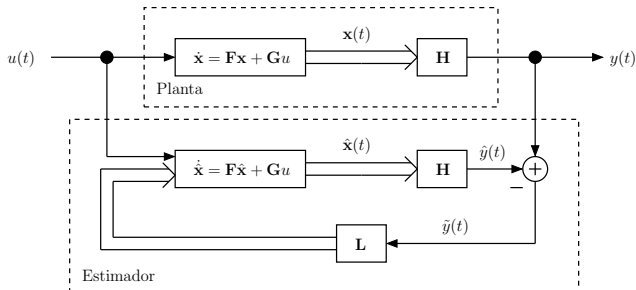
Erro da estimativa: $\begin{aligned}\tilde{\mathbf{x}} &= \mathbf{x} - \hat{\mathbf{x}} \\ \dot{\tilde{\mathbf{x}}} &= \mathbf{F}\mathbf{x} + \mathbf{G}u - \mathbf{F}\hat{\mathbf{x}} - \mathbf{G}u \\ \boxed{\dot{\tilde{\mathbf{x}}} = \mathbf{F}\tilde{\mathbf{x}}}, \text{ sendo } \tilde{\mathbf{x}}(0) &= \mathbf{x}(0) - \hat{\mathbf{x}}(0).\end{aligned}$

Se todos os autovalores de \mathbf{F} tiverem parte real negativa: $\lim_{t \rightarrow \infty} \tilde{\mathbf{x}}(t) = 0$.

Problemas:

- 1 A convergência de $\hat{\mathbf{x}}(t)$ para zero é lenta (ocorre segundo os pólos de $G(s)$).
- 2 Pequenas discrepâncias entre \mathbf{F} da planta e do modelo podem fazer com que o erro de estimação seja alto.

Para resolver estes problemas:



O estimador é definido por:
$$\dot{\hat{\mathbf{x}}} = \mathbf{F}\hat{\mathbf{x}} + \mathbf{G}u + \mathbf{L}(y - \mathbf{H}\hat{\mathbf{x}})$$

$$\mathbf{L} = \begin{bmatrix} l_1 \\ l_2 \\ \vdots \\ l_n \end{bmatrix} \quad (\text{vetor coluna})$$

$$\begin{array}{l} \dot{\mathbf{x}} = \mathbf{F}\mathbf{x} + \mathbf{G}u & \text{Eq. (1)} \\ \dot{\tilde{\mathbf{x}}} = \mathbf{F}\tilde{\mathbf{x}} + \mathbf{G}u + \mathbf{L}(\mathbf{H}\mathbf{x} - \mathbf{H}\tilde{\mathbf{x}}) & \text{Eq. (2)} \\ \hline \dot{\tilde{\mathbf{x}}} = \mathbf{F}\tilde{\mathbf{x}} - \mathbf{LHx} & \text{Eq. (1) - Eq. (2)} \end{array}$$

Então: $\dot{\tilde{\mathbf{x}}} = (\mathbf{F} - \mathbf{LH})\tilde{\mathbf{x}}$

Equação característica do erro de estimação: $\det(s\mathbf{I} - \mathbf{F} + \mathbf{LH}) = 0$

Pólos desejados: $\alpha_e(s) = (s - p_1)(s - p_2) \dots (s - p_n) = 0$.

Então, \mathbf{L} pode ser encontrado através da comparação dos coeficientes em:

$$\det(s\mathbf{I} - \mathbf{F} + \mathbf{LH}) = (s - p_1)(s - p_2) \dots (s - p_n)$$

Obs.1: Planta = sistema físico qualquer
 Estimador = sistema eletrônico (contínuo ou discreto)

Obs.2: Pólos do erro de estimação (raízes de $\alpha_e(s)$): devem ser muito mais “rápidos” ($\sigma_e > 10\sigma_c$) do que os pólos do controle.

5.2. Projeto do Estimador a partir da FCO

Obs.:
$$\left\{ \begin{array}{c|cccc} & s + a_1 & a_2 & \cdots & a_n \\ & -1 & s & \cdots & 0 \\ & 0 & -1 & \cdots & 0 \\ \vdots & \vdots & \vdots & & \vdots \\ 0 & 0 & \cdots & & s \end{array} \right| = s^n + a_1 s^{n-1} + a_2 s^{n-2} + \dots + a_n$$

Note que $\det(A^T) = \det(A)$

$$\begin{aligned}\dot{\mathbf{x}} &= \mathbf{F}\mathbf{x} + \mathbf{G}u \\ y &= \mathbf{H}\mathbf{x}\end{aligned}$$

$$\xrightarrow{\mathbf{x} = \mathbf{T}\mathbf{z}}$$

$$\begin{aligned}\dot{\mathbf{z}} &= \mathbf{F}_{\text{co}}\mathbf{z} + \mathbf{G}_{\text{co}}u \\ y &= \mathbf{H}_{\text{co}}\mathbf{z}\end{aligned}$$

Para o sistema $\dot{\mathbf{z}} = \mathbf{F}_{\text{CO}}\mathbf{z} + \mathbf{G}_{\text{CO}}u$, temos $\mathbf{F}_{\text{CO}} - \mathbf{L}\mathbf{H}_{\text{CO}} =$

$$\begin{bmatrix} -a_1 & 1 & 0 & \dots & 0 \\ -a_2 & 0 & 1 & \dots & 0 \\ -a_3 & 0 & 0 & \dots & 0 \\ \vdots & \vdots & \vdots & \ddots & \vdots \\ -a_n & 0 & 0 & \dots & 0 \end{bmatrix} - \begin{bmatrix} l_1 \\ l_2 \\ l_3 \\ \vdots \\ l_n \end{bmatrix} \begin{bmatrix} 1 & 0 & 0 & \dots & 0 \end{bmatrix} =$$

$$\begin{bmatrix} -a_1 - l_1 & 1 & 0 & \dots & 0 \\ -a_2 - l_2 & 0 & 1 & \dots & 0 \\ -a_3 - l_3 & 0 & 0 & \dots & 0 \\ \vdots & \vdots & \vdots & \ddots & \vdots \\ -a_n - l_n & 0 & 0 & \dots & 0 \end{bmatrix} \quad (\text{"Left Companion Matrix"})$$

Então: $\det(s\mathbf{I} - \mathbf{F}_{\text{CO}} + \mathbf{L}\mathbf{H}_{\text{CO}}) = s^n + (a_1 + l_1)s^{n-1} + (a_2 + l_2)s^{n-2} + \dots + a_n + l_n$

O polinômio característico desejado é:

$$\alpha_e(s) = (s - p_1)(s - p_2) \dots (s - p_n) = s^n + \alpha_1 s^{n-1} + \alpha_2 s^{n-2} + \dots + \alpha_n$$

Comparando os coeficientes, temos:
$$l_i = \alpha_i - a_i, i = 1, \dots, n$$

Na FCO, o vetor \mathbf{L} pode ser obtido facilmente através da comparação entre os coeficientes de $\alpha_e(s)$ e do denominador de $G(s)$.

Obs.1: \mathbf{T} existe se e somente se $|\mathcal{O}| \neq 0$, sendo $\mathcal{O} = \begin{bmatrix} \mathbf{H} \\ \mathbf{HF} \\ \vdots \\ \mathbf{HF}^{n-1} \end{bmatrix}$ a matriz de observabilidade do sistema original.

Obs.2: Mudança de coordenadas de volta para a representação original:

$$\dot{\hat{\mathbf{z}}} = \mathbf{F}_{\text{co}}\hat{\mathbf{z}} + \mathbf{G}_{\text{co}}u + \mathbf{L}_{\text{co}}(y - \mathbf{H}_{\text{co}}\hat{\mathbf{z}})$$

$$\hat{\mathbf{z}} = \mathbf{T}^{-1}\hat{\mathbf{x}}$$

$$\mathbf{T}^{-1}\dot{\hat{\mathbf{x}}} = \mathbf{F}_{\text{co}}\mathbf{T}^{-1}\hat{\mathbf{x}} + \mathbf{G}_{\text{co}}u + \mathbf{L}_{\text{co}}(y - \mathbf{H}_{\text{co}}\mathbf{T}^{-1}\hat{\mathbf{x}})$$

$$\dot{\hat{\mathbf{x}}} = \mathbf{T}\mathbf{F}_{\text{co}}\mathbf{T}^{-1}\hat{\mathbf{x}} + \mathbf{T}\mathbf{G}_{\text{co}}u + \underline{\mathbf{T}\mathbf{L}_{\text{co}}}(y - \mathbf{H}_{\text{co}}\mathbf{T}^{-1}\hat{\mathbf{x}})$$

Na forma original:

$$\dot{\hat{\mathbf{x}}} = \mathbf{F}\hat{\mathbf{x}} + \mathbf{G}u + \underline{\mathbf{L}}(y - \mathbf{H}\hat{\mathbf{x}})$$

Então:

$\mathbf{L} = \mathbf{T}\mathbf{L}_{\text{co}}$

(ver Lista de Exercícios #4, Exercício #5b).

5.3. Fórmula de Ackermann para o Estimador

Dados:
$$\begin{cases} \dot{\mathbf{x}} = \mathbf{F}\mathbf{x} + \mathbf{G}u \\ y = \mathbf{H}\mathbf{x} \\ \alpha_e(s) \end{cases}$$

Faz-se

$$\mathbf{L} = \alpha_e(\mathbf{F})\mathcal{O}^{-1} \begin{bmatrix} 0 \\ 0 \\ \vdots \\ 1 \end{bmatrix}$$

onde:

$$\alpha_e(\mathbf{F}) = \mathbf{F}^n + \alpha_1\mathbf{F}^{n-1} + \dots + \alpha_n\mathbf{I} \quad \text{e} \quad \mathcal{O} = \begin{bmatrix} \mathbf{H} \\ \mathbf{HF} \\ \vdots \\ \mathbf{HF}^{n-1} \end{bmatrix}$$

EXEMPLO # 19: Projetar um estimador de estados para o sistema:

$$\dot{\mathbf{x}} = \begin{bmatrix} -1 & 0 \\ 0 & -4 \end{bmatrix} \mathbf{x} + \begin{bmatrix} 1/3 \\ -1/3 \end{bmatrix} u$$

$$y = [1 \quad 1] \mathbf{x}$$

De forma tal que os pólos do erro de estimação estejam em $-40 \pm 40j$ (ver Lista de Exercícios #4, Exercício # 5c).

$$\mathcal{O} = \begin{bmatrix} 1 & 1 \\ -1 & -4 \end{bmatrix} ; \quad \mathcal{O} = \frac{1}{3} \begin{bmatrix} 4 & -1 \\ 1 & 1 \end{bmatrix}$$

$$\alpha_e(s) = (s + 40 + 40j)(s + 40 - 40j) = s^2 + 80s + 3200$$

$$\alpha_e(\mathbf{F}) = \begin{bmatrix} 1 & 0 \\ 0 & 16 \end{bmatrix} + \begin{bmatrix} -80 & 0 \\ 0 & -320 \end{bmatrix} + \begin{bmatrix} 3200 & 0 \\ 0 & 3200 \end{bmatrix} = \begin{bmatrix} 3121 & 0 \\ 0 & 2896 \end{bmatrix}$$

$$\mathbf{L} = \begin{bmatrix} 3121 & 0 \\ 0 & 2896 \end{bmatrix} \cdot \frac{1}{3} \cdot \begin{bmatrix} 4 & 1 \\ -1 & -1 \end{bmatrix} \cdot \begin{bmatrix} 0 \\ 1 \end{bmatrix} = \begin{bmatrix} 1040.33 \\ -965.33 \end{bmatrix}$$

5.4. Dualidade

Projeto do Controlador ($\alpha_c(s)$)

$$\dot{\mathbf{x}} = \mathbf{F}\mathbf{x} + \mathbf{G}u$$

$$y = \mathbf{H}\mathbf{x}$$

$$|s\mathbf{I} - \mathbf{F} + \mathbf{G} \underbrace{\mathbf{K}}_{\substack{\uparrow \\ \text{Vetor-linha}}} | = 0$$

Vetor-linha

Projeto do Estimador ($\alpha_e(s)$)

$$\dot{\mathbf{x}} = \mathbf{F}\mathbf{x} + \mathbf{G}u$$

$$y = \mathbf{H}\mathbf{x}$$

$$|s\mathbf{I} - \mathbf{F} + \underbrace{\mathbf{L}}_{\substack{\uparrow \\ \text{Vetor-coluna}}} \mathbf{H}| = 0$$

Vetor-coluna

$$|s\mathbf{I} - \mathbf{F}^T + \mathbf{H}^T \underbrace{\mathbf{L}^T}_{\substack{\uparrow \\ \text{Vetor-linha}}} | = 0 \ (\det(\mathbf{A}) = \det(\mathbf{A}^T))$$

Vetor-linha

MATLAB: `>> K = acker(F,G,Pc);` MATLAB: `L = (acker(F',H',Pe))';`

5.5. Estimadores de Estados de Ordem Reduzida

Se y for uma variável de estado ($y = x_a$), sobram $n - 1$ estados a serem estimados \rightarrow estimador mais simples.

Estimador de ordem $n - 1$:

$$\begin{bmatrix} \dot{x}_a \\ \dot{\mathbf{x}}_b \end{bmatrix} = \underbrace{\left[\begin{array}{c|c} F_{aa} & \mathbf{F}_{ab} \\ \hline \mathbf{F}_{ba} & \mathbf{F}_{bb} \end{array} \right]}_{\mathbf{F}} \begin{bmatrix} x_a \\ \mathbf{x}_b \end{bmatrix} + \underbrace{\left[\begin{array}{c} G_a \\ \hline \mathbf{G}_b \end{array} \right]}_{\mathbf{G}} u$$

$$y = \underbrace{\left[\begin{array}{c|c} 1 & \mathbf{0} \end{array} \right]}_{\mathbf{H}} \begin{bmatrix} x_a \\ \mathbf{x}_b \end{bmatrix}$$

Note que \mathbf{H} deve estar no formato $\left[\begin{array}{cc} 1 & \mathbf{0} \end{array} \right]$.

Obs.: \mathbf{F} :
$$\left[\begin{array}{c|c} 1 \times 1 & 1 \times (n-1) \\ \hline (n-1) \times 1 & (n-1) \times (n-1) \end{array} \right]$$

Então: $\dot{\mathbf{x}}_b = \mathbf{F}_{bb}\mathbf{x}_b + \underbrace{\mathbf{F}_{ba} \overbrace{\mathbf{x}_a}^y + \mathbf{G}_b u}_{\text{"Entrada" conhecida - "novo } \mathbf{G}u\text{"}}$

E também:

$$\dot{x}_a = F_{aa}x_a + \mathbf{F}_{ab}\mathbf{x}_b + G_a u$$

$$\dot{y} = F_{aa}y + \mathbf{F}_{ab}\mathbf{x}_b + G_a u$$

$$\underbrace{\dot{y} - F_{aa}y - G_a u}_{\text{"Saída" conhecida: "novo } y\text{"}} = \mathbf{F}_{ab}\mathbf{x}_b$$

"Saída" conhecida: "novo y "

Podemos considerar que se trata de uma "nova planta":

$$\begin{array}{ccc} \dot{\mathbf{x}}_b = [\mathbf{F}_{bb}] \mathbf{x}_b + [\mathbf{F}_{ba}y + \mathbf{G}_b u] & & \dot{\mathbf{x}} = [\mathbf{F}] \mathbf{x} + [\mathbf{G}u] \\ \downarrow & \longleftrightarrow & \downarrow \\ [\dot{y} - F_{aa}y - G_a u] = [\mathbf{F}_{ab}] \mathbf{x}_b & & [y] = [\mathbf{H}] \mathbf{x} \end{array}$$

$$\mathbf{F} \longrightarrow \mathbf{F}_{bb}$$

$$\mathbf{x} \longrightarrow \mathbf{x}_b$$

$$\mathbf{G}u \longrightarrow \mathbf{F}_{ba}y + \mathbf{G}_b u$$

$$y \longrightarrow \dot{y} - F_{aa}y - G_a u$$

$$\mathbf{H} \longrightarrow \mathbf{F}_{ab}$$

Para estimar \mathbf{x}_b , usa-se a mesma equação que havia sido usada para a estimação de \mathbf{x} :

$$\dot{\hat{\mathbf{x}}} = \boxed{\mathbf{F}} \hat{\mathbf{x}} + \boxed{\mathbf{G}u} + \mathbf{L} (\boxed{y} - \boxed{\mathbf{H}} \hat{\mathbf{x}})$$

$$\begin{aligned} \dot{\hat{\mathbf{x}}}_b &= \boxed{\mathbf{F}_{bb}} \hat{\mathbf{x}}_b + \boxed{\mathbf{F}_{ba}y + \mathbf{G}_bu} + \mathbf{L} (\boxed{\dot{y} - F_{aa}y - G_au} - \boxed{\mathbf{F}_{ab}} \hat{\mathbf{x}}_b) \\ &\quad = \boxed{\mathbf{F}_{ab}} \mathbf{x}_b \end{aligned} \quad (\text{Eq. (1)})$$

—

$$\dot{\mathbf{x}}_b = \mathbf{F}_{bb}\mathbf{x}_b + \mathbf{F}_{ba}y + \mathbf{G}_bu \quad (\text{Eq. (2)})$$

A Equação (1) é a mesma equação do estimador de estados de ordem reduzida. Subtraindo-se Equação (2) – Equação (1), temos o erro de estimação dado por:

$$\dot{\tilde{\mathbf{x}}}_b = (\mathbf{F}_{bb} - \mathbf{LF}_{ab}) \tilde{\mathbf{x}}_b$$

Pode-se calcular \mathbf{L} do estimador de ordem reduzida através da comparação dos coeficientes em:

$$|s\mathbf{I} - \mathbf{F}_{bb} + \mathbf{LF}_{ab}| = 0$$

e

$$\alpha_e(s) = 0$$

No MATLAB: `L = acker(Fbb',Fab',Pe))';`

Implementação do Estimador de Estados de Ordem Reduzida:

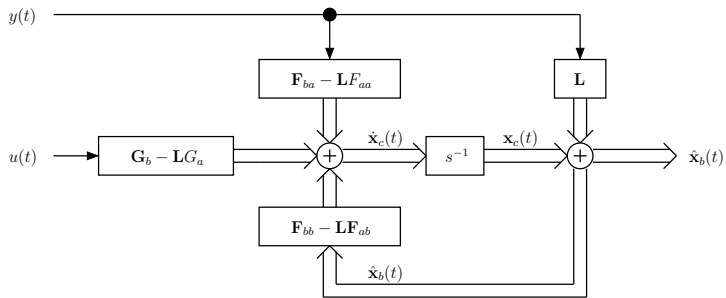
Reescrevendo a equação do estimador de estados de ordem reduzida (Eq. (1) do slide anterior):

$$\dot{\hat{x}}_b = (\mathbf{F}_{bb} - \mathbf{L}\mathbf{F}_{ab})\hat{x}_b + (\mathbf{F}_{ba} - \mathbf{L}\mathbf{F}_{aa})y + (\mathbf{G}_b - \mathbf{L}\mathbf{G}_a)u + \boxed{\mathbf{Ly}} \leftarrow \boxed{\text{Como obter a derivada de } y(t)?}$$

$$\underbrace{\dot{\hat{x}}_b - \mathbf{Ly}}_{\dot{x}_c} = (\mathbf{F}_{bb} - \mathbf{L}\mathbf{F}_{ab})\hat{x}_b + (\mathbf{F}_{ba} - \mathbf{L}\mathbf{F}_{aa})y + (\mathbf{G}_b - \mathbf{L}\mathbf{G}_a)u$$

Criando um novo vetor de estados $\mathbf{x}_c = \hat{x}_b - \mathbf{Ly}$:

$$\dot{\mathbf{x}}_c = (\mathbf{F}_{bb} - \mathbf{L}\mathbf{F}_{ab})\hat{x}_b + (\mathbf{F}_{ba} - \mathbf{L}\mathbf{F}_{aa})y + (\mathbf{G}_b - \mathbf{L}\mathbf{G}_a)u$$



EXEMPLO #20: Projetar e implementar um estimador de estados de ordem reduzida para o sistema:

$$\dot{\mathbf{x}} = \begin{bmatrix} -1 & 0 \\ 0 & -4 \end{bmatrix} \mathbf{x} + \begin{bmatrix} 1/3 \\ -1/3 \end{bmatrix} u$$

$$y = \begin{bmatrix} 1 & 1 \end{bmatrix} \mathbf{x}$$

De forma tal que o pólo do erro de estimacão esteja em $s = -40$

Para que \mathbf{H}_z fique na forma $\begin{bmatrix} 1 & 0 \end{bmatrix}$:

$$\mathbf{z} = \underbrace{\begin{bmatrix} 1 & 1 \\ 0 & 1 \end{bmatrix}}_{\mathbf{P}} \mathbf{x} ; \quad \mathbf{T} = \begin{bmatrix} 1 & -1 \\ 0 & 1 \end{bmatrix}$$

$$\mathbf{T}^{-1} \mathbf{F} \mathbf{T} = \begin{bmatrix} 1 & 1 \\ 0 & 1 \end{bmatrix} \begin{bmatrix} -1 & 0 \\ 0 & -4 \end{bmatrix} \begin{bmatrix} 1 & -1 \\ 0 & 1 \end{bmatrix} = \begin{bmatrix} -1 & -4 \\ 0 & -4 \end{bmatrix} \begin{bmatrix} 1 & -1 \\ 0 & 1 \end{bmatrix} = \begin{bmatrix} -1 & -3 \\ 0 & -4 \end{bmatrix}$$

$$\mathbf{T}^{-1} \mathbf{G} = \begin{bmatrix} 1 & 1 \\ 0 & 1 \end{bmatrix} \cdot \frac{1}{3} \cdot \begin{bmatrix} 1 \\ -1 \end{bmatrix} = \begin{bmatrix} 0 \\ -1/3 \end{bmatrix}$$

$$\mathbf{H} \mathbf{T} = \begin{bmatrix} 1 \\ 1 \end{bmatrix} \begin{bmatrix} 1 & -1 \\ 0 & 1 \end{bmatrix} = \begin{bmatrix} 1 \\ 0 \end{bmatrix}$$

Continuação do EXEMPLO #20:

$$\dot{\mathbf{z}} = \left[\begin{array}{c|c} -1 & -3 \\ \hline 0 & -4 \end{array} \right] \mathbf{z} + \left[\begin{array}{c} 0 \\ -1/3 \end{array} \right] u$$

$$y = [\begin{array}{cc} 1 & 0 \end{array}] \mathbf{z}$$

$$\begin{aligned} F_{zaa} &= -1 & \mathbf{F}_{zab} &= -3 & G_{za} &= 0 \\ \mathbf{F}_{zba} &= 0 & \mathbf{F}_{zbb} &= -4 & \mathbf{G}_{zb} &= -1/3 \end{aligned}$$

$$\mathbf{H}_z = [\begin{array}{cc} 1 & 0 \end{array}]$$

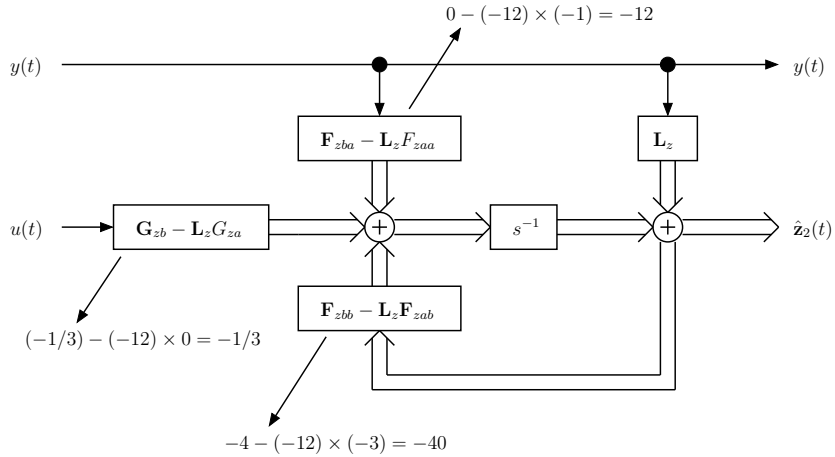
$$\left\{ \begin{array}{l} z_1 = y = z_a \quad \dot{\tilde{\mathbf{z}}}_b = (\mathbf{F}_{zbb} - \mathbf{L}_z \mathbf{F}_{zab}) \tilde{\mathbf{z}}_b \\ z_2 = \mathbf{z}_b \end{array} \right\}$$

$$|s\mathbf{I} - \mathbf{F}_{zbb} + \mathbf{L}_z \mathbf{F}_{zab}| = 0 \quad \text{e} \quad \alpha_e(s) = s + 40 = 0$$

$$\text{Então: } s + 4 - 3\mathbf{L}_z = s + 40 \quad \longrightarrow \quad \mathbf{L}_z = -12.$$

Continuação do EXEMPLO #20:

Implementação:

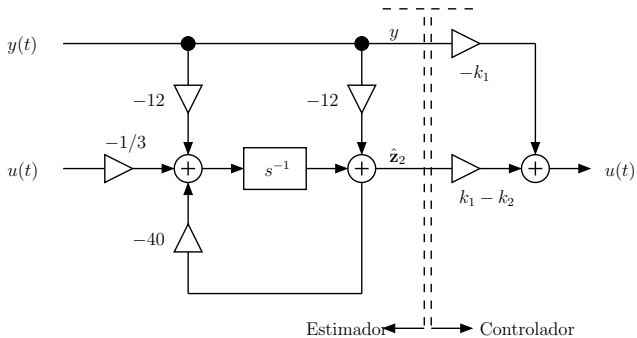


Continuação do EXEMPLO #20:

$$u = -\mathbf{K}\hat{\mathbf{x}} = -\mathbf{KT}\hat{\mathbf{z}}$$

Calculando o sinal de controle:

$$u = - \underbrace{\begin{bmatrix} k_1 & k_2 \end{bmatrix} \begin{bmatrix} 1 & -1 \\ 0 & 1 \end{bmatrix}}_{\begin{bmatrix} k_1 & k_2 - k_1 \end{bmatrix}} \begin{bmatrix} y \\ \hat{z}_2 \end{bmatrix}$$



Considere o controlador, por exemplo, no caso $\mathbf{K} = \begin{bmatrix} 2 & 2 \end{bmatrix}$ do EXEMPLO #9.

5.6. Escolha dos Pólos do Estimador

Método dos pólos dominantes:

- Normalmente, estimador 2 a 10 vezes mais rápido que o controlador ($\sigma_e > 10\sigma_c$);
- Compromisso: velocidade de estimação \times ruído.

Método SRL:

- $G_e(s) = \mathbf{H}(s\mathbf{I} - \mathbf{F})^{-1}\mathbf{G}_1 = \frac{Y(s)}{W(s)},$

onde: $\dot{\mathbf{x}} = \mathbf{Fx} + \mathbf{Gu} + \mathbf{G}_1w$ (ruído na entrada)
 $y = \mathbf{Hx} + v$ (ruído no sensor)

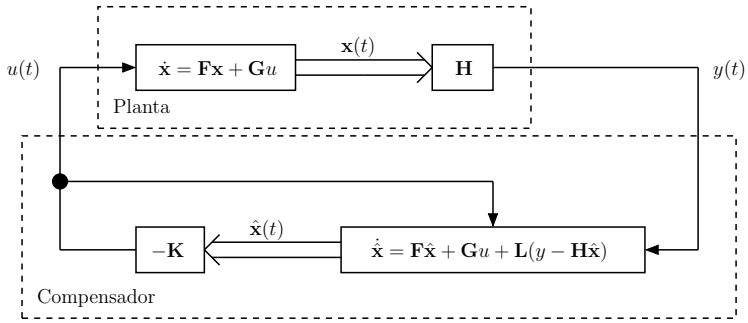
$$\dot{\mathbf{x}} = \mathbf{Fx} + \mathbf{Gu} + \mathbf{G}_1w$$

- Equação do erro de estimação:
$$\begin{array}{r} \dot{\mathbf{x}} = \mathbf{F}\hat{\mathbf{x}} + \mathbf{Gu} + \mathbf{LH}\hat{\mathbf{x}} + \mathbf{Lv} \\ \hline \dot{\tilde{\mathbf{x}}} = (\mathbf{F} - \mathbf{LH})\tilde{\mathbf{x}} + \mathbf{G}_1w - \mathbf{Lv} \end{array}$$
- Solução: \mathbf{L} tal que os pólos do erro de estimação são as raízes do SRL:
 $1 + qG_e(s)G_e(-s) = 0$. O valor de q representa a razão [ruído na entrada]/[ruído no sensor].

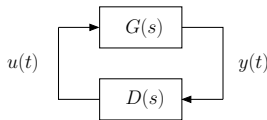
Ver no website – Lista de Exercícios #4 e Projeto Prático #1

Parte I – Projeto de Sistemas de Controle Contínuos no Espaço de Estados

6. Compensadores

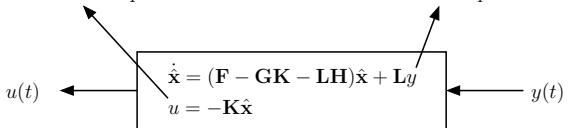


Então, o sistema em malha fechada (sem entrada de referência, no entanto) fica:



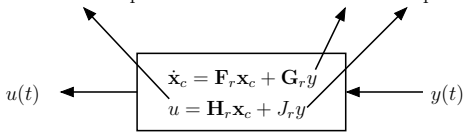
Saída do Compensador Entrada do Compensador

Compensador baseado
em estimador de estados
de ordem completa



Saída do Compensador Entrada do Compensador

Compensador baseado
em estimador de estados
de ordem reduzida



Em ambos os casos: $D(s) = \frac{U(s)}{Y(s)}$.

Queremos saber:

- ① Equação característica (pólos) do sistema em malha fechada

$$\dot{\mathbf{x}} = \mathbf{F}\mathbf{x} + \mathbf{G}u \quad \xrightarrow{u = -\mathbf{K}\hat{\mathbf{x}}} \quad \dot{\mathbf{x}} = \mathbf{F}\mathbf{x} - \mathbf{G}\mathbf{K}\hat{\mathbf{x}}$$

Qual é o efeito de $u = -\mathbf{K}\hat{\mathbf{x}}$?

- ② Função de transferência do compensador (estimador e controlador) em malha aberta: $D(s) = U(s)/Y(s)$.
- ③ Função de transferência em malha fechada: $H(s) = Y(s)/R(s)$ (depende da aplicação da entrada e referência, que será vista na Seção 7).

6.1. Equação Característica em Malha Fechada

$$\dot{\mathbf{x}} = \mathbf{F}\mathbf{x} - \mathbf{GK}(\mathbf{x} - \tilde{\mathbf{x}}) = (\mathbf{F} - \mathbf{GK})\mathbf{x} + \mathbf{GK}\tilde{\mathbf{x}}$$

$$\dot{\tilde{\mathbf{x}}} = (\mathbf{F} - \mathbf{LH})\tilde{\mathbf{x}}$$

$$\begin{bmatrix} \dot{\mathbf{x}} \\ \dot{\tilde{\mathbf{x}}} \end{bmatrix} = \begin{bmatrix} \mathbf{F} - \mathbf{GK} & \mathbf{GK} \\ 0 & \mathbf{F} - \mathbf{LH} \end{bmatrix} \begin{bmatrix} \mathbf{x} \\ \tilde{\mathbf{x}} \end{bmatrix} \quad (\text{"Estado"} = \text{"Matriz F"} \cdot \text{"Estado"})$$

$$\text{Pólos: } \begin{vmatrix} s\mathbf{I} - \mathbf{F} + \mathbf{GK} & -\mathbf{GK} \\ 0 & s\mathbf{I} - \mathbf{F} + \mathbf{LH} \end{vmatrix} = 0$$

$$\left\{ \text{Obs.: } \begin{vmatrix} \mathbf{A} & \mathbf{B} \\ \mathbf{C} & \mathbf{D} \end{vmatrix} = \det(\mathbf{A}) \cdot \det(\mathbf{D} - \mathbf{C}\mathbf{A}^{-1}\mathbf{B}) \right\}$$

$$\text{Então: } \underbrace{|s\mathbf{I} - \mathbf{F} + \mathbf{GK}|}_{\alpha_c(s)} \cdot \underbrace{|s\mathbf{I} - \mathbf{F} + \mathbf{LH}|}_{\alpha_e(s)} = 0$$

Pólos da regra Pólos do erro
de controle de estimativa

Princípio da Separação: $\alpha_c(s)\alpha_e(s) = 0 \longrightarrow$ os projetos do controlador e do compensador podem ser feitos separadamente.

6.2. Função de Transferência do Compensador (em Malha Aberta)

a) Compensador baseado em estimador de ordem completa:

$$\begin{cases} \dot{\hat{x}} = (\mathbf{F} - \mathbf{GK} - \mathbf{LH})\hat{x} + \mathbf{Ly} \\ u = -\mathbf{K}\hat{x} \end{cases}$$

Portanto:
$$D(s) = \frac{U(s)}{Y(s)} = -\mathbf{K}(s\mathbf{I} - \mathbf{F} + \mathbf{GK} + \mathbf{LH})^{-1}\mathbf{L}$$

Pólos do compensador: $|s\mathbf{I} - \mathbf{F} + \mathbf{GK} + \mathbf{LH}| = 0$ — os pólos do compensador não foram especificados, nem usados no seu projeto. O compensador pode até mesmo ser instável.

b) Compensador baseado em estimador de ordem reduzida:

$$\dot{\mathbf{x}}_c = (\mathbf{F}_{bb} - \mathbf{LF}_{ab}) \underbrace{\hat{\mathbf{x}}_b}_{\downarrow} + (\mathbf{F}_{ba} - \mathbf{LF}_{aa})y + (\mathbf{G}_b - \mathbf{LG}_a) \underbrace{u}_{\downarrow} \quad (\text{da aula passada}).$$

$$\mathbf{x}_c + \mathbf{Ly} \qquad \qquad \qquad -K_a y - \mathbf{K}_b(\mathbf{x}_c + \mathbf{Ly})$$

$$\dot{\mathbf{x}}_c = [\mathbf{F}_{bb} - \mathbf{LF}_{ab} - (\mathbf{G}_b - \mathbf{LG}_a)\mathbf{K}_b]\mathbf{x}_c +$$

$$[\mathbf{F}_{bb}\mathbf{L} - \mathbf{LF}_{ab}\mathbf{L} + \mathbf{F}_{ba} - \mathbf{LF}_{aa} - (\mathbf{G}_b - \mathbf{LG}_a)\mathbf{K}_a - (\mathbf{G}_b - \mathbf{LG}_a)\mathbf{K}_b\mathbf{L}]y$$

$$\dot{\mathbf{x}}_c = [\mathbf{F}_{bb} - \mathbf{LF}_b - (\mathbf{G}_b - \mathbf{LG}_a)\mathbf{K}_b]\mathbf{x}_c +$$

$$\{[\mathbf{F}_{bb} - \mathbf{LF}_b - (\mathbf{G}_b - \mathbf{LG}_a)\mathbf{K}_b]\mathbf{L} + \mathbf{F}_{ba} - \mathbf{LF}_{aa} - (\mathbf{G}_b - \mathbf{LG}_a)\mathbf{K}_a\}y$$

Quanto à saída $u(t)$ do compensador:

$$u = -\mathbf{K}\hat{\mathbf{x}} = - \begin{bmatrix} K_a & \mathbf{K}_b \end{bmatrix} \begin{bmatrix} x_a \\ \hat{\mathbf{x}}_b \end{bmatrix} = -K_a y - \mathbf{K}_b \underbrace{\hat{\mathbf{x}}_b}_{\downarrow}$$

$$\mathbf{x}_c + \mathbf{Ly}$$

$$u = -\mathbf{K}_b\mathbf{x}_c + (-K_a - \mathbf{K}_b\mathbf{L})y$$

Então:
$$\begin{cases} \dot{\mathbf{x}}_c = \mathbf{F}_r \mathbf{x}_c + \mathbf{G}_r y \\ u = \mathbf{H}_r \mathbf{x}_c + J_r y \end{cases}$$

onde:

$$\begin{aligned} \mathbf{F}_r &= \mathbf{F}_{bb} - \mathbf{L}\mathbf{F}_{ab} - (\mathbf{G}_b - \mathbf{L}\mathbf{G}_a)\mathbf{K}_b \\ \mathbf{G}_r &= \mathbf{F}_r\mathbf{L} + \mathbf{F}_{ba} - \mathbf{L}\mathbf{F}_{aa} - (\mathbf{G}_b - \mathbf{L}\mathbf{G}_a)K_a \\ \mathbf{H}_r &= -\mathbf{K}_b \\ J_r &= -K_a - \mathbf{K}_b\mathbf{L} \end{aligned}$$

$$D(s) = \frac{U(s)}{Y(s)} = \mathbf{H}_r(s\mathbf{I} - \mathbf{F}_r)^{-1}\mathbf{G}_r + J_r$$

- $J_r \neq 0$: conexão direta de $y(t)$ para $u(t)$
- Um pólo a menos do que a planta
- Pólos ($|s\mathbf{I} - \mathbf{F}_r| = 0$) são inteiramente distintos dos pólos da planta e das raízes de $\alpha_c(s)$ e $\alpha_e(s)$.

EXEMPLO #21: Compensador baseado em estimador de estados de ordem reduzida.
Sistema em malha fechada.

$$\dot{\mathbf{x}} = \begin{bmatrix} -1 & 0 \\ 0 & -4 \end{bmatrix} \mathbf{x} + \begin{bmatrix} 1/3 \\ -1/3 \end{bmatrix} u$$

(Note que $G(s) = \frac{1}{s^2 + 5s + 4}$)

$$y = \begin{bmatrix} 1 & 1 \end{bmatrix} \mathbf{x}$$

Pólos desejados em malha fechada:

$$\longrightarrow \alpha_c(s) = (s + 5)(s + 5) = s^2 + 10s + 25$$

$$|s\mathbf{I} - \mathbf{F} + \mathbf{GK}| = s^2 + \left(\frac{k_1}{3} - \frac{k_2}{3} + 5 \right) s + \left(\frac{4k_1}{3} - \frac{k_2}{3} + 4 \right)$$

$$k_1 = 16 \quad \text{e} \quad k_2 = 1$$

$$\longrightarrow \alpha_e(s) = s + 40 \text{ (do EXEMPLO #20)}$$

$$L = -12 \quad \left(\text{utilizando } \mathbf{T} = \begin{bmatrix} 1 & -1 \\ 0 & 1 \end{bmatrix} \right) \quad (\mathbf{L}_z)$$

Continuação do EXEMPLO #21: Compensador definido por:

- $u = -\mathbf{K}\hat{\mathbf{x}} = -\mathbf{KT}\hat{\mathbf{z}} = -\mathbf{K}_z\hat{\mathbf{z}}$

$$\mathbf{K}_z = \mathbf{KT} = \begin{bmatrix} 16 & 1 \end{bmatrix} \begin{bmatrix} 1 & -1 \\ 0 & 1 \end{bmatrix} = \begin{bmatrix} 16 & -15 \end{bmatrix}$$

$$K_{za} = 16 \quad \text{e} \quad \mathbf{K}_{zb} = -15$$

- $\mathbf{F}_r = \mathbf{F}_{zbb} - \mathbf{L}_z \mathbf{F}_{zab} - (\mathbf{G}_{zb} - \mathbf{L}_z G_{za}) \mathbf{K}_{zb}$

$$\mathbf{F}_r = -4 - (-12) \times (-3) - \left(-\frac{1}{3} - (-12) \times 0 \right) \times (-15) = -45 \quad \text{(números do EXEMPLO #20)}$$

- $\mathbf{G}_r = \mathbf{F}_r \mathbf{L}_z + \mathbf{F}_{zba} - \mathbf{L}_z F_{zaa} - (\mathbf{G}_{zb} - \mathbf{L}_z G_{zaa}) K_{za}$

$$\mathbf{G}_r = -45 \times (-12) + 0 - (-12) \times (-1) - \left(-\frac{1}{3} - (-12) \times 0 \right) \times 16$$

$$\mathbf{G}_r = 44 \times 12 + \frac{16}{3} = \frac{1600}{3}$$

- $\mathbf{H}_r = -\mathbf{K}_{zb} \quad \rightarrow \quad \mathbf{H}_r = 15$

- $J_r = -K_{za} - \mathbf{K}_{zb} \mathbf{L}_z \quad \rightarrow \quad J_r = -16 - (-15) \times (-12) = -196$

Continuação do EXEMPLO #21:

$$\text{Então: } D(s) = 15 \times \frac{1}{s+45} \times \frac{1600}{3} - 196 \longrightarrow D(s) = \frac{-196s - 820}{s+45}$$

Sistema em malha fechada:

$$\begin{aligned} \frac{G(s)}{1 - G(s)D(s)} &= \frac{\frac{1}{s^2 + 5s + 4}}{1 + \frac{1}{s^2 + 5s + 4} \cdot \frac{196s + 820}{s+45}} \\ &= \frac{s+45}{s^3 + 50s^2 + 425s + 1000} = \frac{\overbrace{s+45}^{\gamma(s): \text{pólos do compensador}}}{\underbrace{(s^2 + 10s + 25)}_{\alpha_c(s)} \underbrace{(s+40)}_{\alpha_e(s)}} \end{aligned}$$

$$\begin{array}{r} s^3 + 50s^2 + 425s + 1000 \\ s^3 + 40s^2 \\ \hline 10s^2 + 425s + 1000 \\ 10s^2 + 400s \\ \hline 25s + 1000 \\ 25s + 1000 \\ \hline 0 \end{array}$$

MATLAB:

```
>> ng = 1; dg = [1 5 4];
>> nd = [-196 -820]; dd = [1 45];
>> n = conv(ng,dd);
>> d = conv(dg,dd)-conv(ng,nd);
>> roots(d);
```

EXEMPLO #22: Trocando $\mathbf{K} = \begin{bmatrix} 16 & 1 \end{bmatrix}$ do EXEMPLO #21 por $\begin{bmatrix} 2 & 2 \end{bmatrix}$ do EXEMPLO #9, temos:

$$\mathbf{K}_z = \mathbf{KT} = \begin{bmatrix} 2 & 2 \end{bmatrix} \begin{bmatrix} 1 & -1 \\ 0 & 1 \end{bmatrix} = \begin{bmatrix} 2 & 0 \end{bmatrix} \longrightarrow \mathbf{K}_{za} = 2 \text{ e } \mathbf{K}_{zb} = 0$$

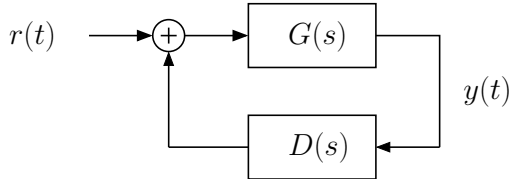
Então:
$$\begin{cases} \mathbf{H}_r = -\mathbf{K}_{zb} = 0 \\ J_r = -\mathbf{K}_{za} - \mathbf{K}_{zb}\mathbf{L}_z = -2 \end{cases}$$

E portanto: $D(s) = -2$

Sistema em malha fechada:

$$\frac{G(s)}{1 - G(s)D(s)} = \frac{\frac{1}{s^2 + 5s + 4}}{1 + \frac{2}{s^2 + 5s + 4}} = \frac{1}{s^2 + 5s + 6} \left(\frac{\gamma}{\alpha_c \alpha_e} \right)$$

6.3. Função de Transferência em Malha Fechada: $H(s)$



$$H(s) = \frac{G(s)}{1 - G(s)D(s)}$$

O cálculo preciso de $H(s)$ vai depender da forma de aplicação da entrada de referência – ver Seção 7.

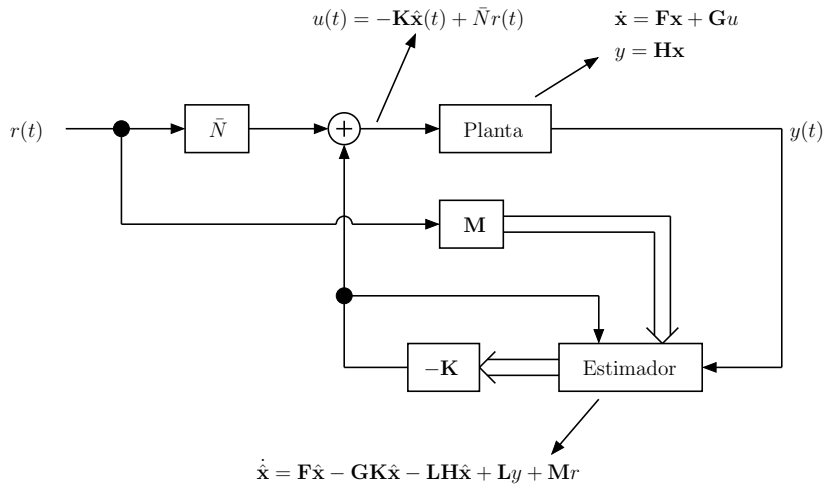
Parte I – Projeto de Sistemas de Controle Contínuos no Espaço de Estados

7. Aplicação da Entrada de Referência

Até a Seção 6:

$$\left\{ \begin{array}{l} \dot{\mathbf{x}} = \mathbf{F}\mathbf{x} + \mathbf{G}u & \text{(planta)} \\ y = \mathbf{H}\mathbf{x} \\ \\ \dot{\hat{\mathbf{x}}} = (\mathbf{F} - \mathbf{GK} - \mathbf{LH})\hat{\mathbf{x}} + \mathbf{Ly} & \text{(compensador)} \\ u = -\mathbf{K}\hat{\mathbf{x}} \end{array} \right.$$

Nesta Seção, vamos considerar a entrada $r(t)$:



Compensador incluindo a entrada $r(t)$:

$$\dot{\hat{\mathbf{x}}} = (\mathbf{F} - \mathbf{GK} - \mathbf{LH})\hat{\mathbf{x}} + \mathbf{Ly} + \mathbf{Mr}$$

$$u = -\mathbf{K}\hat{\mathbf{x}} + \bar{N}r$$

Problemas a resolver:

- ① Manipulação dos zeros de $\frac{Y(s)}{R(s)}$;
- ② Ganho unitário em DC ($y_{ss} = r_{ss}$).

Obs.: na análise a seguir, não estamos considerando o estimador de estados de ordem reduzida. Mas a análise seria essencialmente a mesma.

7.1. Caso I (Zeros Alocados Arbitrariamente)

Objetivos:

- Escolher a posição dos zeros do sistema em malha fechada
- Flexibilidade máxima:
 - Ao definir características transientes da saída
 - Ao atender restrições de estado estacionário

Concentrando-nos na entrada $r(t)$ do compensador (com $y(t) = 0$), vamos considerar os zeros na função de transferência de $r(t)$ para $u(t)$:

$$\dot{\hat{x}} = (\mathbf{F} - \mathbf{GK} - \mathbf{LH})\hat{x} + \widehat{\mathbf{Ly}} + \mathbf{Mr}$$

↑
Entrada
0

$$u = -\mathbf{K}\hat{x} + \bar{N}r$$

↓
Saída

Zeros de $\frac{U(s)}{R(s)}$:

$$\begin{vmatrix} s\mathbf{I} - \mathbf{F} + \mathbf{GK} + \mathbf{LH} & -\mathbf{M} \\ -\mathbf{K} & \bar{N} \end{vmatrix} = 0$$

Considerando $\bar{N} \neq 0$:
$$\begin{vmatrix} s\mathbf{I} - \mathbf{F} + \mathbf{GK} + \mathbf{LH} - \frac{\mathbf{M}}{\bar{N}}\mathbf{K} & -\frac{\mathbf{M}}{\bar{N}} \\ \mathbf{0} & 1 \end{vmatrix} = 0$$

Então, os zeros desejados são as raízes de $\gamma(s)$:

$$\boxed{\gamma(s) = \det \left(s\mathbf{I} - \mathbf{F} + \mathbf{GK} + \mathbf{LH} - \frac{\mathbf{M}}{\bar{N}}\mathbf{K} \right)}$$

Escolher $\frac{\mathbf{M}}{\bar{N}}$ de forma a posicionar os zeros conforme $\gamma(s)$.

Este método define n zeros da função de transferência de $r(t)$ para $y(t)$:

$$\frac{Y(s)}{R(s)} = \frac{k\gamma(s)b(s)}{\alpha_c(s)\alpha_e(s)}$$

6.2. Caso II (Estimador Autônomo)

Objetivo:

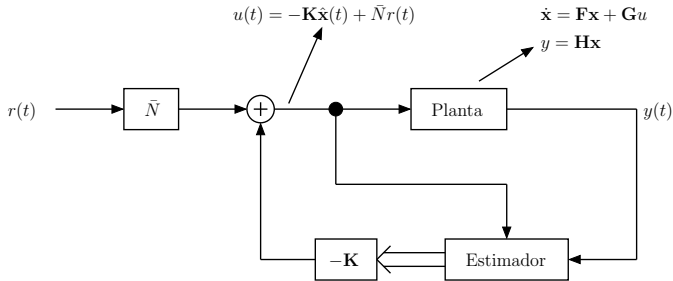
- Fazer com que os pólos do erro de estimação não apareçam em $\frac{Y(s)}{R(s)}$:
 - $\tilde{\mathbf{x}}(t)$ não-controlável a partir de $r(t)$
 - $r(t)$ não aparece na equação para $\dot{\tilde{\mathbf{x}}}(t)$.

Considere:

$$\begin{array}{rcl} \dot{\mathbf{x}} & = & \mathbf{F}\mathbf{x} - \mathbf{GK}\hat{\mathbf{x}} + \mathbf{GN}\bar{r} \\ & - & \\ \dot{\hat{\mathbf{x}}} & = & \mathbf{F}\hat{\mathbf{x}} - \mathbf{GK}\hat{\mathbf{x}} - \mathbf{LH}\hat{\mathbf{x}} + \mathbf{Ly} + \mathbf{Mr} \\ \hline \dot{\tilde{\mathbf{x}}} & = & (\mathbf{F} - \mathbf{LH})\tilde{\mathbf{x}} + \underbrace{\mathbf{GN}\bar{r} - \mathbf{Mr}}_{\boxed{\mathbf{M} = \mathbf{GN}}} \end{array}$$

Então: $\dot{\tilde{\mathbf{x}}} = (\mathbf{F} - \mathbf{LH})\tilde{\mathbf{x}} + \boxed{\mathbf{Gu}} + \mathbf{Ly}$, onde $u = -\mathbf{K}\hat{\mathbf{x}} + \bar{N}r$.

Neste caso, o mesmo sinal de controle $u(t)$ é aplicado à planta e ao estimador:



$$\gamma(s) = \det \left(s\mathbf{I} - \mathbf{F} + \mathbf{GK} + \mathbf{LH} - \underbrace{\frac{\mathbf{M}}{\bar{N}}}_{\frac{\mathbf{GN}}{N}} \mathbf{K} \right) = \det(s\mathbf{I} - \mathbf{F} + \mathbf{LH})$$

Zeros da Planta

$$\frac{Y(s)}{R(s)} = \frac{k\gamma(s) \widehat{b(s)}}{\underbrace{\alpha_c(s) \alpha_e(s)}_{\text{Pólos do Controlador}}} = \frac{kb(s)}{\alpha_c(s)}$$

Pólos do Controlador

Obs.: sobre o Projeto #1:

$$\begin{aligned} -\mathbf{K}\hat{\mathbf{x}} + \bar{N}r \\ \downarrow \\ \dot{\mathbf{x}} = \mathbf{F}\mathbf{x} + \mathbf{G}u \end{aligned}$$

$$\dot{\hat{\mathbf{x}}} = \mathbf{F}\hat{\mathbf{x}} - \mathbf{GK}\hat{\mathbf{x}} + \mathbf{LHx} - \mathbf{LH}\hat{\mathbf{x}} + \mathbf{Mr}$$

Ou, de forma equivalente, pode-se escrever:

$$\begin{bmatrix} \dot{\mathbf{x}} \\ \dot{\hat{\mathbf{x}}} \end{bmatrix} = \begin{bmatrix} \mathbf{F} & -\mathbf{GK} \\ \mathbf{LH} & \mathbf{F} - \mathbf{GK} - \mathbf{LH} \end{bmatrix} \begin{bmatrix} \mathbf{x} \\ \hat{\mathbf{x}} \end{bmatrix} + \begin{bmatrix} \mathbf{G}\bar{N} \\ \mathbf{M} \end{bmatrix} r$$

$$y = [\mathbf{H} \quad \mathbf{0}] \begin{bmatrix} \mathbf{x} \\ \hat{\mathbf{x}} \end{bmatrix}$$

$$u = [\mathbf{0} \quad -\mathbf{K}] \begin{bmatrix} \mathbf{x} \\ \hat{\mathbf{x}} \end{bmatrix} + \bar{N}r$$

7.3. Caso III (Uso do Erro de Rastreamento)

Objetivo:

- Fazer com que a realimentação, dada por:

$$\dot{\hat{x}} = (\mathbf{F} - \mathbf{GK} - \mathbf{LH})\hat{x} + \mathbf{Ly} + \mathbf{Mr}$$

$$u = -\mathbf{K}\hat{x} + \bar{N}r$$

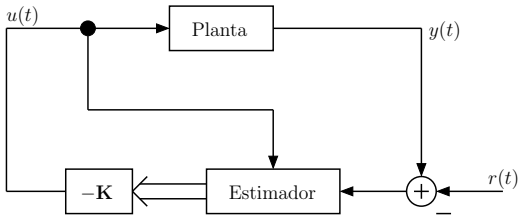
dependa somente de $e(t) = y(t) - r(t)$.

Considere $\mathbf{M} = -\mathbf{L}$ e $\bar{N} = 0$:

$$\dot{\hat{x}} = (\mathbf{F} - \mathbf{GK} - \mathbf{LH})\hat{x} + \mathbf{L}(y - r)$$

$$u = -\mathbf{K}\hat{x}$$

- Compensação clássica: o sinal medido pelo sensor é igual ao erro $e(t)$ entre a saída $y(t)$ e o sinal de referência $r(t)$: $e(t) = y(t) - r(t)$.



Zeros do sistema:

$$\det \begin{pmatrix} s\mathbf{I} - \mathbf{F} + \mathbf{GK} + \mathbf{LH} & -\mathbf{M} \\ -\mathbf{K} & \bar{N} \end{pmatrix} = 0 \quad (\text{conforme a Seção 7.1}).$$

$\mathbf{M} = -\mathbf{L}$ e $\bar{N} = 0$:

$$\begin{vmatrix} s\mathbf{I} - \mathbf{F} + \mathbf{GK} + \mathbf{LH} & \mathbf{L} \\ -\mathbf{K} & 0 \end{vmatrix} = 0 \quad \rightarrow \quad \begin{vmatrix} s\mathbf{I} - \mathbf{F} & \mathbf{L} \\ -\mathbf{K} & 0 \end{vmatrix} = 0$$

$$\frac{Y(s)}{R(s)} = \frac{k\gamma(s)b(s)}{\alpha_c(s)\alpha_e(s)}, \text{ onde } \gamma(s) = \begin{vmatrix} s\mathbf{I} - \mathbf{F} & \mathbf{L} \\ -\mathbf{K} & 0 \end{vmatrix} \text{ obrigatoriamente (sem opção).}$$

A resposta de $Y(s)/R(s)$ ao degrau unitário pode sofrer *overshoot* alto demais.

7.4. Ganho DC Unitário ($y_{ss} = r_{ss}$, constantes)

No Caso II: $\bar{N} = N_u + \mathbf{K}\mathbf{N}_x$

No Caso III: $\bar{N} = 0$, entrada direta $e(t) = y(t) - r(t)$

No Caso I (Genérico):

$$\begin{aligned}\dot{\mathbf{x}} &= \mathbf{F}\mathbf{x} + \mathbf{G}u = (\mathbf{F} - \mathbf{GK})\mathbf{x} + \mathbf{GK}\tilde{\mathbf{x}} + \mathbf{G}\bar{N}r \\ &\quad \downarrow \\ u &= -\mathbf{K}\hat{\mathbf{x}} + \bar{N}r = -\mathbf{K}\mathbf{x} + \mathbf{K}\tilde{\mathbf{x}} + \bar{N}r\end{aligned}\tag{Equação (1)}$$

$$\begin{aligned}\dot{\mathbf{x}} &= \mathbf{F}\hat{\mathbf{x}} + \mathbf{G}u + \mathbf{LH}\tilde{\mathbf{x}} + \mathbf{Mr} = (\mathbf{F} - \mathbf{GK})\hat{\mathbf{x}} + \mathbf{LH}\tilde{\mathbf{x}} + \mathbf{Mr} \\ &\quad \downarrow \\ u &= -\mathbf{K}\hat{\mathbf{x}}\end{aligned}\tag{Equação (2)}$$

Subtraindo (Equação (1) – Equação (2)):

$$\dot{\tilde{\mathbf{x}}} = (\mathbf{F} - \mathbf{GK})\tilde{\mathbf{x}} + \mathbf{GK}\tilde{\mathbf{x}} - \mathbf{LH}\tilde{\mathbf{x}} + \left(\mathbf{G} - \frac{\mathbf{M}}{N}\right)\bar{N}r$$

Usando as Equações (1) e (3), temos:

$$\begin{aligned}\begin{bmatrix} \dot{\mathbf{x}} \\ \dot{\tilde{\mathbf{x}}} \end{bmatrix} &= \begin{bmatrix} \mathbf{F} - \mathbf{GK} & \mathbf{GK} \\ \mathbf{0} & \mathbf{F} - \mathbf{LH} \end{bmatrix} \begin{bmatrix} \mathbf{x} \\ \tilde{\mathbf{x}} \end{bmatrix} + \begin{bmatrix} \mathbf{G} \\ \mathbf{G} - \frac{\mathbf{M}}{N} \end{bmatrix} \bar{N}r \\ y &= [\mathbf{H} \quad \mathbf{0}] \begin{bmatrix} \mathbf{x} \\ \tilde{\mathbf{x}} \end{bmatrix}\end{aligned}$$

$$\left. \frac{Y(s)}{R(s)} \right|_{s=0} = - [\begin{array}{cc} \mathbf{H} & \mathbf{0} \end{array}] \left[\begin{array}{cc} \mathbf{F} - \mathbf{GK} & \mathbf{GK} \\ \mathbf{0} & \mathbf{F} - \mathbf{LH} \end{array} \right]^{-1} \left[\begin{array}{c} \mathbf{G} \\ \mathbf{G} - \frac{\mathbf{M}}{\bar{N}} \end{array} \right] \bar{N} = 1$$

$$\left\{ \quad \left[\begin{array}{cc} \mathbf{A} & \mathbf{C} \\ \mathbf{0} & \mathbf{B} \end{array} \right]^{-1} = \left[\begin{array}{cc} \mathbf{A}^{-1} & -\mathbf{A}^{-1}\mathbf{CB}^{-1} \\ \mathbf{0} & \mathbf{B}^{-1} \end{array} \right] \quad \right\}$$

Então:

$$\boxed{\bar{N} = -\frac{1}{\alpha}},$$

onde

$$\boxed{\alpha = \mathbf{H}(\mathbf{F} - \mathbf{GK})^{-1}\mathbf{G} \left[1 - \mathbf{K}(\mathbf{F} - \mathbf{LH})^{-1}(\mathbf{G} - \frac{\mathbf{M}}{\bar{N}}) \right]}$$



Obs.1: não conhecemos aqui \bar{N} , mas
conhecemos \mathbf{M}/\bar{N} a partir de $\gamma(s)$.

Obs.2: método alternativo, no caso em que $\mathbf{M} = 0$:

```
>> GDC = n(length(n))/d(length(d));
>> Nbar = 1/GDC;
```

Parte I – Projeto de Sistemas de Controle Contínuos no Espaço de Estados

8. Controle Integral

Rastreamento robusto (rejeição de perturbações)

$$\dot{\mathbf{x}} = \mathbf{F}\mathbf{x} + \mathbf{G}u + \mathbf{G}_1w$$

$$y = \mathbf{H}\mathbf{x}$$

Mais um estado: $\dot{x}_i = \mathbf{H}\mathbf{x} - r$

$$x_i = \int_0^t e(\tau) d\tau$$

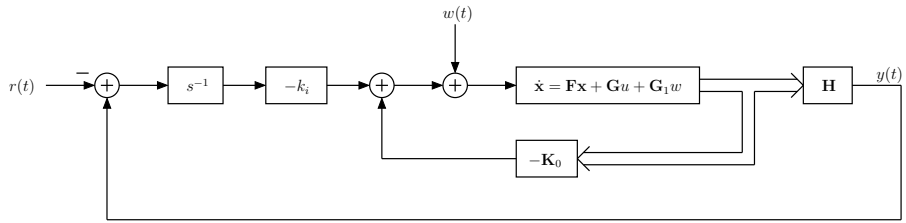
Equações de estado aumentadas:

$$\begin{bmatrix} \dot{x}_i \\ \dot{\mathbf{x}} \end{bmatrix} = \begin{bmatrix} 0 & \mathbf{H} \\ \mathbf{0} & \mathbf{F} \end{bmatrix} \begin{bmatrix} x_i \\ \mathbf{x} \end{bmatrix} + \begin{bmatrix} 0 \\ \mathbf{G} \end{bmatrix} u - \begin{bmatrix} 1 \\ \mathbf{0} \end{bmatrix} r + \begin{bmatrix} 0 \\ \mathbf{G}_1 \end{bmatrix} w$$

$$y = [0 \quad \mathbf{H}] \begin{bmatrix} x_i \\ \mathbf{x} \end{bmatrix}$$

Nova regra de controle:

$$u = - \underbrace{\begin{bmatrix} k_i & | & \mathbf{K}_0 \end{bmatrix}}_{\mathbf{K}} \begin{bmatrix} x_i \\ \mathbf{x} \end{bmatrix}$$



$$\begin{bmatrix} \dot{x}_i \\ \dot{\mathbf{x}} \end{bmatrix} = \begin{bmatrix} 0 & \mathbf{H} \\ -\mathbf{G}k_i & \mathbf{F} - \mathbf{G}\mathbf{K}_0 \end{bmatrix} \begin{bmatrix} x_i \\ \mathbf{x} \end{bmatrix} - \begin{bmatrix} 1 \\ \mathbf{0} \end{bmatrix} r + \begin{bmatrix} 0 \\ \mathbf{G}_1 \end{bmatrix} w$$

$$y = [\begin{array}{cc} 0 & \mathbf{H} \end{array}] \begin{bmatrix} x_i \\ \mathbf{x} \end{bmatrix}$$

EXEMPLO #23: $G(s) = \frac{1}{s+3}$

$$\left(\begin{array}{l} \dot{x} = -3x + u \\ y = x \end{array} \right)$$

Controle integral – dois pólos em $s = -5$

$$\left[\begin{array}{c} \dot{x}_i \\ \dot{x} \end{array} \right] = \underbrace{\left[\begin{array}{cc} 0 & 1 \\ 0 & -3 \end{array} \right]}_{\mathbf{F}_i} \left[\begin{array}{c} x_i \\ x \end{array} \right] + \underbrace{\left[\begin{array}{c} 0 \\ 1 \end{array} \right]}_{\mathbf{G}_i} u - \left[\begin{array}{c} 1 \\ 0 \end{array} \right] r + \left[\begin{array}{c} 0 \\ 1 \end{array} \right] w$$

$$\mathbf{F}_i - \mathbf{G}_i \mathbf{K} = \left[\begin{array}{cc} 0 & 1 \\ 0 & -3 \end{array} \right] - \left[\begin{array}{c} 0 \\ 1 \end{array} \right] \left[\begin{array}{cc} k_i & k_0 \end{array} \right] = \left[\begin{array}{cc} 0 & 1 \\ -k_i & -3 - k_0 \end{array} \right]$$

$$\det(s\mathbf{I} - \mathbf{F}_i + \mathbf{G}_i \mathbf{K}) = \alpha_c(s)$$

$$\underbrace{\left[\begin{array}{cc} s & 1 \\ k_i & s + k_0 + 3 \end{array} \right]}_{s^2 + (k_0 + 3)s + k_i} = (s+5)(s+5) = s^2 + 10s + 25$$

$$\longrightarrow \quad \begin{array}{l} k_i = 25 \\ k_0 = 7 \end{array}$$

EXEMPLO #24: Análise Assintótica (Ganho DC) – utilizando os números do EXEMPLO #23:

$$u = -[\begin{array}{cc} 25 & 7 \end{array}] \begin{bmatrix} x_i \\ x \end{bmatrix} \Rightarrow \begin{bmatrix} \dot{x}_i \\ \dot{x} \end{bmatrix} = \begin{bmatrix} 0 & 1 \\ -25 & -10 \end{bmatrix} \begin{bmatrix} x_i \\ x \end{bmatrix} - \begin{bmatrix} 1 \\ 0 \end{bmatrix} r + \begin{bmatrix} 0 \\ 1 \end{bmatrix} w$$

$$y = [\begin{array}{cc} 0 & 1 \end{array}] \begin{bmatrix} x_i \\ x \end{bmatrix}$$

$$\textcircled{1} \quad \frac{Y(s)}{R(s)} = [\begin{array}{cc} 0 & 1 \end{array}] \begin{bmatrix} s & -1 \\ 25 & s+10 \end{bmatrix}^{-1} \begin{bmatrix} -1 \\ 0 \end{bmatrix} =$$

$$[\begin{array}{cc} 0 & 1 \end{array}] \frac{\begin{bmatrix} s+10 & 1 \\ -25 & s \end{bmatrix}}{s^2 + 10s + 25} \begin{bmatrix} -1 \\ 0 \end{bmatrix} = \frac{25}{s^2 + 10s + 25}$$

Note que $\lim_{s \rightarrow 0} \frac{Y(s)}{R(s)} = 1$

$$\textcircled{2} \quad \frac{Y(s)}{W(s)} = \frac{[\begin{array}{cc} -25 & s \end{array}] \begin{bmatrix} 0 \\ 1 \end{bmatrix}}{s^2 + 10s + 25} = \frac{s}{s^2 + 10s + 25}$$

Note que $\lim_{s \rightarrow 0} \frac{Y(s)}{W(s)} = 0$

EXEMPLO #25: “Estimador de estados” (com pólo do erro de estimação em $s = -10$), para a planta:

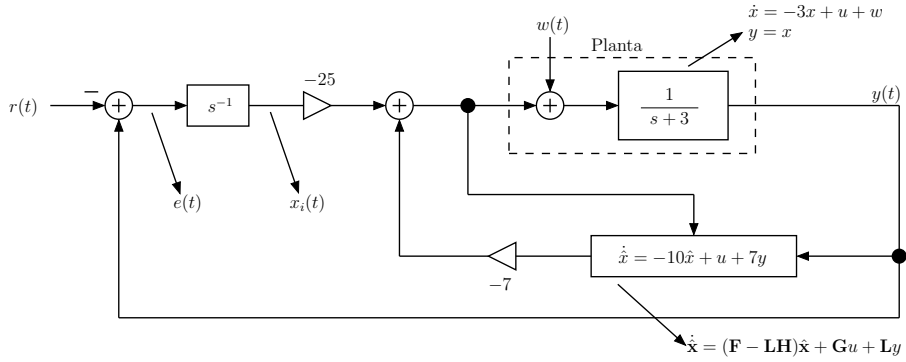
$$\dot{x} = -3x + u$$

$$y = 1x$$

$$\mathbf{F} - \mathbf{LH} = -3 - L \quad \text{e} \quad \det(s\mathbf{I} - \mathbf{F} + \mathbf{LH}) = \alpha_e(s)$$

$$s + 3 + L = s + 10 \quad \rightarrow \quad L = 7$$

Diagrama de blocos:



Simulação baseada em equações de estado:

$$\begin{bmatrix} \dot{x}_i \\ \dot{\mathbf{x}} \\ \dot{\hat{\mathbf{x}}} \end{bmatrix} = \begin{bmatrix} 0 & \mathbf{H} & \mathbf{0} \\ -\mathbf{G}k_i & \mathbf{F} & -\mathbf{GK}_0 \\ -\mathbf{G}k_i & \mathbf{LH} & \mathbf{F} - \mathbf{LH} - \mathbf{GK}_0 \end{bmatrix} \begin{bmatrix} x_i \\ \mathbf{x} \\ \hat{\mathbf{x}} \end{bmatrix} + \begin{bmatrix} \mathbf{0} \\ \mathbf{G}_1 \\ \mathbf{0} \end{bmatrix} w - \begin{bmatrix} 1 \\ \mathbf{0} \\ \mathbf{0} \end{bmatrix} r$$

$$y = \begin{bmatrix} 0 & \mathbf{H} & \mathbf{0} \end{bmatrix} \begin{bmatrix} x_i \\ \mathbf{x} \\ \hat{\mathbf{x}} \end{bmatrix}$$

Para obter as equações do slide anterior, fizemos o seguinte:

1
$$\begin{bmatrix} \dot{x}_i \\ \dot{\hat{x}} \\ * \end{bmatrix} = \begin{bmatrix} 0 & \mathbf{H} & \mathbf{0} \\ 0 & \mathbf{F} & \mathbf{0} \\ * & * & * \end{bmatrix} \begin{bmatrix} x_i \\ \mathbf{x} \\ * \end{bmatrix} + \begin{bmatrix} 0 \\ \mathbf{G} \\ * \end{bmatrix} u + \begin{bmatrix} 0 \\ \mathbf{G}_1 \\ * \end{bmatrix} w - \begin{bmatrix} 1 \\ \mathbf{0} \\ * \end{bmatrix} r$$

2 Substituir u por $-\mathbf{K} \begin{bmatrix} x_i \\ \hat{x} \end{bmatrix} = - \begin{bmatrix} k_i & \mathbf{0} & \mathbf{K}_0 \end{bmatrix} \begin{bmatrix} x_i \\ \mathbf{x} \\ \hat{x} \end{bmatrix}$

3 $\dot{\hat{x}} = (\mathbf{F} - \mathbf{LH}) \hat{x} + \mathbf{G} \left(- \begin{bmatrix} k_i & \mathbf{0} & \mathbf{K}_0 \end{bmatrix} \begin{bmatrix} x_i \\ \mathbf{x} \\ \hat{x} \end{bmatrix} \right) + \mathbf{LHx}$

4 Então a terceira linha da equação do item (1) é:

$$\dot{\hat{x}} = -\mathbf{G}k_i x_i + \mathbf{LHx} + (\mathbf{F} - \mathbf{LH} - \mathbf{GK}_0) \hat{x}$$

No MATLAB:

```
>> clear all;

>> F = -3; G = 1; H = 1; ki = 25; k0 = 7; L = 7; G1 = 1;

>> Fi = [0 H 0 ; -G*ki F -G*k0 ; -G*ki L*H F-L*H-G*k0];

>> Gi = [-1 0 ; 0 G1 ; 0 0];

>> Hi = [0 H 0];

>> Ji = 0;

>> sys = ss(Fi,Gi,Hi,Ji);

>> t = 0:(0.01):(100-0.01);

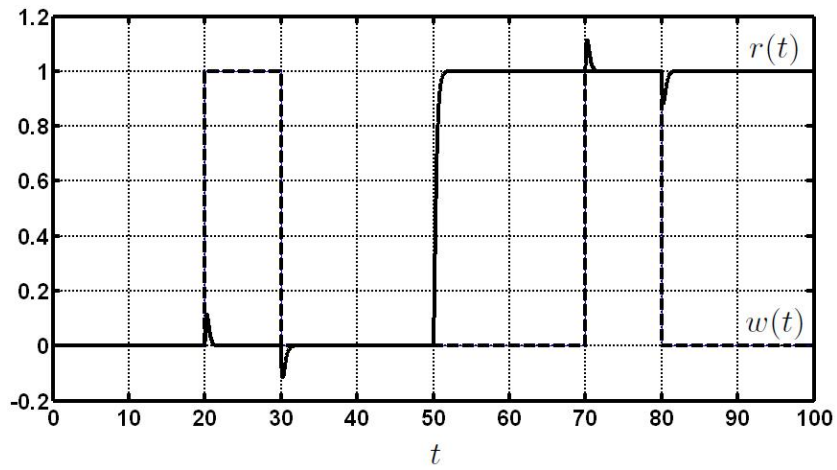
>> r = stepfun(t,50);

>> w = stepfun(t,20)-stepfun(t,30)+stepfun(t,70)-stepfun(t,80);

>> y = lsim(sys,[r' w'],t);

>> plot(t,y); hold on; plot(t,w); grid on;
```

Resultado da simulação do sistema dos EXEMPLOS #23 a #25:



Ver no website – Lista de Exercícios #5

Parte I – Projeto de Sistemas de Controle Contínuos no Espaço de Estados

9. Linearização

Quando um sistema é não-linear, não é possível representá-lo na forma:

$$\begin{aligned}\dot{\mathbf{x}} &= \mathbf{F}\mathbf{x} + \mathbf{G}u \\ y &= \mathbf{H}\mathbf{x}\end{aligned}$$

Para um sistema não-linear, temos:

$$\begin{aligned}\dot{\mathbf{x}} = \mathbf{f}(\mathbf{x}, u) \quad \longrightarrow \quad \begin{bmatrix} \dot{x}_1 \\ \dot{x}_2 \\ \vdots \\ \dot{x}_n \end{bmatrix} &= \begin{bmatrix} f_1(\mathbf{x}, u) \\ f_2(\mathbf{x}, u) \\ \vdots \\ f_n(\mathbf{x}, u) \end{bmatrix} \\ y &= \mathbf{H}\mathbf{x}\end{aligned}$$

Obs.: em ambos os casos (linear ou não-linear), assumimos que o sistema é invariante no tempo. Caso contrário, $\dot{\mathbf{x}} = \mathbf{f}(\mathbf{x}, u, t)$.

A análise do sistema não-linear é difícil. Gostaríamos de substituir:

$$\dot{\mathbf{x}} = \mathbf{f}(\mathbf{x}, u) \quad \text{por} \quad \dot{\mathbf{x}} = \mathbf{F}\mathbf{x} + \mathbf{G}u$$

Métodos:

- ① Pequenos sinais;
- ② Realimentação;
- ③ Não-linearidade inversa.

9.1. Método de Pequenos Sinais

Ponto de equilíbrio (ponto de operação): \mathbf{x}_0, u_0 .

Neste ponto: $\dot{\mathbf{x}}_0 = \mathbf{f}(\mathbf{x}_0, u_0) = \mathbf{0}$.

$$\mathbf{x} = \mathbf{x}_0 + \boxed{\delta\mathbf{x}}$$

Perturbações:

$$u = u_0 + \boxed{\delta u}$$

↓
Novas variáveis de interesse (não mais \mathbf{x} e u)

Podemos escrever a aproximação:

$$\dot{\mathbf{x}}_0 + \delta\dot{\mathbf{x}} \simeq \mathbf{f}(\mathbf{x}_0, u_0) + \mathbf{F}\delta\mathbf{x} + \mathbf{G}\delta u$$

onde:

$$\mathbf{F} = \left[\begin{array}{c} \frac{\partial \mathbf{f}}{\partial \mathbf{x}} \end{array} \right] \Big|_{\substack{\mathbf{x} = \mathbf{x}_0 \\ u = u_0}} = \left[\begin{array}{ccc} \frac{\partial f_1}{\partial x_1} & \dots & \frac{\partial f_1}{\partial x_n} \\ \vdots & & \vdots \\ \frac{\partial f_n}{\partial x_1} & \dots & \frac{\partial f_n}{\partial x_n} \end{array} \right] \Big|_{\substack{\mathbf{x} = \mathbf{x}_0 \\ u = u_0}}$$

e

$$\mathbf{G} = \left[\begin{array}{c} \frac{\partial \mathbf{f}}{\partial u} \end{array} \right] \Big|_{\substack{\mathbf{x} = \mathbf{x}_0 \\ u = u_0}} = \left[\begin{array}{c} \frac{\partial f_1}{\partial u} \\ \vdots \\ \frac{\partial f_n}{\partial u} \end{array} \right] \Big|_{\substack{\mathbf{x} = \mathbf{x}_0 \\ u = u_0}}$$

$$\dot{\mathbf{x}}_0 + \delta \dot{\mathbf{x}} \simeq \mathbf{f}(\mathbf{x}_0, u_0) + \mathbf{F} \delta \mathbf{x} + \mathbf{G} \delta u$$

—

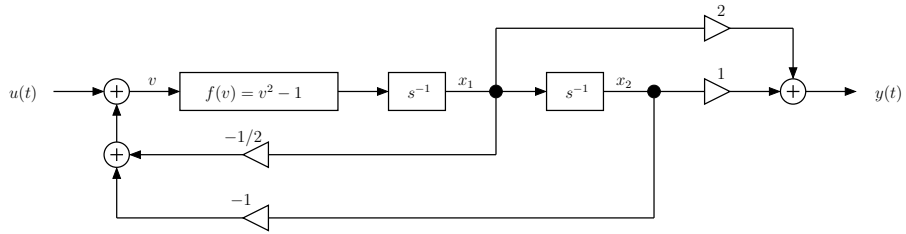
$$\text{Subtraindo: } \frac{\dot{\mathbf{x}}_0 = \mathbf{f}(\mathbf{x}_0, u_0)}{\delta \dot{\mathbf{x}} = \mathbf{F} \delta \mathbf{x} + \mathbf{G} \delta u}$$

↓

“ $\dot{\mathbf{x}} = \mathbf{F}\mathbf{x} + \mathbf{G}u$ ”

Obs.: \mathbf{x} e u na equação “ $\dot{\mathbf{x}} = \mathbf{F}\mathbf{x} + \mathbf{G}u$ ” são perturbações em relação a \mathbf{x}_0 e u_0 . Nós substituímos $\delta \mathbf{x}$ por \mathbf{x} e δu por u , isto é, usamos as mesmas letras. Mas são variáveis diferentes.

EXEMPLO #26:



Encontrar modelo linearizado em torno do ponto de equilíbrio obtido com $u_0 = 1$ e $\mathbf{x}_{20} > 0$.

$$\dot{x}_1 = v^2 - 1 = \left(u - \frac{1}{2}x_1 - x_2 \right)^2 - 1 = f_1(\mathbf{x}, u)$$

$$\dot{x}_2 = x_1 = f_2(\mathbf{x}, u) \quad (\text{note que } f_2 \text{ é linear})$$

Ponto de equilíbrio para $u_0 = 1$ e $x_{20} > 0$:

$$f_2(\mathbf{x}_0, u_0) = 0 \quad \longrightarrow \quad \boxed{x_{10} = 0}$$

$$\left(u_0 - \frac{1}{2}x_{10} - x_{20} \right)^2 - 1 = 0$$

$$f_1(\mathbf{x}_0, u_0) = 0 \quad \longrightarrow \quad (1 - x_{20})^2 = 1$$

Duas soluções: $x_{20} = 0$ ou $x_{20} = 2$

Usar $\boxed{x_{20} = 2}$

$$u_0 = 1 \quad (\text{dado})$$

$$\left. \frac{\partial f_1}{\partial x_1} \right|_{u_0, x_{10}, x_{20}} = -2 \left(u - \frac{1}{2}x_1 - x_2 \right) \left. \frac{1}{2} \right|_{u_0, x_{10}, x_{20}} = 1$$

$$\left. \frac{\partial f_1}{\partial x_2} \right|_{u_0, x_{10}, x_{20}} = -2 \left(u - \frac{1}{2}x_1 - x_2 \right) \left. \right|_{u_0, x_{10}, x_{20}} = 2$$

$$\left. \frac{\partial f_2}{\partial x_1} \right|_{u_0, x_{10}, x_{20}} = 1$$

Linearização:

$$\left. \frac{\partial f_2}{\partial x_2} \right|_{u_0, x_{10}, x_{20}} = 0$$

$$\left. \frac{\partial f_1}{\partial u} \right|_{u_0, x_{10}, x_{20}} = 2 \left(u - \frac{1}{2}x_1 - x_2 \right) \left. \right|_{u_0, x_{10}, x_{20}} = -2$$

$$\left. \frac{\partial f_2}{\partial u} \right|_{u_0, x_{10}, x_{20}} = 0$$

$$\begin{bmatrix} \dot{x}_1 \\ \dot{x}_2 \end{bmatrix} = \begin{bmatrix} 1 & 2 \\ 1 & 0 \end{bmatrix} \begin{bmatrix} x_1 \\ x_2 \end{bmatrix} + \begin{bmatrix} -2 \\ 0 \end{bmatrix} u$$

Sistema linearizado no ponto de equilíbrio:

$$y = \begin{bmatrix} 2 & 1 \end{bmatrix} \begin{bmatrix} x_1 \\ x_2 \end{bmatrix}$$

A partir do sistema linearizado, podemos discutir estabilidade, controlabilidade, etc.

Parte I – Projeto de Sistemas de Controle Contínuos no Espaço de Estados

Aula de Exercícios e Dúvidas

EXEMPLO #27: Controlabilidade e Observabilidade

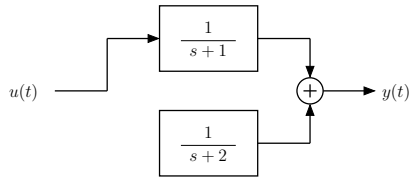
$$\mathbf{F}_{\text{cm}1} = \begin{bmatrix} -1 & 0 \\ 0 & -2 \end{bmatrix} \quad \mathbf{G}_{\text{cm}1} = \begin{bmatrix} 1 \\ 0 \end{bmatrix} \quad \mathbf{H}_{\text{cm}1} = [1 \quad 1]$$

FCM #1: $\mathcal{C}_{\text{cm}1} = [\mathbf{G}_{\text{cm}1} \quad \mathbf{F}_{\text{cm}1}\mathbf{G}_{\text{cm}1}] = \begin{bmatrix} 1 & -1 \\ 0 & 0 \end{bmatrix}$ Não-controlável

$$\mathcal{O}_{\text{cm}1} = \begin{bmatrix} \mathbf{H}_{\text{cm}1} \\ \mathbf{H}_{\text{cm}1}\mathbf{F}_{\text{cm}1} \end{bmatrix} = \begin{bmatrix} 1 & 1 \\ -1 & -2 \end{bmatrix}$$
 Observável

$$\mathbf{H}_{\text{cm}1}(s\mathbf{I} - \mathbf{F}_{\text{cm}1})^{-1}\mathbf{G}_{\text{cm}1} = \frac{\begin{bmatrix} 1 & 1 \end{bmatrix} \begin{bmatrix} s+2 & 0 \\ 0 & s+1 \end{bmatrix} \begin{bmatrix} 1 \\ 0 \end{bmatrix}}{(s+1)(s+2)} =$$

$$\frac{s+2}{(s+1)(s+2)} = \frac{1}{s+1}$$
 Perda de Controlabilidade

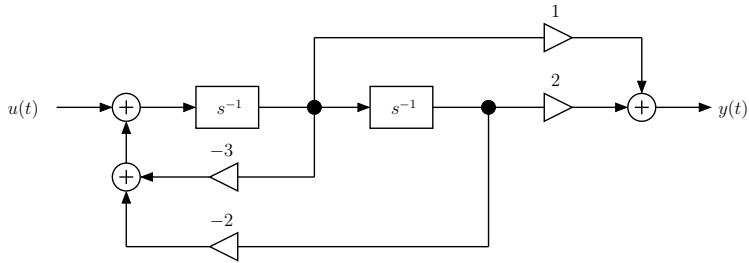


Não existe uma transformação linear \mathbf{T} tal que $\mathbf{T}^{-1}\mathbf{F}_{cm1}\mathbf{T} = \mathbf{F}_{cc}$. Entretanto:

$$\mathbf{F}_{cc} = \begin{bmatrix} -3 & -2 \\ 1 & 0 \end{bmatrix} \quad \mathbf{G}_{cc} = \begin{bmatrix} 1 \\ 0 \end{bmatrix} \quad \mathbf{H}_{cc} = \begin{bmatrix} 1 & 2 \end{bmatrix}$$

FCC: $\mathcal{C}_{cc} = [\mathbf{G}_{cc} \quad \mathbf{F}_{cc}\mathbf{G}_{cc}] = \begin{bmatrix} 1 & -3 \\ 0 & 1 \end{bmatrix}$ Controlável

$$\mathcal{O}_{cc} = \begin{bmatrix} \mathbf{H}_{cc} \\ \mathbf{H}_{cc}\mathbf{F}_{cc} \end{bmatrix} = \begin{bmatrix} 1 & 2 \\ -1 & -2 \end{bmatrix}$$
 Não-observável



Os sistemas \mathbf{F}_{cm1} e \mathbf{F}_{cc} são diferentes, mas têm a mesma função de transferência.

Na FCC deste exemplo, não se pode posicionar arbitrariamente os pólos de $\tilde{\mathbf{x}}$:

$$|s\mathbf{I} - \mathbf{F}_{cc} + \mathbf{LH}_{cc}| = \begin{vmatrix} s + l_1 + 3 & 2l_1 + 2 \\ l_2 - 1 & s + 2l_2 \end{vmatrix} = s^2 + \underbrace{(l_1 + 2l_2 + 3)}_{\alpha_1} s + \underbrace{2l_1 + 4l_2 + 2}_{\alpha_2}$$

$$l_1 + 2l_2 = \alpha_1 - 3$$

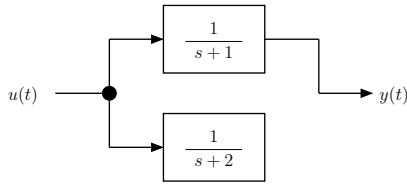
$$2l_1 + 4l_2 = \alpha_2 - 2$$

$$\mathbf{F}_{\text{cm}2} = \begin{bmatrix} -1 & 0 \\ 0 & -2 \end{bmatrix} \quad \mathbf{G}_{\text{cm}2} = \begin{bmatrix} 1 \\ 1 \end{bmatrix} \quad \mathbf{H}_{\text{cm}2} = \begin{bmatrix} 1 & 0 \end{bmatrix}$$

FCM #2: $\mathcal{C}_{\text{cm}2} = [\mathbf{G}_{\text{cm}2} \quad \mathbf{F}_{\text{cm}2}\mathbf{G}_{\text{cm}2}] = \begin{bmatrix} 1 & -1 \\ 1 & -2 \end{bmatrix}$ Controlável

$$\mathcal{O}_{\text{cm}2} = \begin{bmatrix} \mathbf{H}_{\text{cm}2} \\ \mathbf{H}_{\text{cm}2}\mathbf{F}_{\text{cm}2} \end{bmatrix} = \begin{bmatrix} 1 & 0 \\ -1 & 0 \end{bmatrix}$$
 Não-observável

$$\mathbf{H}_{\text{cm}2}(s\mathbf{I} - \mathbf{F}_{\text{cm}2})^{-1}\mathbf{G}_{\text{cm}2} = \frac{\begin{bmatrix} 1 & 0 \end{bmatrix} \begin{bmatrix} s+2 & 0 \\ 0 & s+1 \end{bmatrix} \begin{bmatrix} 1 \\ 1 \end{bmatrix}}{(s+1)(s+2)} = \frac{s+2}{(s+1)(s+2)} = \frac{1}{s+1}$$
 Perda de Observabilidade

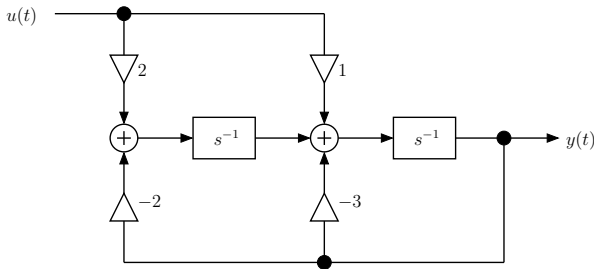


Não existe uma transformação linear \mathbf{T} tal que $\mathbf{F}_{\text{co}} = \mathbf{T}^{-1}\mathbf{F}_{\text{cm2}}\mathbf{T}$. Entretanto:

$$\mathbf{F}_{\text{co}} = \begin{bmatrix} -3 & 1 \\ -2 & 0 \end{bmatrix} \quad \mathbf{G}_{\text{co}} = \begin{bmatrix} 1 \\ 2 \end{bmatrix} \quad \mathbf{H}_{\text{co}} = \begin{bmatrix} 1 & 0 \end{bmatrix}$$

FCO: $\mathcal{C}_{\text{co}} = [\mathbf{G}_{\text{co}} \quad \mathbf{F}_{\text{co}}\mathbf{G}_{\text{co}}] = \begin{bmatrix} 1 & -1 \\ 2 & -2 \end{bmatrix}$ Não-controlável

$$\mathcal{O}_{\text{co}} = \begin{bmatrix} \mathbf{H}_{\text{co}} \\ \mathbf{H}_{\text{co}}\mathbf{F}_{\text{co}} \end{bmatrix} = \begin{bmatrix} 1 & 0 \\ -3 & 1 \end{bmatrix}$$
 Observável



Os sistemas \mathbf{F}_{cm2} e \mathbf{F}_{co} são diferentes, mas têm a mesma função de transferência.

Na FCO deste exemplo, não se pode posicionar arbitrariamente os pólos do sistema em malha fechada (conforme as raízes de $\alpha_c(s)$):

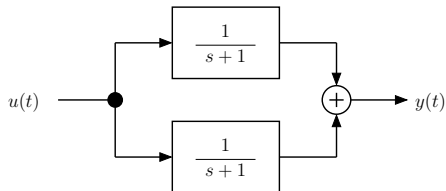
$$|s\mathbf{I} - \mathbf{F}_{co} + \mathbf{G}_{co}\mathbf{K}| = \begin{vmatrix} s+k_1+3 & k_2-1 \\ 2k_1+2 & s+2k_2 \end{vmatrix} = s^2 + \underbrace{(k_1+2k_2+3)}_{\alpha_1} s + \underbrace{2k_1+4k_2+2}_{\alpha_2}$$

$$k_1 + 2k_2 = \alpha_1 - 3$$

$$2k_1 + 4k_2 = \alpha_2 - 2$$

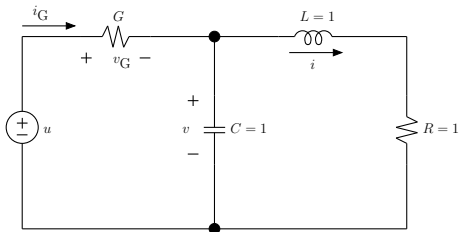
São equivalentes, neste exemplo: FCM #1 \Leftrightarrow FCO
 FCM #2 \Leftrightarrow FCC

Obs.: para pensar:



Não controlável? Não observável?

EXEMPLO #28: Linearização – circuito não-linear:



“Resistor” não-linear: $i_G = v_G(v_G - 1)(v_G - 4)$

Variáveis de Estado: i e v

Saída: i

$$\frac{di}{dt} = -i + v = f_1(i, v, u)$$

$$\frac{dv}{dt} = -i + (u - v)(u - v - 1)(u - v - 4) = f_2(i, v, u)$$

Obs.: para encontrar ponto de equilíbrio \rightarrow usar $u_0 = 1$ (escolha arbitrária)

$$\frac{di}{dt} = -i + v = f_1(i, v, u)$$

$$\frac{dv}{dt} = -i + (u^3 - 3u^2v + 3uv^2 - v^3 - 5u^2 + 10uv - 5v^2 + 4u - 4v) = f_2(i, u, v)$$

Equilíbrio (para $u_0 = 1$):

$$f_1 = 0 \longrightarrow -i_0 + v_0 = 0 \longrightarrow i_0 = v_0$$

$$f_2 = 0 \longrightarrow -i_0 - v_0^3 - 2v_0 + 3v_0 = 0 \longrightarrow v_0(v_0^2 + 2v_0 - 2) = 0$$
$$v_0 = 0 \text{ ou } v_0 = -1 \pm \sqrt{3}$$

Para $u_0 = 1$, há três pontos de equilíbrio:

1 $i_{01} = v_{01} = 0$

2 $i_{02} = v_{02} = 0.73$

3 $i_{03} = v_{03} = -2.73$

Para qualquer um dos pontos de equilíbrio:

$$\frac{\partial f_1}{\partial i} = -1 \quad \frac{\partial f_1}{\partial v} = 1$$

$$\frac{\partial f_2}{\partial i} = -1 \quad \frac{\partial f_2}{\partial v} = -3u^2 + 6uv - 3v^2 + 10u - 10v - 4$$

$$\frac{\partial f_1}{\partial u} = 0 \quad \frac{\partial f_2}{\partial u} = 3u^2 - 6uv + 3v^2 - 10u + 10v + 4$$

Ponto de equilíbrio #1:

$$u_{01} = 1 \quad v_{01} = i_{01} = 1$$

$$\frac{\partial f_2}{\partial v} \Big|_{u_0=1, v_{01}=0} = -3 + 10 - 4 = 3; \quad \frac{\partial f_2}{\partial u} = -3$$

$$\begin{bmatrix} \dot{i} \\ \dot{v} \end{bmatrix} = \begin{bmatrix} -1 & 1 \\ -1 & 3 \end{bmatrix} \begin{bmatrix} i \\ v \end{bmatrix} + \begin{bmatrix} 0 \\ -3 \end{bmatrix} u$$

$$y = \begin{bmatrix} 1 & 0 \end{bmatrix} \begin{bmatrix} i \\ v \end{bmatrix}$$

$$G(s) = \frac{-3}{s^2 - 2s - 2}$$

Pólos: -0.73 e 2.73 (sistema instável)
 $\det(\mathcal{C}) = -9$ e $\det(\mathcal{O}) = 1$

Ponto de equilíbrio #2:

$$u_{03} = 1 \quad v_{03} = i_{03} = 0.73$$

$$\left. \frac{\partial f_2}{\partial v} \right|_{u_0=1, v_{03}=0.73} = -3 + 4.38 - 1.60 + 10 - 7.3 - 4 = -1.52;$$

$$\frac{\partial f_2}{\partial u} = 1.52$$

$$\begin{bmatrix} \dot{i} \\ \dot{v} \end{bmatrix} = \begin{bmatrix} -1 & 1 \\ -1 & -1.52 \end{bmatrix} \begin{bmatrix} i \\ v \end{bmatrix} + \begin{bmatrix} 0 \\ 1.52 \end{bmatrix} u$$

$$y = [\ 1 \ 0] \begin{bmatrix} i \\ v \end{bmatrix}$$

$$G(s) = \frac{1.52}{s^2 + 2.52s + 2.52}$$

Pólos: $-1.26 \pm 0.97j$ (sistema estável)
 $\det(\mathcal{C}) = -2.31$ e $\det(\mathcal{O}) = 1$

Ponto de equilíbrio #3:

$$u_{02} = 1 \quad v_{02} = i_{02} = -2.73$$

$$\frac{\partial f_2}{\partial v} \Big|_{u_0=1, v_{02}=-2.73} = -3 - 16.38 - 22.36 + 10 + 27.3 - 4 = -8.44;$$

$$\frac{\partial f_2}{\partial u} = 8.44$$

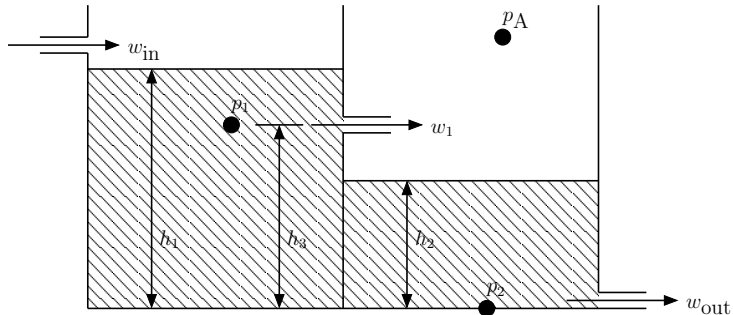
$$\begin{bmatrix} \dot{i} \\ \dot{v} \end{bmatrix} = \begin{bmatrix} -1 & 1 \\ -1 & -8.44 \end{bmatrix} \begin{bmatrix} i \\ v \end{bmatrix} + \begin{bmatrix} 0 \\ 8.44 \end{bmatrix} u$$

$$y = [\ 1 \ 0] \begin{bmatrix} i \\ v \end{bmatrix}$$

$$G(s) = \frac{8.44}{s^2 + 9.44s + 9.44}$$

Pólos: -8.30 e -1.14 (sistema estável)
 $\det(\mathcal{C}) = -71.2$ e $\det(\mathcal{O}) = 1$

EXEMPLO #29: Linearização – dois tanques:



Dados: $\left\{ \begin{array}{l} \text{Área dos tanques: } A \\ \text{Densidade do fluido: } \rho \\ \text{Gravidade: } g \end{array} \right.$

Lei de escoamento: $w = \alpha\sqrt{p_1 - p_2}$

Entrada: $w_{in} = u$

Saída: h_2

Estados: h_1 e h_2

$$\dot{h}_1 = -\frac{1}{A\rho}(w_{\text{in}} - w_1) \quad \rho \rightarrow \frac{g}{m^3}$$
$$\dot{h}_2 = -\frac{1}{A\rho}(w_1 - w_{\text{out}}) \quad w \rightarrow \frac{g}{seg}$$
$$A \rightarrow m^2$$

Não são equações de estado ainda. Falta relacionar:

$$\begin{array}{l} w_1 \longleftrightarrow h_1, h_2 \\ w_{\text{out}} \longleftrightarrow h_1, h_2 \end{array}$$

Equações para substituição:

$$w_1 = \alpha\sqrt{p_1 - p_A} = \alpha\sqrt{\rho g(h_1 - h_3)}$$
$$\downarrow$$
$$p_1 = p_A + \rho g(h_1 - h_3)$$

$$w_{\text{out}} = \alpha\sqrt{p_2 - p_A} = \alpha\sqrt{\rho g h_2}$$
$$\downarrow$$
$$p_2 = p_A + \rho g h_2$$

Equações de Estado:

$$\dot{h}_1 = \frac{1}{A\rho} (u - \alpha\sqrt{\rho g}\sqrt{h_1 - h_3}) = f_1(h_1, h_2, u)$$

$$\dot{h}_2 = \frac{1}{A\rho} (\alpha\sqrt{\rho g}\sqrt{h_1 - h_3} - \alpha\sqrt{\rho g}\sqrt{h_2}) = f_2(h_1, h_2, u)$$

$$\left. \frac{\partial f_1}{\partial h_1} \right|_{h_1=h_{10}} = \frac{-\alpha\sqrt{\rho g}}{2A\rho\sqrt{h_{10} - h_3}} = \sigma_1 \quad \left. \frac{\partial f_1}{\partial h_2} \right|_{h_2=h_{20}} = 0$$

$$\left. \frac{\partial f_2}{\partial h_1} \right|_{h_1=h_{10}} = \frac{\alpha\sqrt{\rho g}}{2A\rho\sqrt{h_{10} - h_3}} = -\sigma_1 \quad \left. \frac{\partial f_2}{\partial h_2} \right|_{h_2=h_{20}} = \frac{-\alpha\sqrt{\rho g}}{2A\rho\sqrt{h_{20}}} = \sigma_2$$

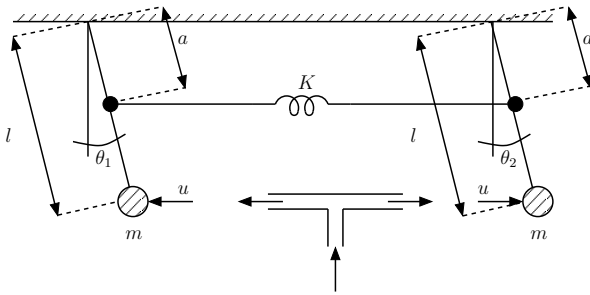
$$\left. \frac{\partial f_1}{\partial u} \right|_{h_1=h_{10}} = \frac{1}{A\rho} \quad \left. \frac{\partial f_2}{\partial u} \right|_{h_2=h_{20}} = 0$$

O sistema linearizado é:

$$\begin{bmatrix} \dot{h}_1 \\ \dot{h}_2 \end{bmatrix} = \begin{bmatrix} \sigma_1 & 0 \\ -\sigma_1 & \sigma_2 \end{bmatrix} \begin{bmatrix} h_1 \\ h_2 \end{bmatrix} + \begin{bmatrix} 1/(A\rho) \\ 0 \end{bmatrix} u$$

$$y = \begin{bmatrix} 0 & 1 \end{bmatrix} \begin{bmatrix} h_1 \\ h_2 \end{bmatrix}$$

EXEMPLO #30: Dois pêndulos com acomplamento. Saída: $y = \theta_1$.



Equações: $ml^2\ddot{\theta}_1 = -ka^2(\theta_1 - \theta_2) - mgl\theta_1 - lu$
 $ml^2\ddot{\theta}_2 = -ka^2(\theta_2 - \theta_1) - mgl\theta_2 + lu$

Notação mais simples: $\ddot{\theta}_1 = \alpha(\theta_1 - \theta_2) + \beta\theta_1 + \gamma u$
 $\ddot{\theta}_2 = \alpha(\theta_2 - \theta_1) + \beta\theta_2 - \gamma u$ (consideraremos $\gamma = 1$)

Variáveis de estado:
$$\left\{ \begin{array}{l} x_1 = \theta_1 \\ x_3 = \dot{x}_1 \longrightarrow \ddot{x}_1 = \dot{x}_3 = \alpha(x_1 - x_2) + \beta x_1 + u \\ x_2 = \theta_2 \\ x_4 = \dot{x}_2 \longrightarrow \ddot{x}_2 = \dot{x}_4 = \alpha(x_2 - x_1) + \beta x_2 - u \end{array} \right.$$

Representação no espaço de estados:

$$\begin{bmatrix} \dot{x}_1 \\ \dot{x}_2 \\ \dot{x}_3 \\ \dot{x}_4 \end{bmatrix} = \begin{bmatrix} 0 & 0 & 1 & 0 \\ 0 & 0 & 0 & 1 \\ \alpha + \beta & -\alpha & 0 & 0 \\ -\alpha & \alpha + \beta & 0 & 0 \end{bmatrix} \begin{bmatrix} x_1 \\ x_2 \\ x_3 \\ x_4 \end{bmatrix} + \begin{bmatrix} 0 \\ 0 \\ 1 \\ -1 \end{bmatrix} u$$

$$\mathbf{F} = \begin{bmatrix} 0 & 0 & 1 & 0 \\ 0 & 0 & 0 & 1 \\ A & B & 0 & 0 \\ B & A & 0 & 0 \end{bmatrix} \quad \mathbf{G} = \begin{bmatrix} 0 \\ 0 \\ 1 \\ -1 \end{bmatrix} \quad \mathbf{H} = \begin{bmatrix} 1 & 0 & 0 & 0 \end{bmatrix}$$

onde $A = \alpha + \beta$ e $B = -\alpha$.

Controlabilidade:

$$\mathbf{FG} = \begin{bmatrix} 1 \\ -1 \\ 0 \\ 0 \end{bmatrix} \quad \mathbf{F}^2\mathbf{G} = \begin{bmatrix} 0 \\ 0 \\ A-B \\ B-A \end{bmatrix} \quad \mathbf{F}^3\mathbf{G} = \begin{bmatrix} A-B \\ B-A \\ 0 \\ 0 \end{bmatrix}$$

$$\mathcal{C} = \begin{bmatrix} 0 & 1 & 0 & A-B \\ 0 & -1 & 0 & B-A \\ 1 & 0 & A-B & 0 \\ -1 & 0 & B-A & 0 \end{bmatrix}$$

↓ ↓

Dois modos não-controláveis ($\det(\mathcal{C}) = 0$)

Substituição de variáveis:

$$z_1 = x_1 + x_2$$

$$z_2 = x_1 - x_2$$

$$z_3 = \dot{z}_1$$

$$z_4 = \dot{z}_2$$

$z_3 = \dot{z}_1$ e $z_4 = \dot{z}_2$ para que
seja fácil obter \dot{z}_3 e \dot{z}_4

Equações de Estado:

$$\dot{z}_1 = z_3$$

$$\dot{z}_2 = z_4$$

$$\dot{z}_3 = \ddot{x}_1 + \ddot{x}_2 = \beta z_1$$

$$\dot{z}_4 = \ddot{x}_1 - \ddot{x}_2 = (2\alpha + \beta)z_2 + 2u$$

Saída:

$$y = x_1 = z_1/2 + z_2/2$$

Então:

$$\mathbf{F} = \begin{bmatrix} 0 & 0 & 1 & 0 \\ 0 & 0 & 0 & 1 \\ \beta & 0 & 0 & 0 \\ 0 & (2\alpha + \beta) & 0 & 0 \end{bmatrix} \quad \mathbf{G} = \begin{bmatrix} 0 \\ 0 \\ 0 \\ 2 \end{bmatrix} \quad \mathbf{H} = \begin{bmatrix} 1/2 & 1/2 & 0 & 0 \end{bmatrix}$$

O modo z_3 (pêndulo) e sua derivada não são controláveis a partir da entrada. O modo da mola é controlável.

$$\begin{bmatrix} \dot{z}_1 \\ \dot{z}_2 \end{bmatrix} = \begin{bmatrix} 0 & 1 \\ \beta & 0 \end{bmatrix} \begin{bmatrix} z_1 \\ z_3 \end{bmatrix} + \begin{bmatrix} 0 \\ 0 \end{bmatrix} u$$

$$\begin{bmatrix} \dot{z}_2 \\ \dot{z}_4 \end{bmatrix} = \begin{bmatrix} 0 & 1 \\ 2\alpha + \beta & 0 \end{bmatrix} \begin{bmatrix} z_2 \\ z_4 \end{bmatrix} + \begin{bmatrix} 0 \\ 2 \end{bmatrix} u$$

Na base de coordenadas x :

$$\mathbf{F} = \begin{bmatrix} 0 & 0 & 1 & 0 \\ 0 & 0 & 0 & 1 \\ A & B & 0 & 0 \\ B & A & 0 & 0 \end{bmatrix} \quad \mathbf{H} = \begin{bmatrix} 1 & 1 & 0 & 0 \end{bmatrix} \quad \mathbf{HF} = \begin{bmatrix} 0 & 0 & 1 & 0 \end{bmatrix}$$

$$\quad \mathbf{HF}^2 = \begin{bmatrix} A & B & 0 & 0 \end{bmatrix} \quad \mathbf{HF}^3 = \begin{bmatrix} 0 & 0 & A & B \end{bmatrix}$$

$$\mathcal{O} = \begin{bmatrix} 1 & 0 & 0 & 0 \\ 0 & 0 & 1 & 0 \\ A & B & 0 & 0 \\ 0 & 0 & A & B \end{bmatrix}$$

EXEMPLO #31: Estimador de ordem reduzida da Lista de Exercícios #5, revisitado:

$$\mathbf{F} = \begin{bmatrix} -2 & -2 \\ 1 & 0 \end{bmatrix} \quad \mathbf{G} = \begin{bmatrix} 1 \\ 0 \end{bmatrix} \quad \mathbf{H} = \begin{bmatrix} 1 & 4 \end{bmatrix}$$

$F_{bb} - LF_{ab} = 2L \rightarrow s - 2L = s + 6 \rightarrow L = -3 \rightarrow$ Errado! Porque $y \neq x_1$.

Substituição de variáveis:

$$z_1 = x_1 + 4x_2 \quad (\text{resolve } y = x_1)$$

$$z_2 = x_2 \quad (\text{qualquer coisa, exceto múltiplo de } z_1)$$

$$\dot{z}_1 = (-2x_1 - 2x_2 + u) + 4x_1 = 2x_1 - 2x_2 + u = 2z_1 - 10z_2 + u = \dot{y}$$

$$\dot{z}_2 = \dot{x}_2 = x_1 = z_1 - 4z_2 \quad (\text{a estimar})$$

A estimar: $\dot{z}_2 = -4z_2 + y \quad (\dot{\mathbf{x}} = \mathbf{F}\mathbf{x} + \mathbf{G}u)$

Saída sendo: $\dot{y} - 2y - u = -10z_2 \quad (y = \mathbf{H}\mathbf{x})$

“Usando outras letras”: $\dot{x} = -4x + u$

$$y = -10x$$

E o estimador é: $\dot{\hat{x}} = -4\hat{x} + u + L(y - 10\hat{x})$

Subtraindo: $\dot{x} - \dot{\hat{x}} = \dot{\tilde{x}} = -4(x - \hat{x}) + 10L(x - \hat{x})$

$$\dot{\tilde{x}} = (-4 + 10L)\tilde{x}$$

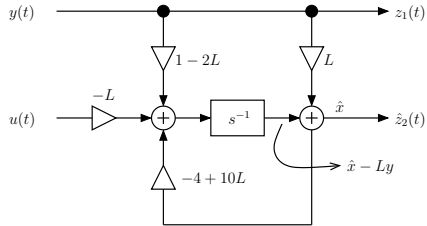
Projeto: $s\mathbf{I} - “\mathbf{F}” = s + 4 - 10L = s + 6 \rightarrow 4 - 10L = 6 \rightarrow$

$$L = -0.2$$

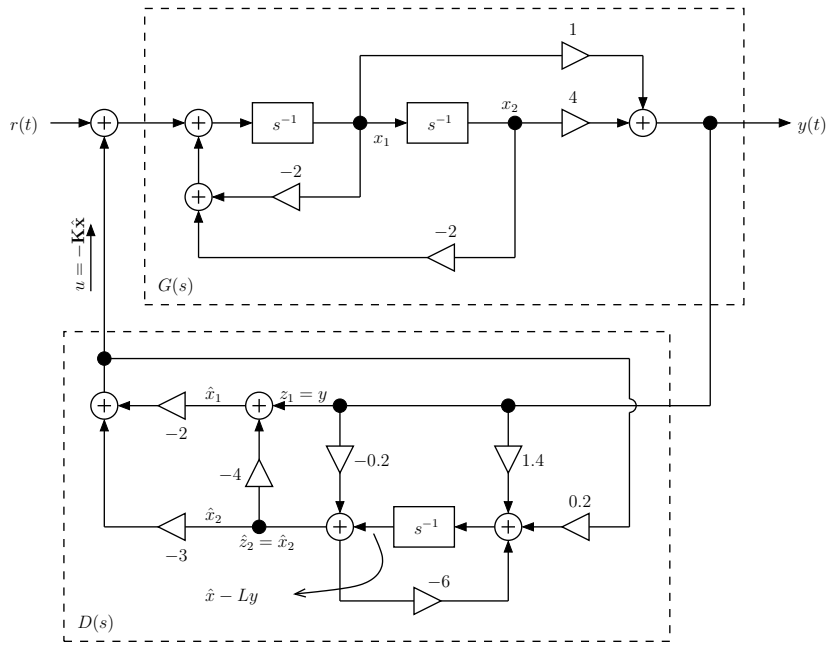
Implementação:

$$\begin{array}{l} \dot{\hat{x}} = (-4 + 10L)\hat{x} + u + Ly \\ \downarrow \qquad \downarrow \\ y \qquad \dot{y} - 2y - u \end{array}$$

$$\dot{\hat{x}} - L\dot{y} = (-4 + 10L)\hat{x} + y(1 - 2L) - L$$



No slide a seguir: $\frac{U(s)}{Y(s)} = \frac{-3s - 5}{s + 5}$ (calcular)



EXEMPLO #32: Vetor M:

$$\mathbf{F} = \begin{bmatrix} 0 & 0 \\ 1 & 0 \end{bmatrix} \quad \mathbf{G} = \begin{bmatrix} 1 \\ 0 \end{bmatrix} \quad \mathbf{H} = \begin{bmatrix} 1 & 0 \end{bmatrix} \quad G(s) = \frac{1}{s^2}$$

$$p_c = -1 \pm j \longrightarrow \mathbf{K} = \begin{bmatrix} 2 & 2 \end{bmatrix} \quad \text{e} \quad p_e = -5 \pm 5j \longrightarrow \mathbf{L} = \begin{bmatrix} 50 \\ 10 \end{bmatrix}$$

Compensador: $\dot{\mathbf{x}} = (\mathbf{F} - \mathbf{GK} - \mathbf{LH})\hat{\mathbf{x}} + \mathbf{Ly}$ $\mathbf{F} - \mathbf{GK} - \mathbf{LH} = \begin{bmatrix} -2 & -52 \\ 1 & -10 \end{bmatrix}$

$$D(s) = \frac{-120s - 100}{s^2 + 12s + 72}$$

$$\frac{G(s)}{1 - G(s)D(s)} = \frac{s^2 + 12s + 7}{s^4 + 12s^3 + 72s^2 + 120s + 100} =$$

$$\frac{(s + 6 + 6j)(s + 6 - 6j)}{(s + 1 + j)(s + 1 - j)(s + 5 + 5j)(s + 5 - 5j)}$$

Calcular \mathbf{M} para que sistema em malha fechada tenha zeros em $-4 \pm 4j$:

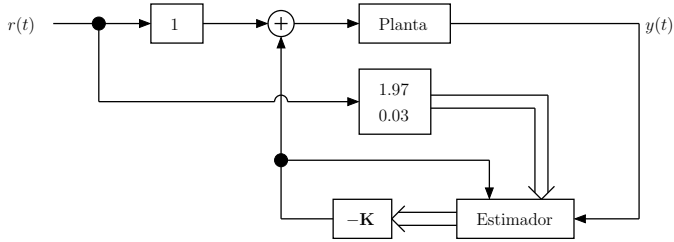
$$(s + 4 + 4j)(s + 4 - 4j) = s^2 + 8s + 32$$

$$\left| s\mathbf{I} - \mathbf{F} + \mathbf{GK} + \mathbf{LH} - \begin{bmatrix} \mu_1 \\ \mu_2 \end{bmatrix} \begin{bmatrix} k_1 & k_2 \end{bmatrix} \right| = s^2 + 8s + 32$$

$$\left| \begin{bmatrix} s & 0 \\ 0 & s \end{bmatrix} + \begin{bmatrix} 2 & 5 \\ -1 & 10 \end{bmatrix} + \begin{bmatrix} -2\mu_1 & -2\mu_1 \\ -2\mu_2 & -2\mu_2 \end{bmatrix} \right| = s^2 + 8s + 32$$

$$\mu_1 = 1.97 \text{ e } \mu_2 = 0.03, \text{ onde } \mu_1 = \frac{m_1}{N} \text{ e } \mu_2 = \frac{m_2}{N}$$

Implementação:



Parte II – Introdução ao Controle em Tempo Discreto

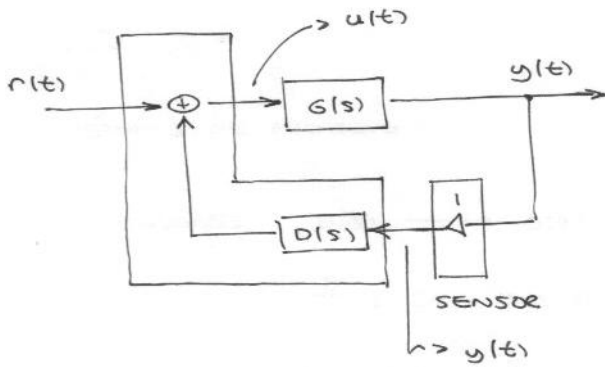
Contexto:

- Eletrônica analógica (filtros contínuos)
 - Controle contínuo
 - Soma, multiplicação, integral
 - Transformada de Laplace
 - Representação única
- Eletrônica digital (microprocessador)
 - Controle digital
 - Soma, multiplicação, atraso
 - Transformada Z
 - *Aliasing*

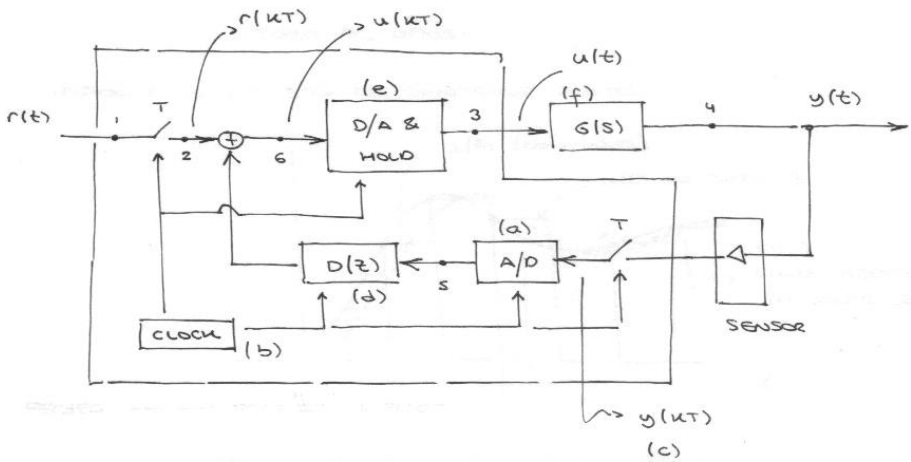
Parte II – Introdução ao Controle em Tempo Discreto

1. Digitalização

Sistema de controle contínuo:



Sistema de controle digital:



Observações:

(a) Conversor A/D – 10 a 16 bits

(b) Clock: sistema de interrupção

“Free-running” ou taxa de amostragem $1/T$ (com período T fixo)

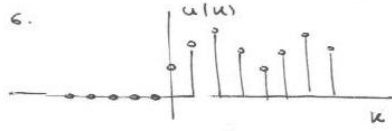
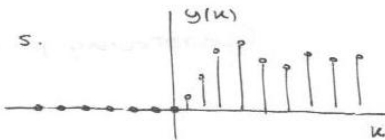
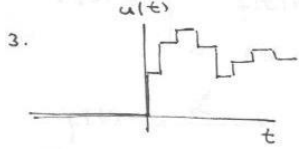
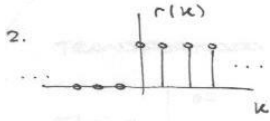
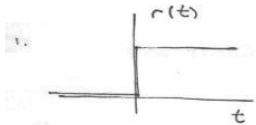
(c) Sinal amostrado: $y(kT) = y(k)$

(d) $D(z)$: equação a diferenças

(e) ZOH: $u(k) \longrightarrow u(t)$ (*zero-order hold*)

(f) Atuador (tempo contínuo)

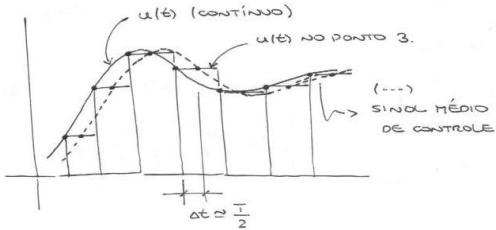
Sinais:



Métodos de projeto:

- 1 Emulação: $D(s) \rightarrow D(z)$. É um método aproximado. Taxa de amostragem $(1/T) \simeq 20 \times \text{BW}$ do sistema em malha fechada.
- 2 Projeto direto (exato): $D(z)$ calculado diretamente a partir de $G(z)$. Taxa de amostragem bem inferior à do projeto aproximado.

Impacto do sistema de controle digital:



→ Atraso médio de $T/2$ do sinal médio de controle em relação ao $u(t)$ contínuo.

Parte II – Introdução ao Controle em Tempo Discreto

2. Transformada Z (Revisão)

Lembrando a Transformada de Laplace (unilateral):

$$F(s) = \int_0^{\infty} f(t)e^{-st}dt$$

$$f(t) \xleftrightarrow{\mathcal{L}} F(s)$$

Propriedade da derivada: $\frac{df}{dt} \xleftrightarrow{\mathcal{L}} sF(s) - f(0)$

Definição de Transformada Z:

- Unilateral (esta é a que vamos usar):

$$F(z) = \sum_{k=0}^{\infty} f(k)z^{-k}$$

$$f(k) \xleftrightarrow{\mathcal{L}} F(z)$$

Propriedade do avanço: $f(k+1) \xleftrightarrow{\mathcal{L}} z(F(z) - f(0))$ (Equação (1))

- Bilateral

$$F(z) = \sum_{k=-\infty}^{\infty} f(k)z^{-k}$$

$$f(k) \xleftrightarrow{\mathcal{L}} F(z)$$

Propriedade do avanço: $f(k+1) \xleftrightarrow{\mathcal{L}} zF(z)$ (Equação (2))

Sobre as propriedades de avanço no slide anterior:

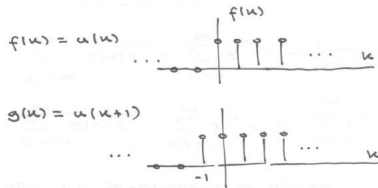
Equação (1):

$$\begin{aligned} & \sum_{k=0}^{\infty} f(k+1)z^{-k} \\ &= z \sum_{k=0}^{\infty} f(k+1)z^{-(k+1)} \\ & (l = k+1 ; k=0 \longrightarrow l=1) \\ &= z \sum_{k=1}^{\infty} f(k)z^{-k} \\ &= z \left[\sum_{k=0}^{\infty} f(k)z^{-k} - f(0) \right] \end{aligned}$$

Equação (2):

$$\begin{aligned} & \sum_{k=-\infty}^{\infty} f(k+1)z^{-k} \\ &= z \sum_{k=-\infty}^{\infty} f(k+1)z^{-(k+1)} \\ &= z \sum_{k=-\infty}^{\infty} f(k)z^{-(k)} \end{aligned}$$

EXEMPLO #1: Degrau unitário discreto:



Calcular $F(z)$ e $G(z)$ usando a transformada Z unilateral. Relacionar as funções $F(z)$ e $G(z)$ usando a propriedade do avanço. Repetir o exemplo, usando a transformada Z bilateral.

Observação: $\sum_{k=0}^{\infty} \rho^k = ?, |\rho| < 1$.

$$S_n = \rho^0 + \rho^1 + \rho^2 + \dots + \rho^{n-1}$$

$$S_{n+1} = \rho^0 + \rho^1 + \rho^2 + \dots + \rho^{n-1} + \rho^n = \rho S_n + \rho^n$$

$$\text{Note que: } \rho S_n + \rho^n = S_n + \rho^n \longrightarrow S_n(1 - \rho) = 1 - \rho^n$$

$$\text{Então: } S_n = \frac{1 - \rho^n}{1 - \rho}$$

Transformada Z unilateral:

$$F(z) = \sum_{k=0}^{\infty} f(k)z^{-k} = \sum_{k=0}^{\infty} z^{-k} = \frac{1}{1 - z^{-1}} = \frac{z}{z - 1}$$

$$G(z) = \sum_{k=0}^{\infty} g(k)z^{-k} = \sum_{k=0}^{\infty} z^{-k} = \frac{1}{1 - z^{-1}} = \frac{z}{z - 1}$$

De fato, pela propriedade do avanço:

$$G(z) = z(F(z) - f(0)) = z \left(\frac{z}{z - 1} - 1 \right) = \frac{z(z - z + 1)}{z - 1} = \frac{z}{z - 1}$$

Transformada Z bilateral:

$$F(z) = \sum_{k=-\infty}^{\infty} f(k)z^{-k} = \sum_{k=0}^{\infty} z^{-k} = \frac{1}{1-z^{-1}} = \frac{z}{z-1}$$

$$\begin{aligned} G(z) &= \sum_{k=-\infty}^{\infty} g(k)z^{-k} = \sum_{k=-1}^{\infty} z^{-k} = z + \sum_{k=0}^{\infty} z^{-k} = z + \frac{z}{z-1} = \\ &= \frac{z^2 - z + z}{z-1} = \frac{z^2}{z-1} \end{aligned}$$

De fato, pela propriedade do avanço:

$$G(z) = zF(z) = \frac{z^2}{z-1}$$

Obs.: refazer este exemplo para $f(k) = u(k-1)$ e $g(k) = u(k)$.

2.1. Transformada Z da Equação a Diferenças

$$y(k) + a_1y(k-1) + \dots + a_ny(k-n) = b_0u(k) + b_1u(k-1) + \dots + b_nu(k-n)$$

$$y(k) + a_1y(k-1) + a_2y(k-2) = b_0u(k) + b_1u(k-1) + b_2u(k-2) \text{ (caso particular } n=2\text{)}$$

Assumindo condições iniciais nulas:

$$Y(z)(1 + a_1z^{-1} + a_2z^{-2}) = U(z)(b_0 + b_1z^{-1} + b_2z^{-2})$$

$$\boxed{\frac{Y(z)}{U(z)} = \frac{b_0 + b_1z^{-1} + b_2z^{-2}}{1 + a_1z^{-1} + a_2z^{-2}}}$$

Alternativamente:

$$y(k+2) + a_1y(k+1) + a_2y(k) = b_0u(k+2) + b_1u(k+1) + b_2u(k)$$

Assumindo condições iniciais nulas:

$$\boxed{\frac{Y(z)}{U(z)} = \frac{b_0z^2 + b_1z + b_2}{z^2 + a_1z + a_2}}$$

EXEMPLO #2: $y(k) + 3y(k - 1) = u(k)$ ($u(k)$ uma entrada qualquer para a planta)

$$(1 + 3z^{-1})Y(z) = U(z) \longrightarrow \frac{Y(z)}{U(z)} = \frac{1}{1 + 3z^{-1}}$$

EXEMPLO #3: $y(k) = \alpha^k u(k)$ ($u(k)$ é o degrau unitário)

$$Y(z) = \sum_{k=0}^{\infty} \alpha^k u(k) z^{-k} = \sum_{k=0}^{\infty} (\alpha z^{-1})^k = \frac{1}{1 - \alpha z^{-1}} = \frac{z}{z - \alpha}$$

(ROC: $|z| > |\alpha|$)

2.2. Transformada Z Inversa

a) $f(k) = \frac{1}{2\pi j} \oint_{\mathcal{C}} F(z)z^{k-1} dz$ (não vamos usar esta expressão).

b) Expansão em frações parciais \rightarrow inversão usando tabela:

EXEMPLO #4:
$$\begin{cases} G(z) = \frac{z+1}{(z+2)(z+3)}, |z| > 3 \\ U(z) = \frac{z}{z-1} \text{ (entrada: degrau unitário)} \end{cases}$$
 Calcular $Y(z)$.

$$Y(z) = \frac{z(z+1)}{(z-1)(z+2)(z+3)}$$

$$\frac{Y(z)}{z} = \frac{z+1}{(z-1)(z+2)(z+3)} = \frac{1/6}{z-1} + \frac{1/3}{z+2} + \frac{-1/2}{z+3}$$

$$Y(z) = \frac{1}{6} \cdot \frac{z}{z-1} + \frac{1}{3} \cdot \frac{z}{z+2} - \frac{1}{2} \cdot \frac{z}{z+3}$$

$$y(k) = \left[\frac{1}{6} + \frac{1}{3}(-2)^k - \frac{1}{2}(-3)^k \right] u(k)$$

c) Divisão Longa:

EXEMPLO #5:

$$\begin{array}{r} 1 (= N(z)) \\ \hline 1 + 3z^{-1} \\ \hline -3z^{-1} \\ \hline -3z^{-1} - 9z^{-2} \\ \hline 9z^{-2} \\ \hline 9z^{-2} + 27z^{-3} \\ \hline -27z^{-3} \end{array} \quad \boxed{1 + 3z^{-1} (= D(z))}$$
$$1 - 3z^{-1} + 9z^{-2} - 27z^{-3} + \dots$$

2.3. Teorema do Valor Final

$$\boxed{\lim_{k \rightarrow \infty} x(k) = \lim_{z \rightarrow 1} (1 - z^{-1}) X(z)}$$

Ganho DC:

$$Y(z) = G(z)U(z) = G(z) \frac{1}{1 - z^{-1}}$$

A resposta de $G(z)$ ao degrau unitário é $y(k)$:

$$\lim_{k \rightarrow \infty} y(k) = \lim_{z \rightarrow 1} (1 - z^{-1}) G(z) \frac{1}{1 - z^{-1}} = \lim_{z \rightarrow 1} G(z)$$

Parte II – Introdução ao Controle em Tempo Discreto

3. Correspondência entre s e z

$$f(t) = e^{-at} u(t)$$

$$f(kT) = e^{-akT} u(kT)$$

$$f(k) = e^{-aT^k} u(k)$$

$$F(s) = \frac{1}{s + a}$$

$$F(z) = \frac{1}{1 - e^{-aT} z^{-1}} = \frac{z}{z - e^{-aT}}$$

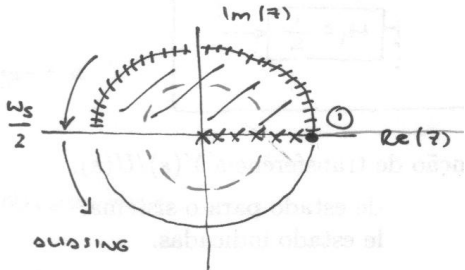
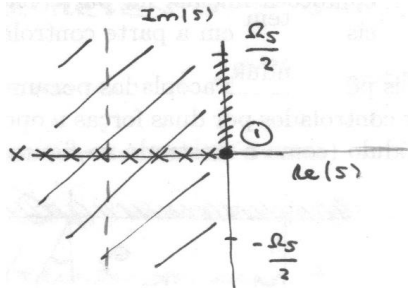
Pólo: $s = -a$

Pólo: $z = e^{-aT}$

Mapeamento de pólos:

$$\boxed{z \longrightarrow e^{sT}}$$

Mapeamento de Pólos: $z \rightarrow e^{sT}$



Projeto Analógico (Emulação): $s = -\sigma \pm j\Omega_d \rightarrow D(s) \rightarrow D(z)$

Projeto Discreto (Exato): $s = -\sigma \pm j\Omega_d \rightarrow z = e^{sT} \rightarrow D(z)$

Parte II – Introdução ao Controle em Tempo Discreto

4. Projeto Analógico (Aproximação de $D(s)$ por $D(z)$)

4.1. Mapeamento dos Pólos e Zeros de $D(s)$ segundo $z = e^{sT}$

T pequeno: $\Omega_s = \frac{2\pi}{T} \gg \Omega_n$, onde Ω_n é a maior frequência natural associada aos pólos de $G(s)$ em malha fechada.

	$D(s)$	$D(z)$
Pólo	s_p	$e^{s_p T}$
Zero Finito	s_z	$e^{s_z T}$
Zero no Infinito	$m = \text{grau(denominador)} - \text{grau(numerador)}$	$(z + 1)^{m-1}$
Ganho DC	$D(s) _{s=0}$	$D(z) _{z=1}$

EXEMPLO #6: $D(s) = \frac{(s+5)(s+6)}{(s+1)(s+2)(s+3)(s+4)}$

$$D(z) = \frac{k(z - e^{-5T})(z - e^{-6T})(z + 1)}{(z - e^{-T})(z - e^{-2T})(z - e^{-3T})(z - e^{-4T})}$$

Ganho DC: $D(s)|_{s=0} = \frac{30}{24} = \frac{5}{4}$

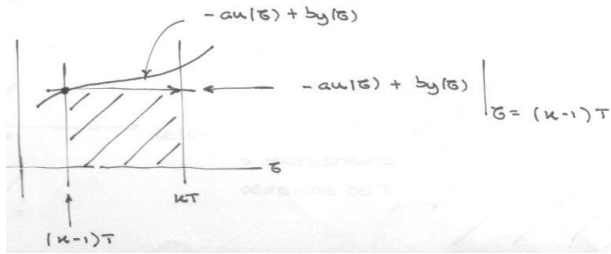
$$D(z)|_{z=1} = \frac{2k(1 - e^{-5T})(1 - e^{-6T})}{(1 - e^{-T})(1 - e^{-2T})(1 - e^{-3T})(1 - e^{-4T})} = \frac{5}{4}$$

$$k = \frac{5}{8} \cdot \frac{(1 - e^{-T})(1 - e^{-2T})(1 - e^{-3T})(1 - e^{-4T})}{(1 - e^{-5T})(1 - e^{-6T})}$$

4.2. Integração Numérica – Forward Euler

EXEMPLO #7: $D(s) = \frac{b}{s+a} = \frac{U(s)}{Y(s)} \rightarrow \dot{u} + au = by \rightarrow \dot{u} = -au + by$

$u(t) = \int_0^t (-au(\tau) + by(\tau))d\tau \leftarrow$ aproximar por método de integração



$$u(kT) = \underbrace{\int_0^{(k-1)T} (-au(\tau) + by(\tau))d\tau}_{u((k-1)T)} + \underbrace{\int_{(k-1)T}^{kT} (-au(\tau) + by(\tau))d\tau}_{\text{área do retângulo:}} \\ T(-au((k-1)T) + by((k-1)T))$$

$$u(kT) = (1 - aT)u((k-1)T) + bTy((k-1)T)$$

$$u(k) = (1 - aT)u(k-1) + bTy(k-1)$$

$$\frac{U(z)}{Y(z)} = \frac{bTz^{-1}}{1 - (1 - aT)z^{-1}}$$

$$D(z) = \frac{b}{\frac{z-1}{T} + a} \longleftrightarrow D(s) = \frac{b}{s+a}$$

Forward Euler:

$$D(z) = D(s) \Big|_{s=\frac{z-1}{T}} \xrightarrow{(z=1+sT)}$$

Problema: pode ocorrer que $D(s)$ estável $\rightarrow D(z)$ instável.

EXEMPLO #8: $D(s) = \frac{1}{s+3}$ e $T = 1$:

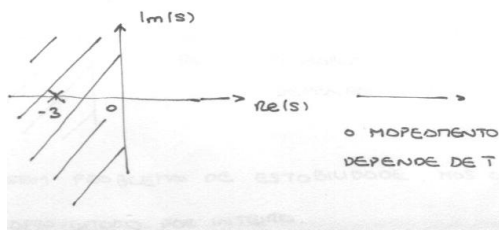
$$s = -3 \quad \xrightarrow{z = 1 + sT} \quad z = 1 - 3 = -2 \text{ (} D(z) \text{ instável)}$$

A

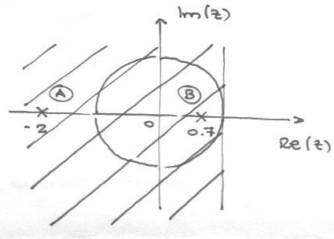
Reduzindo T : $T = \frac{1}{10}$

$$s = -3 \quad \xrightarrow{z = 1 + sT} \quad z = 1 - \frac{3}{10} = 0.7 \text{ (} D(z) \text{ estável)}$$

B

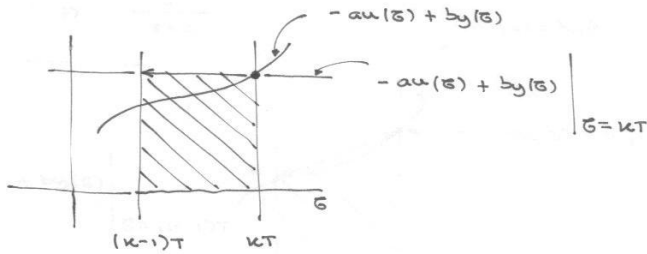


O MOVEDIMENTO
DEPENDE DE T



4.3. Integração Numérica – Backward Euler

EXEMPLO #9: $D(s) = \frac{b}{s+a}$



Área do retângulo: $T(-au(kT) + by(kT))$

$$u(kT) = u((k-1)T) - aTu(kT) + bTy(kT)$$

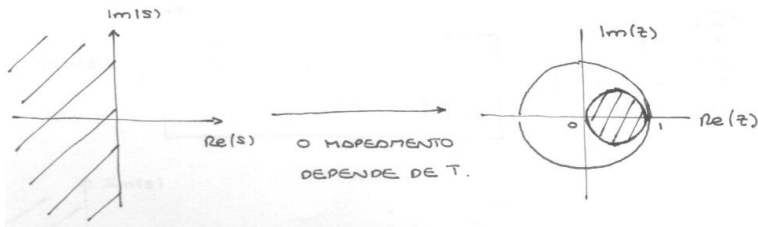
$$(1 + aT)u(k) = u(k-1) + bTy(k)$$

$$\frac{U(z)}{Y(z)} = \frac{bT}{1 + aT - z^{-1}} = \frac{b}{\frac{1 - z^{-1}}{T} + a}$$

$$D(z) = \frac{b}{\frac{z-1}{Tz} + a} \quad \longleftrightarrow \quad D(s) = \frac{b}{s+a}$$

Backward Euler:

$$D(z) = D(s) \Big|_{s=\frac{z-1}{Tz}} \quad \left(z = \frac{1}{1-sT} \right)$$

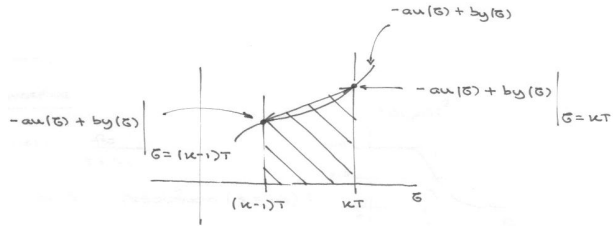


Este mapeamento não tem o problema de estabilidade visto antes (*forward Euler*), mas o círculo unitário não é aproveitado por inteiro.

4.4. Integração Numérica – Transformação Bilinear (Trapézio, Tustin, Newton)

EXEMPLO #10:

$$D(s) = \frac{b}{s + a}$$



Área do trapézio: $\frac{T}{2} (-au((k-1)T) + by((k-1)T) - au(kT) + by(kT))$

$$u(k) = u(k-1) + \frac{T}{2} (-au(k-1) + by(k-1) - au(k) + by(k))$$

$$\frac{U(z)}{Y(z)} = \frac{\frac{bT}{2}(1+z^{-1})}{1 + \frac{aT}{2} - \left(1 - \frac{aT}{2}\right)z^{-1}} = \frac{b(1+z^{-1})}{\frac{2}{T}(1-z^{-1}) + a(1+z^{-1})}$$

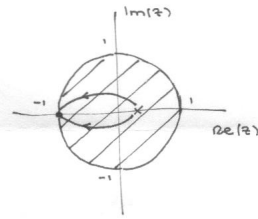
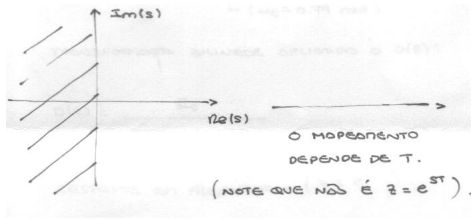
$$D(z) = \frac{b}{\frac{2}{T} \cdot \frac{1-z^{-1}}{1+z^{-1}} + a} = \frac{b}{\frac{2}{T} \cdot \frac{z-1}{z+1}}$$

$$\longleftrightarrow D(s) = \frac{b}{s+a}$$

Bilinear:

$$D(z) = D(s) \Big|_{s=\frac{2}{T} \cdot \left(\frac{z-1}{z+1} \right)}$$

$$z = \frac{1 + \frac{T}{2}s}{1 - \frac{T}{2}s}$$

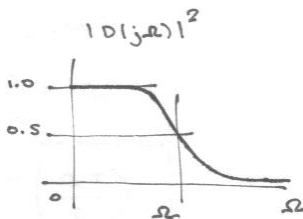


- Sem problema de estabilidade;
- Aproveita o círculo inteiro;
- Problema: distorção em frequência (*warping*).

s	z
0	1.0
$-2T/3$	0.5
$-2/T$	0.0
$-6T$	-0.5

4.4.1. Warping

$$D(s) = \frac{\Omega_c}{s + \Omega_c}$$



Resposta em frequência ($s = j\Omega$):

Amostragem: $2\pi \longleftrightarrow \Omega_s$
 $\omega_c \longleftrightarrow \Omega_c$

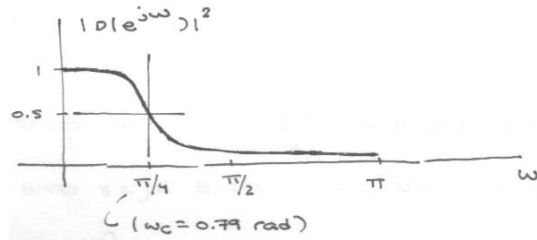
$$\omega_c = 2\pi \cdot \frac{\Omega_c}{\Omega_s} = 2\pi \cdot \frac{\Omega_c}{2\pi/T} = T\Omega_c \rightarrow \boxed{\omega_c = T\Omega_c} \quad \left(\begin{array}{l} \text{O filtro } D(z) \text{ equivalente tem } \omega_c = T\Omega_c \end{array} \right)$$

Considere $\Omega_c = 40$ rad/seg e $\Omega_s = 320$ rad/seg

EXEMPLO #11: (então $T = \frac{2\pi}{320} = \frac{\pi}{160}$ seg).

$$\omega_c = \frac{\pi}{160} \times 40 = \frac{\pi}{4} \text{ rad.}$$

O filtro digital $D(z)$ equivalente tem resposta em frequência:



Transformação bilinear aplicada a $D(s)$: $D(z) = \frac{\Omega_c}{\frac{2}{T} \cdot \frac{z-1}{z+1} + \Omega_c}$

Resposta em frequência ($z = e^{j\omega}$): $D(e^{j\omega}) = \frac{\Omega_c}{\frac{2}{T} \cdot \frac{e^{j\omega}-1}{e^{j\omega}+1} + \Omega_c} =$

$$\frac{\Omega_c}{\frac{2}{T} \cdot \frac{e^{\frac{j\omega}{2}} - 1}{e^{\frac{j\omega}{2}} + 1} \cdot \frac{e^{\frac{j\omega}{2}} - e^{-\frac{j\omega}{2}}}{e^{\frac{j\omega}{2}} + e^{-\frac{j\omega}{2}}} + \Omega_c}$$

$$D(e^{j\omega}) = \frac{\Omega_c}{j \left(\frac{2}{T} \tan \left(\frac{\omega}{2} \right) \right) + \Omega_c}$$

Frequência de corte: $\frac{2}{T} \tan \left(\frac{\omega_c}{2} \right) = \Omega_c \longrightarrow \boxed{\omega_c = 2 \arctan \frac{\Omega_c T}{2}}$

EXEMPLO #12: $\Omega_c = 40$ rad/seg e $T = \frac{\pi}{160}$ seg.

Então: $\omega_c = 2 \arctan \left(-\frac{40\pi}{320} \right) = 2 \arctan \left(-\frac{\pi}{8} \right) = 0.75$ rad ($\neq \pi/4$ rad).

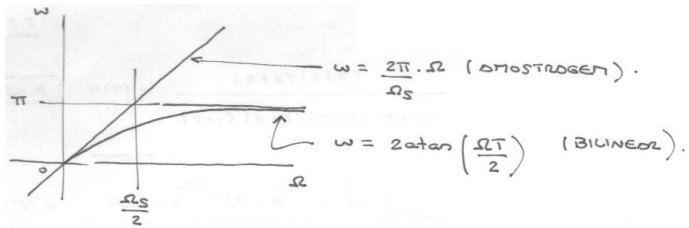
Mas queríamos que, com $T = \frac{\pi}{160}$ seg, a frequência de corte de $D(z)$ seja $\omega_c = \frac{\pi}{4}$ rad.

Então: $\Omega_c = \underbrace{\frac{2}{\pi/160}}_{101.9} \underbrace{\tan \left(\frac{\pi/4}{2} \right)}_{0.4142} = 42$ rad/seg \longleftarrow (pre-warping)

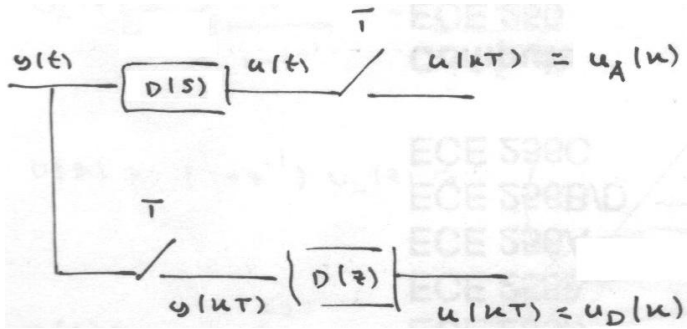
Obs.: a relação $\omega = 2 \arctan\left(\frac{\Omega T}{2}\right)$ vale para todas as frequências do eixo $s = j\omega$ e do círculo unitário $z = e^{j\omega}$, e não só para as frequências de corte:

$$s = \frac{2}{T} \cdot \frac{z - 1}{z + 1} \longrightarrow j[\boxed{\Omega}] = \frac{2}{T} \cdot a =$$

$$\frac{e^{\frac{j\omega}{2}} - e^{-\frac{j\omega}{2}}}{e^{\frac{j\omega}{2}} + e^{-\frac{j\omega}{2}}} = j \boxed{\frac{2}{T} \tan\left(\frac{\omega}{2}\right)}$$



4.5. Equivalência da Resposta ao Degrau



Queremos que $u_D(k) = u_A(k)$

Assumindo $y(t)$ como sendo um *degrau unitário*(*):

① $U(s) = \frac{D(s)}{s}$

② $u(t) = \mathcal{L}^{-1} \left[\frac{D(s)}{s} \right]$

③ $u_A(k) = u(kT)$

④ $U_A(z) = \mathcal{Z}[u_A]$

⑤ Lembrando que $y(kT)$ são amostras de um degrau unitário ($y(k)$ é um degrau discreto):

$$U_D(z) = \frac{D(z)}{(1 - z^{-1})} = U_A(z) \longrightarrow D(z) = (1 - z^{-1})U_A(z)$$

$$D(z) = \frac{z - 1}{z} U_A(z)$$

(*) Obs.: é um método aproximado, porque $y(t)$ não é um degrau unitário, nem é constante por partes.

EXEMPLO #13: $D(s) = \frac{2}{s+2}$

$$\frac{D(s)}{s} = \frac{1}{s} + \frac{-1}{s+2}$$

$$u(t) = (1 - e^{-2t})u(t)$$

$$u_A(k) = (1 - e^{-2Tk})u(k)$$

$$U_A(z) = \left(\frac{1}{1 - z^{-1}} - \frac{1}{1 - e^{-2T}z^{-1}} \right)$$

$$D(z) = (1 - z^{-1})U_A(z) = \left(1 - \frac{1 - z^{-1}}{1 - e^{-2T}z^{-1}} \right)$$

$$D(z) = \frac{1 - e^{-2T}}{z - e^{-2T}}$$

4.6. Discretização no Espaço de Estados:

Dado um sistema contínuo, linear e invariante no tempo:

$$\begin{cases} \dot{\mathbf{x}} = \mathbf{F}\mathbf{x} + \mathbf{G}u \\ y = \mathbf{H}\mathbf{x} + Ju \\ \mathbf{x}(t_0) \text{ qualquer.} \end{cases}$$

Temos:

$$\boxed{\mathbf{x}(t) = e^{\mathbf{F}(t-t_0)}\mathbf{x}(t_0) + \int_{t_0}^t e^{\mathbf{F}(t-\tau)}\mathbf{G}u(\tau)d\tau}$$

Obs.: cálculo de $y(t)$ no domínio do tempo

1) Solução de $\dot{\mathbf{x}} = \mathbf{F}\mathbf{x} + \mathbf{G}u$

1A) $u(t) = 0, \dot{\mathbf{x}}(0) = \mathbf{x}_0$

Série de Taylor: $\mathbf{x}(t) = \mathbf{x}(0) + \dot{\mathbf{x}}(0)t + \frac{\ddot{\mathbf{x}}(0)t^2}{2!} + \dots + \frac{\mathbf{x}^{(n)}(0)t^n}{n!} + \dots$

$$\dot{\mathbf{x}}(0) = \mathbf{F}\mathbf{x}(0)$$

$$\ddot{\mathbf{x}}(0) = \mathbf{F}\dot{\mathbf{x}}(0) = \mathbf{F}^2\mathbf{x}(0)$$

$$\mathbf{x}(t) = \mathbf{x}(0) + \mathbf{F}\mathbf{x}(0)t + \frac{\mathbf{F}^2\mathbf{x}(0)t^2}{2!} + \dots + \frac{\mathbf{F}^n\mathbf{x}(0)t^n}{n!} + \dots = e^{\mathbf{F}t}\mathbf{x}(0).$$

1B) $\mathbf{x}(0) = \mathbf{0}$, entrada $u(t)$ – supomos $\mathbf{x}(t) = e^{\mathbf{F}t}\mathbf{v}(t)$:

$$\mathbf{F}e^{\mathbf{F}t}\mathbf{v}(t) + e^{\mathbf{F}t}\dot{\mathbf{v}}(t) = \mathbf{F}e^{\mathbf{F}t}\mathbf{v}(t) + \mathbf{G}u$$

$$\dot{\mathbf{v}}(t) = e^{-\mathbf{F}t}\mathbf{G}u$$

$$\mathbf{v}(t) = \int_0^t e^{-\mathbf{F}\tau}\mathbf{G}u(\tau)d\tau \longrightarrow \mathbf{x}(t) = \int_0^t e^{\mathbf{F}(t-\tau)}\mathbf{G}u(\tau)d\tau$$

2) Cálculo de $e^{\mathbf{F}t}$:

a) Série de Taylor e Forma de Jordan

$$e^{\mathbf{F}t} = \mathbf{I} + \mathbf{F}t + \frac{\mathbf{F}^2 t^2}{2!} + \frac{\mathbf{F}^3 t^3}{3!} + \dots$$

b) Transformada de Laplace:

$$\boxed{e^{\mathbf{F}t} = \mathcal{L}^{-1}[(s\mathbf{I} - \mathbf{F})^{-1}]}$$

EXEMPLO #14: $\mathbf{F} = \begin{bmatrix} -1 & 1 \\ 0 & -2 \end{bmatrix}$

$$e^{\mathbf{F}t} = \mathcal{L}^{-1} \left[\begin{bmatrix} s+2 & 1 \\ 0 & s+1 \\ \hline s^2 + 3s + 2 \end{bmatrix} \right] = \mathcal{L}^{-1} \left[\begin{bmatrix} \frac{1}{s+1} & \frac{1}{s+1} - \frac{1}{s+2} \\ 0 & \frac{1}{s+2} \end{bmatrix} \right]$$

Obs.: solução de $y(t)$ via transformada de Laplace:

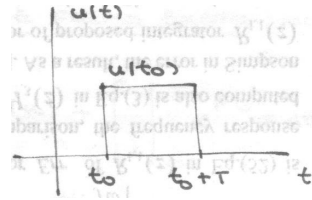
$$\mathbf{X}(s) = (s\mathbf{I} - \mathbf{F})^{-1}\mathbf{x}(t_0) + (s\mathbf{I} - \mathbf{F})^{-1}\mathbf{G}U(s)$$

$$\mathbf{x}(t) = e^{\mathbf{F}(t-t_0)}\mathbf{x}(t_0) + \int_{t_0}^t e^{\mathbf{F}(t-\tau)}\mathbf{G}u(\tau)d\tau$$

4.6. Discretização no Espaço de Estados (continuação do Slide # 196)

$$\mathbf{x}(t) = e^{\mathbf{F}(t-t_0)} \mathbf{x}(t_0) + \int_{t_0}^t e^{\mathbf{F}(t-\tau)} \mathbf{G} u(\tau) d\tau$$

Se a entrada for um pulso constante de largura T e se conhecermos $\mathbf{x}(t_0)$, então podemos calcular $\mathbf{x}(t_0 + T)$ facilmente:



$$\mathbf{x}(t) = e^{\mathbf{F}(t-t_0)} \mathbf{x}(t_0) + \left[\int_{t_0}^t e^{\mathbf{F}(t-\tau)} \mathbf{G} d\tau \right] u(t_0), \text{ se } t_0 \leq t \leq t_0 + T$$

$$\mathbf{x}(t_0 + T) = e^{\mathbf{F}T} \mathbf{x}(t_0) + \left[\int_{t_0}^{t_0+T} e^{\underbrace{\mathbf{F}(t_0 + T - \tau)}_{\mathbf{F}v}} \mathbf{G} d\tau \right] u(t_0)$$

$$v = t_0 + T - \tau$$

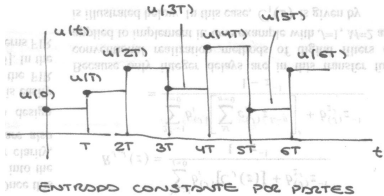
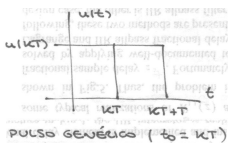
$$\tau = t_0 \longrightarrow v = T$$

$$\tau = t_0 + T \longrightarrow v = 0$$

$$d\tau = -dv$$

$$x(t_0 + T) = e^{\mathbf{F}T} \mathbf{x}(t_0) - \left[\int_T^0 e^{\mathbf{F}v} \mathbf{G} dv \right] u(t_0)$$

$$\mathbf{x}(t_0 + T) = e^{\mathbf{F}T} + \int_0^T e^{\mathbf{F}\tau} \mathbf{G} d\tau . u(t_0)$$



$$\begin{cases} \mathbf{x}(kT + T) = e^{\mathbf{F}T} \mathbf{x}(kT) + \left[\int_0^T e^{\mathbf{F}\tau} \mathbf{G} d\tau \right] u(kT) \\ y(kT) = \mathbf{Hx}(kT) + Ju(kT) \end{cases}$$

Então, se $u(t)$ é constante por partes \Rightarrow é possível calcular $\mathbf{x}(t)$ e $y(t)$ de forma exata nos instantes $t = kT$:

$$\begin{cases} \mathbf{x}(k+1) = e^{\mathbf{F}T} \mathbf{x}(k) + \left[\int_0^T e^{\mathbf{F}\tau} \mathbf{G} d\tau \right] u(k) \\ y(k) = \mathbf{Hx}(k) + Ju(k) \end{cases}$$

De forma abreviada:

$$\begin{cases} \mathbf{x}(k+1) = \Phi \mathbf{x}(k) + \Gamma u(k) \\ y(k) = \mathbf{Hx}(k) + Ju(k) \end{cases}$$

Assumindo que um compensador $D(s)$ é descrito por

$$\begin{cases} \dot{\hat{\mathbf{x}}} = \mathbf{F}_d \hat{\mathbf{x}} + \mathbf{G}_d y \\ u = \mathbf{H}_d \hat{\mathbf{x}} + J_d y \end{cases}$$

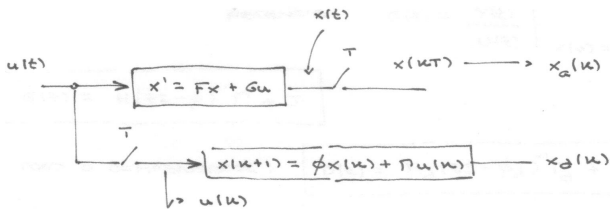
O compensador $D(z)$ aproximado é dado por:

$$\begin{cases} \hat{\mathbf{x}}(k+1) = \Phi_d \hat{\mathbf{x}}(k) + \Gamma_d y(k) \\ u(k) = \mathbf{H}_d \hat{\mathbf{x}}(k) + J_d y(k) \end{cases}$$

Onde: $\Phi_d = e^{\mathbf{F}_d T}$ e $\Gamma_d = \int_0^T e^{\mathbf{F}_d \tau} \mathbf{G}_d d\tau$

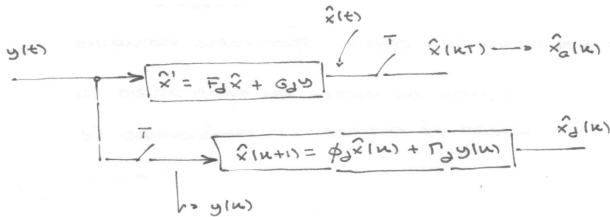
Obs.: estes resultados não são exatos, porque a entrada $y(t)$ do compensador não é uma função constante por partes.

Exato:



$$u(t) \text{ é constante por partes} \rightarrow x_A(k) = x_D(k)$$

Aproximado:



$$y(t) \text{ "constante por partes" (não é)} \rightarrow \hat{x}_A(k) \simeq \hat{x}_D(k)$$

4.6.1. Resposta $y(k)$ (ou $u(k)$) e Função de Transferência $G(z)$ (ou $D(z)$), a partir das Equações de Estado Discretas

$$\begin{cases} \mathbf{x}(k+1) = \Phi \mathbf{x}(k) + \Gamma u(k) \\ y(k) = \mathbf{H} \mathbf{x}(k) + J u(k) \\ \mathbf{x}(0) \text{ qualquer} \end{cases}$$

Aplicando a transformada Z unilateral à equação que define $\mathbf{x}(k+1)$:

$$z\mathbf{X}(z) - z\mathbf{x}(0) = \Phi \mathbf{X}(z) + \Gamma U(z) \\ \mathbf{X}(z) = (z\mathbf{I} - \Phi)^{-1} \Gamma U(z) + (z\mathbf{I} - \Phi)^{-1} \boxed{z} \mathbf{X}(0) \quad (\text{atenção ao fator } z).$$

Então:

$$\boxed{Y(z) = \mathbf{H} (z\mathbf{I} - \Phi)^{-1} \Gamma U(z) + J U(z) + \mathbf{H} (z\mathbf{I} - \Phi)^{-1} z \mathbf{X}(0)} \left(\begin{array}{l} \text{daqui obtém-se} \\ y(k) \text{ usando} \\ \text{a transformada} \\ Z \text{ inversa} \end{array} \right)$$

Função de transferência: $G(z) = \frac{Y(z)}{U(z)} \Big|_{\mathbf{x}(0)=\mathbf{0}} \longrightarrow \boxed{G(z) = \mathbf{H} (z\mathbf{I} - \Phi)^{-1} \Gamma + J}$

Para o compensador: $\boxed{D(z) = \mathbf{H}_d (z\mathbf{I} - \Phi_d)^{-1} \Gamma_d + J_d} \quad (D(z) = U(z)/Y(z))$

EXEMPLO #15: $D(s) = \frac{5s + 7}{s^2 + 3s + 2} = \frac{2}{s + 1} + \frac{3}{s + 2}$

Encontrar aproximação discreta $D(z)$ pelos dois métodos:

- Discretização no espaço de estados
 - Equivalência na resposta ao degrau
-

a) $D(s) = \frac{2}{s + 1} + \frac{3}{s + 2}$

$$\dot{\hat{x}} = \begin{bmatrix} -1 & 0 \\ 0 & -2 \end{bmatrix} \hat{x} + \begin{bmatrix} 1 \\ 1 \end{bmatrix} u$$

Usando a FCM:

$$y = [\begin{array}{cc} 2 & 3 \end{array}] \hat{x}$$

$$\Phi = e^{\mathbf{F}_d T} = \begin{bmatrix} e^{-T} & 0 \\ 0 & e^{-2T} \end{bmatrix} \leftarrow \begin{array}{l} \text{para os casos em que } \mathbf{F} \text{ não} \\ \text{é diagonal, usar } \mathcal{L}^{-1} \left[(s\mathbf{I} - \mathbf{F})^{-1} \right] \end{array}$$

$$\Gamma = \int_0^T e^{\mathbf{F}_d \tau} \mathbf{G}_d d\tau = \int_0^T \begin{bmatrix} e^{-\tau} & 0 \\ 0 & e^{-2\tau} \end{bmatrix} \begin{bmatrix} 1 \\ 1 \end{bmatrix} d\tau = \begin{bmatrix} \frac{-e^{-\tau}}{0} \\ \frac{-e^{-2\tau}}{2} \end{bmatrix} \Big|_0^T = \begin{bmatrix} 1 - e^{-T} \\ \frac{1}{2}(1 - e^{-2T}) \end{bmatrix}$$

$$D(z) = \mathbf{H}_d (z\mathbf{I} - \boldsymbol{\Phi}_d)^{-1} \boldsymbol{\Gamma}_d$$

$$D(z) = \begin{bmatrix} 2 & 3 \end{bmatrix} \begin{bmatrix} z - e^{-T} & 0 \\ 0 & z - e^{-2T} \end{bmatrix}^{-1} \begin{bmatrix} 1 - e^{-T} \\ \frac{1}{2}(1 - e^{-2T}) \end{bmatrix}$$

$$D(z) = \begin{bmatrix} 2 & 3 \end{bmatrix} \frac{\begin{bmatrix} z - e^{-T} & 0 \\ 0 & z - e^{-2T} \end{bmatrix}}{(z - e^{-T})(z - e^{-2T})} \begin{bmatrix} 1 - e^{-T} \\ \frac{1}{2}(1 - e^{-2T}) \end{bmatrix}$$

Numerador: $2(z - e^{-2T})(1 - e^{-T}) + \frac{3}{2}(z - e^{-T})(1 - e^{-2T})$

$$z \left(2 - 2e^{-T} + \frac{3}{2} - \frac{3}{2}e^{-2T} \right) + \left(-2e^{-2T} + 2e^{-3T} - \frac{3}{2}e^{-T} + \frac{3}{2}e^{-3T} \right)$$

$$D(z) = \frac{\left(\frac{7}{2} - 2e^{-T} - \frac{3}{2}e^{-2T} \right) z + \left(\frac{-3}{2}e^{-T} - 2e^{-2T} + \frac{7}{2}e^{-3T} \right)}{z^2 - (e^{-T} + e^{-2T})z + e^{-3T}}$$

$$\text{b) } \frac{D(s)}{s} = \frac{5s+7}{s(s+1)(s+2)} = \frac{7/2}{s} + \frac{-2}{s+1} + \frac{-3/2}{s+2}$$

$$u(t) = \left(\frac{7}{2} - 2e^{-t} - \frac{3}{2}e^{-2t} \right) u(t)$$

$$u_A(k) = \left(\frac{7}{2} - 2e^{-Tk} - \frac{3}{2}e^{-2Tk} \right) u(k)$$

$$U_A(z) = \left(\frac{7}{2} \cdot \frac{z}{z-1} - 2 \cdot \frac{z}{z-e^{-T}} - \frac{3}{2} \cdot \frac{z}{z-e^{-2T}} \right)$$

$$D(z) = \frac{z-1}{z} U_A(z) = \frac{7}{2} - \frac{2(z-1)}{(z-e^{-T})} - \frac{3}{2} \cdot \frac{(z-1)}{(z-e^{-2T})}$$

$$\begin{aligned} \text{Num.: } & \frac{7}{2}(z-e^{-T})(z-e^{-2T}) - 2(z-1)(z-e^{-2T}) - \frac{3}{2}(z-1)(z-e^{-T}) = \\ & = z^2 \left(\frac{7}{2} - 2 - \frac{3}{2} \right) + z \left(-\frac{7}{2}e^{-T} - \frac{7}{2}e^{-2T} + 2 + 2e^{-2T} + \frac{3}{2} + \frac{3}{2}e^{-T} \right) \\ & + \frac{7}{2}e^{-3T} - 2e^{-2T} - \frac{3}{2}e^{-T} \end{aligned}$$

$$D(z) = \frac{\left(\frac{7}{2} - 2e^{-T} - \frac{3}{2}e^{-2T} \right) z + \frac{7}{2}e^{-3T} - 2e^{-2T} - \frac{3}{2}e^{-T}}{(z-e^{-T})(z-e^{-2T})}$$

Parte II – Introdução ao Controle em Tempo Discreto

5. Representação de Sistemas Discretos no Espaço de Estados

5.1. Revisão de Equações a Diferenças

a) Equações a Diferenças no Formato Atrasado:

$$y(k) + a_1 y(k-1) + \dots + a_n y(k-n) = b_0 u(k) + b_1 u(k-1) + \dots + b_n u(k-n)$$

$y(-1), y(-2), \dots, y(-n)$ são dados ($n > 0$)

Solução em forma aberta:

EXEMPLO #16A: $y(k) = ay(k-1) + bu(k)$; $y(-1) = \alpha$; $u(k)$ degrau unitário.

$$y(0) = ay(-1) + bu(0) = a\alpha + b$$

$$y(1) = ay(0) + bu(1) = a^2\alpha + ab + b$$

$$y(2) = ay(1) + bu(2) = a^3\alpha + a^2b + ab + b$$

⋮

$$y(n) = ay(n-1) + bu(n) = a^{n+1}\alpha + \left(\sum_{k=0}^n a^k \right) b = a^{n+1}\alpha + \frac{1-a^{n+1}}{1-a} b$$

$$y(n) = \left[\left(\alpha - \frac{b}{1-a} \right) a^{n+1} + \frac{b}{1-a} \right] u(n)$$

EXEMPLO #16B: Solução direta para o EXEMPLO #16A, usando a transformada Z:

$$Y(z) = a(z^{-1}Y(z) + y(-1)) + bU(z)$$

Obs.: $\sum_{k=0}^{\infty} y(k-1)z^{-k} = z^{-1} \sum_{l=-1}^{\infty} y(l)z^{-l}$ ($l = k-1$)

$$Y(z) = az^{-1}Y(z) + a\alpha + \frac{b}{1-z^{-1}}$$

$$Y(z) = \frac{a\alpha}{1-az^{-1}} + \frac{b}{(1-az^{-1})(1-z^{-1})}$$

$$Y(z) = \frac{a\alpha}{1-az^{-1}} + \frac{\frac{-ab}{1-a}}{1-az^{-1}} + \frac{\frac{b}{1-a}}{1-z^{-1}}$$

$$y(n) = \left(a\alpha a^n - \frac{ab}{1-a} a^n + \frac{b}{1-a} \right) u(n)$$

b) Equações a Diferenças no Formato Adiantado:

$$y(k+n) + a_1 y(k+n-1) + \dots + a_n y(k) = b_0 u(k+n) + b_1 u(k+n-1) + \dots + b_n u(k)$$

Condições iniciais são dadas: $y(n-1), y(n-2), \dots, y(0)$ ($n > 0$)

EXEMPLO #16C: $y(k+1) = ay(k) + bu(k+1)$

$u(k)$ degrau unitário; $y(0) = a\alpha + b$ (condição inicial $\leftrightarrow y(-1) = \alpha$)

Passando pela solução em forma aberta:

$$y(1) = ay(0) + bu(1) = a^2\alpha + ab + b$$

⋮

$$y(n) = \left[\left(\alpha - \frac{b}{1-a} \right) a^{n+1} + \frac{b}{1-a} \right] u(n) \text{ (conforme o EXEMPLO #16A).}$$

EXEMPLO #16D: Solução direta para o EXEMPLO #16C, usando a transformada Z:

$$z(Y(z) - y(0)) = aY(z) + \underbrace{\frac{bz}{z-1}}$$

$$\mathcal{Z}[u(k)] = \mathcal{Z}[u(k+1)] = \frac{z}{z-1}$$

$$(z-a)Y(z) = (a\alpha + b)z + \frac{bz}{z-1}$$

$$Y(z) = (a\alpha + b)\frac{z}{z-a} + \frac{bz}{(z-a)(z-1)}$$

$$Y(z) = (a\alpha + b)\frac{z}{z-a} + \frac{\frac{-b}{1-a}z}{z-a} + \frac{\frac{b}{1-a}z}{z-1}$$

$$y(n) = \left[\underbrace{\left(a\alpha + b - \frac{b}{1-a} \right)}_{a\left(\alpha - \frac{b}{1-a}\right)} a^n + \frac{b}{1-a} \right] u(n)$$

Formato “com avanços” – espaço de estados, controle digital

$$\frac{Y(z)}{U(z)} = \frac{b_0 z^n + b_1 z^{n-1} + \dots + b_n}{z^n + a_1 z^{n-1} + \dots + a_n}$$

Formato “com atrasos” – filtros digitais, processamento de sinais

$$\frac{Y(z)}{U(z)} = \frac{b_0 + b_1 z^{-1} + \dots + b_n z^{-n}}{1 + a_1 z^{-1} + \dots + a_n z^{-n}}$$

5.2. Representação no Espaço de Estados

Dadas equações a diferenças e *condições iniciais* (como na Seção 5.1), obter representação:

$$\mathbf{x}(k+1) = \Phi\mathbf{x}(k) + \Gamma u(k)$$

$$y(k) = \mathbf{H}\mathbf{x}(k) + Ju(k)$$

$$\mathbf{x}(k_0) = \mathbf{x}_0$$

EXEMPLO #17:
$$\begin{cases} y(k+3) - 3y(k+2) + 3y(k+1) - y(k) = u(k) \\ y(0) = \alpha \quad y(1) = \beta \quad y(2) = \gamma \end{cases}$$

$$y(k+3) - \underbrace{3y(k+2)}_{x_1} + \underbrace{3y(k+1)}_{x_2} - \underbrace{y(k)}_{x_3} = u(k)$$

$$x_3(k+1) = x_2(k)$$

$$x_2(k+1) = x_1(k)$$

$$x_1(k+1) = u(k) + 3x_1(k) - 3x_2(k) + x_3(k)$$

$$\text{Logo: } \left\{ \begin{array}{l} \mathbf{x}(k+1) = \begin{bmatrix} 3 & -3 & 1 \\ 1 & 0 & 0 \\ 0 & 1 & 0 \end{bmatrix} \mathbf{x}(k) + \begin{bmatrix} 1 \\ 0 \\ 0 \end{bmatrix} u(k) \\ y(k) = [0 \ 0 \ 1] \mathbf{x}(k) \\ \mathbf{x}(0) = \begin{bmatrix} x_1(0) \\ x_2(0) \\ x_3(0) \end{bmatrix} = \begin{bmatrix} \gamma \\ \beta \\ \alpha \end{bmatrix} \end{array} \right.$$

5.2.1. Forma Canônica Controlável

$$y(k+3) + a_1 y(k+2) + a_2 y(k+1) + a_3 y(k) = b_0 u(k+3) + b_1 u(k+2) + b_2 u(k+1) + b_3 u(k)$$

$$\frac{Y(z)}{U(z)} = \frac{b_0 z^3 + b_1 z^2 + b_2 z + b_3}{z^3 + a_1 z^2 + a_2 z + a_3} = \frac{E(z)}{U(z)} \cdot \frac{Y(z)}{E(z)}$$

$$\frac{E(z)}{U(z)} = \frac{1}{z^3 + a_1 z^2 + a_2 z + a_3}$$

$$e(k+3) + a_1 \underbrace{e(k+2)}_{x_1(k)} + a_2 \underbrace{e(k+1)}_{x_2(k)} + a_3 \underbrace{e(k)}_{x_3(k)} = u(k)$$

$$\mathbf{x}(k) = \begin{bmatrix} x_1(k) \\ x_2(k) \\ x_3(k) \end{bmatrix} \quad \longrightarrow \quad \boxed{\mathbf{x}(k+1) = \begin{bmatrix} -a_1 & -a_2 & -a_3 \\ 1 & 0 & 0 \\ 0 & 1 & 0 \end{bmatrix} \mathbf{x}(k) + \begin{bmatrix} 1 \\ 0 \\ 0 \end{bmatrix} u(k)}$$

$$Y(z) = \frac{b_0 \left(z^3 + \frac{b_1}{b_0} z^2 + \frac{b_2}{b_0} z + \frac{b_3}{b_0} \right)}{z^3 + a_1 z^2 + a_2 z + a_3} \cdot U(z)$$

$$Y(z) = b_0 U(z) + [(b_1 - b_0 a_1) z^2 + (b_2 - b_0 a_2) z + (b_3 - b_0 a_3)] \frac{U(z)}{z^3 + a_1 z^2 + a_2 z + a_3}$$

$$y(k) = (b_1 - b_0 a_1) e(k+2) + (b_2 - b_0 a_2) e(k+1) + (b_3 - b_0 a_3) e(k) + b_0 u(k)$$

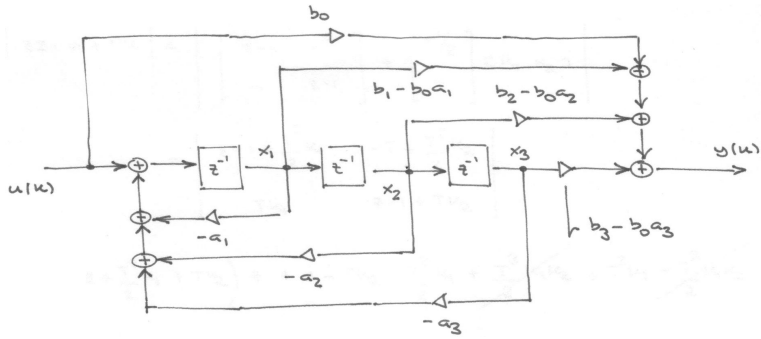
$y(k) = [\begin{array}{ccc} b_1 - b_0 a_1 & b_2 - b_0 a_2 & b_3 - b_0 a_3 \end{array}] \begin{bmatrix} x_1(k) \\ x_2(k) \\ x_3(k) \end{bmatrix} + b_0 u(k)$

Para ordens mais elevadas:

$$\Phi_{cc} = \begin{bmatrix} -a_1 & -a_2 & \cdots & -a_n \\ 1 & 0 & \cdots & 0 \\ 0 & 1 & \cdots & 0 \\ \vdots & \vdots & & \vdots \\ 0 & 0 & \cdots & 0 \end{bmatrix} \quad \Gamma_{cc} = \begin{bmatrix} 1 \\ 0 \\ 0 \\ \vdots \\ 0 \end{bmatrix}$$

$$\mathbf{H}_{cc} = [b_1 - b_0 a_1 \quad b_2 - b_0 a_2 \quad \cdots \quad b_n - b_0 a_n] \quad J_{cc} = b_0$$

Diagrama de blocos:



5.3. Observações sobre a Representação no Espaço de Estados

Para cada um dos assuntos a seguir, usamos os mesmos métodos que foram usados para os sistemas em tempo contínuo:

- 1 Para o cálculo de função de transferência ($Y(z)/U(z)$) e solução ($y(k)$) das equações de estado em tempo discreto, usar os resultados da Seção 4.6.1.

- 2 Controlabilidade: $\mathcal{C} = \begin{bmatrix} \Gamma & \Phi\Gamma \end{bmatrix}$

Observabilidade: $\mathcal{O} = \begin{bmatrix} \mathbf{H} \\ \mathbf{H}\Phi \end{bmatrix}$

Transformações lineares \mathbf{T} para FCC, FCO, FCM, etc.

FCM – formas modais com matriz Φ diagonal

- 3 $\alpha_c(z) \longrightarrow$ projeto de \mathbf{K} : $|z\mathbf{I} - \Phi + \Gamma\mathbf{K}| = \alpha_c(z)$

$$\alpha_e(z) \longrightarrow \mathbf{L}$$

- 4 Posicionamento dos zeros em malha fechada

EXEMPLO #18: $\left\{ \begin{array}{l} \mathbf{x}(k+1) = \begin{bmatrix} 1 & T \\ 0 & 1 \end{bmatrix} \mathbf{x}(k) + \begin{bmatrix} T^2/2 \\ T \end{bmatrix} u(k) \\ y(k) = - \begin{bmatrix} k_1 & k_2 \end{bmatrix} \mathbf{x}(k) \\ \text{Pólos desejados: } z_1 \text{ e } z_2 = -0.6 \pm 0.2j \end{array} \right.$

$$\alpha_C = (z + 0.6 + 0.2j)(z + 0.6 - 0.2j) = z^2 + 1.2z + 0.4$$

$$\begin{aligned} |z\mathbf{I} - \Phi + \Gamma\mathbf{K}| &= \left| \begin{bmatrix} z-1 & -T \\ 0 & z-1 \end{bmatrix} + \begin{bmatrix} T^2/2 \\ T \end{bmatrix} \begin{bmatrix} k_1 & k_2 \end{bmatrix} \right| = \\ &= \left| \begin{array}{cc} z-1 + \frac{T^2}{2}k_1 & -T + \frac{T^2}{2}k_2 \\ Tk_1 & z-1 + Tk_2 \end{array} \right| \end{aligned}$$

$$z^2 + \left(-2 + \frac{T^2}{2}k_1 + Tk_2 \right) z + 1 - Tk_2 - \frac{T^2}{2}k_1 + \frac{T^3}{2}k_1k_2 + T^2k_1 - \frac{T^3}{2}k_1k_2$$

$$-2 + \frac{T^2}{2}k_1 + Tk_2 = 1.2 \quad \longrightarrow \quad 2Tk_2 = 3.8$$

$$\frac{T^2}{2} - Tk_2 + 1 = 0.4$$

Então: $k_2 = \frac{1.9}{T}$ e $T^2 k_1 = 2.6 \rightarrow k_1 = \frac{2.6}{T^2}$.

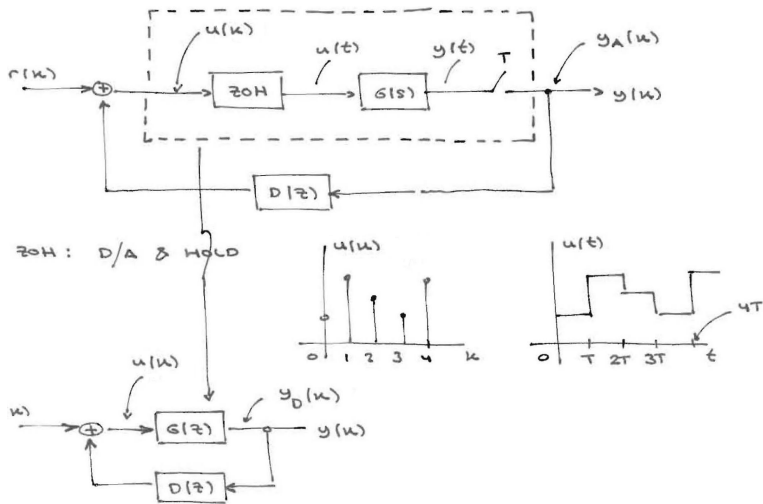
Considerando $T = 0.1$, temos $\mathbf{K} = \begin{bmatrix} 260 & 19 \end{bmatrix}$.

Ver no website – Lista de Exercícios #8 e Projeto #2

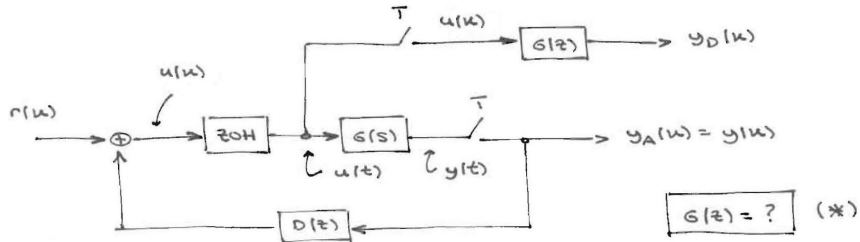
Parte II – Introdução ao Controle em Tempo Discreto

6. Projeto Exato

6.1. Discretização de $G(s)$



$$G(z) \text{ EQUIVOLLENTE A } G(s) \iff y_D(n) = y_A(n)$$

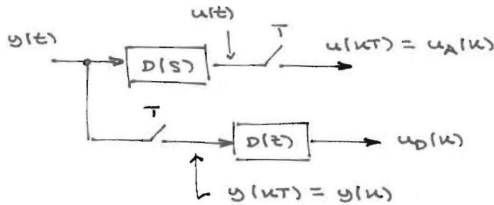


(*) DUAS SORPRESAS:

1. EQUIVALÊNCIA NO RESPOSTA AO DEGRAU
2. DISCRETIZAÇÃO NO ESPAÇO DE ESTADOS

$G(z)$ NÃO É UMA APROXIMAÇÃO: PARA O PUNTO, A REPRESENTAÇÃO $G(z)$ É EXATA, PORQUE $u(t)$ É CONSTANTE POR PARTES.

1A) Equivalência na resposta ao degrau, para o compensador:



- $y(t)$ DEGRAU (não é):

$$u(t) = \mathcal{L}^{-1} \left[\frac{D(s)}{s} \right]$$

- $u_A(k) = u(kT)$

- $U_A(z) = \mathcal{Z}[u_A(k)]$

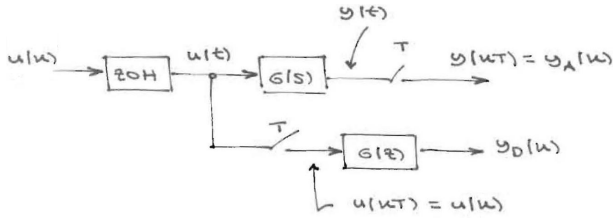
- $y(k)$ DEGRAU :

$$U_D(z) = \frac{D(z)}{1 - z^{-1}}$$

- $u_A(k) \approx u_D(k)$ \rightarrow

$$D(z) = \left(\frac{z-1}{z} \right) U_A(z)$$

1B) Equivalência na resposta ao degrau, para a planta:



• $u(t)$ DEGRAU :

$$y(t) = \mathcal{Z}^{-1} \left[\frac{G(s)}{s} \right]$$

• $y_A(w) = y(uT)$

$$\cdot Y_A(z) = \mathcal{Z} [y_A(w)]$$

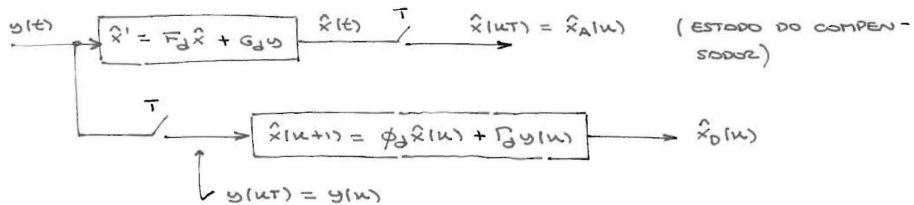
• $u(w)$ DEGRAU :

$$Y_D(z) = \frac{G(z)}{1 - z^{-1}}$$

POIS QUE $y_A(w) = y_D(w) \iff$

$$G(z) = \left(\frac{z-1}{z} \right) Y_A(z)$$

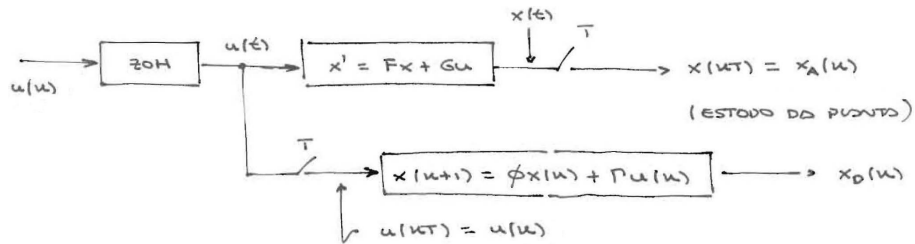
2A) Discretização no espaço de estados, para o compensador:



• $u(t)$ CONSTANTE POR PARTES (não é). PARA QUE $\hat{x}_A(u) \approx \hat{x}_D(u)$:

$$\phi_d = e^{F_d T} ; \quad \Gamma_d = \int_0^T e^{F_d \tau} G_d d\tau$$

2B) Discretização no espaço de estados, para a planta:



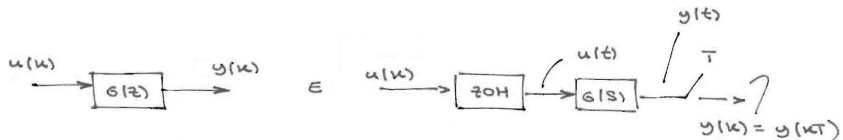
• $u(t)$ CONSTANTE POR PARTES (ou). PARA QUE $x_A(u) = x_B(u)$:

$$\phi = e^{FT} ; \quad I = \int_0^T e^{FG} G dG$$

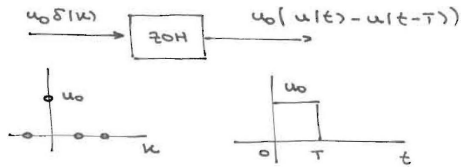
Enquanto que (1A) e (2A) são aproximações ($D(z)$) para $D(s)$, os resultados dos itens (1B) e (2B) são descrições *exatas* ($G(z)$) para a planta $G(s)$ precedida por um ZOH e seguida por uma chave. O compensador $D(s)$ não é precedido por um conversor D/A (ZOH).

Obs.: detalhes sobre o ZOH (*zero-order hold*):

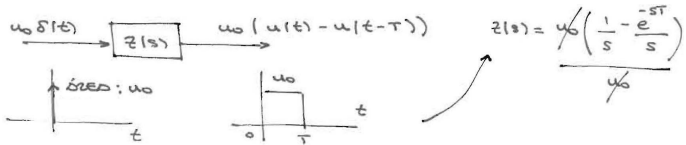
São equivalentes:



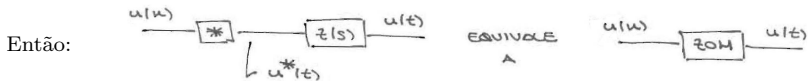
Considere:



Considere também o bloco “pulso retangular” $Z(s)$:



Considerando ainda:

$$\begin{cases} u(k) = (u(0), u(1), u(2), \dots, u(k), \dots) \\ u^*(t) = u(0)\delta(t) + u(1)\delta(t-T) + \dots + u(k)\delta(t-kT) + \dots \end{cases}$$


$$U^*(s) = \sum_{k=0}^{\infty} u(k)e^{-sT} = U(z) \Big|_{z=e^{sT}}$$

$$U(s) = \left(\frac{1 - e^{-sT}}{s} \right) U(z) \Big|_{z=e^{sT}}$$

EXEMPLO #19: $G(s) = \frac{k}{s^2 + 2s + k}$; $k = 4\pi^2 + 1$ (note que $\omega_n = \sqrt{k} \simeq 2\pi + 0.08$)

Calcular $G(z)$, pelo método da equivalência na resposta ao degrau

$$U(s) = \frac{1}{s} \longrightarrow Y(s) = \frac{G(s)}{s} = \frac{4\pi^2 + 1}{s(s+1+j2\pi)(s+1-j2\pi)}$$

$$Y(s) = \frac{1}{s} + \frac{\frac{-2\pi - j}{4\pi}}{s+1+j2\pi} + \frac{\frac{-2\pi + j}{4\pi}}{s+1-j2\pi}$$

Sejam:

$$\begin{cases} B = \frac{-2\pi - j}{4\pi} = \frac{-1}{2} + \frac{-j}{4\pi} \\ a = 1 + j2\pi \end{cases}$$

$$\begin{aligned} \operatorname{Re} \left(B e^{-a^* T} \right) &= \operatorname{Re} \left[\left(\frac{-1}{2} + \frac{-j}{4\pi} \right) (\cos(2\pi T) + j \sin(2\pi T)) e^{-T} \right] \\ &= \frac{-e^{-T}}{2} \left(\cos(2\pi T) - \frac{\sin(2\pi T)}{2\pi} \right) \end{aligned}$$

$$y(t) = \left(1 + B e^{-aT} + B^* e^{-a^* T} \right) u(t)$$

$$y(kT) = \left(1 + Be^{-aTk} + B^*e^{-a^*Tk}\right) u(kT) = y_A(k)$$

$$Y_A(z) = \frac{z}{z-1} + \frac{Bz}{z-e^{-aT}} + \frac{B^*z}{z-e^{-a^*T}}$$

$$G(z) = \left(\frac{z-1}{z}\right) Y_A(z) = 1 + (z-1) \underbrace{\left[\frac{B}{z-e^{-aT}} + \frac{B^*}{z-e^{-a^*T}} \right]}_{\boxed{A}}$$

$$\boxed{A} = \frac{Bz - Be^{-a^*T} + B^*z - B^*e^{-aT}}{z^2 - (e^{-aT} + e^{-a^*T})z + e^{-aT}e^{-a^*T}}$$

$$\boxed{A} = \frac{2\operatorname{Re}(B)z - 2\operatorname{Re}(Be^{-a^*T})}{z^2 - [2\operatorname{Re}(e^{-aT})]z + e^{-2\operatorname{Re}(a)T}}$$

Note que: $\operatorname{Re}(B) = -1/2$; $\operatorname{Re}(e^{-aT}) = e^{-T} \cos(2\pi T)$; $\operatorname{Re}(a) = 1$

$$G(z) = 1 - \frac{(z-1) \left[z - e^{-T} \left(\cos(2\pi T) - \frac{\sin(2\pi T)}{2\pi} \right) \right]}{z^2 - [2e^{-T} \cos(2\pi T)] z + e^{-2T}}$$

$$G(z) = \frac{\left[1 - e^{-T} \left(\cos(2\pi T) + \frac{\sin(2\pi T)}{2\pi} \right) \right] z + e^{-2T} - e^{-T} \left(\cos(2\pi T) - \frac{\sin(2\pi T)}{2\pi} \right)}{z^2 - [2e^{-T} \cos(2\pi T)] z + e^{-2T}}$$

Se $T = 0.1$:

$$G(z) = \frac{0.1833z + 0.1713}{z^2 - 1.4641z + 0.8187} = \frac{0.1833(z + 0.9347)}{z^2 - 1.4641z + 0.8187}$$

No MATLAB:

```
>> clear all;

>> % Simulacao da Planta Continua

>> a = 0; b = 15; pts = 1000; stp = (b-a)/pts; t = a:stp:(b-stp); u = stepfun(t,5);

>> k = 1 + 4*pi^2; num = k; den = [1 2 k]; sys = tf(num,den);

>> lsim(sys,u,t-5);

>> % Simulacao da Planta Discretizada (Calculo pelo MATLAB usando c2d.m)

>> a = 0; b = 15; stp = 0.1; t = a:stp:(b-stp); u = stepfun(t,5);

>> sysd = c2d(sys,0.1,'zoh');

>> hold on; lsim(sysd,u,t-5);

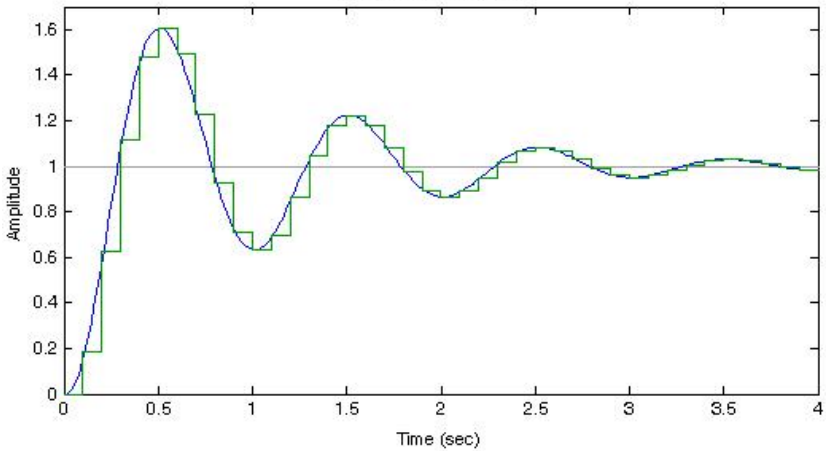
>> % Simulacao da Planta Discretizada (Calculo Manual do EXEMPLO # 19)

>> sysd2 = tf([0.1833 0.1713],[1 -1.4641 0.8187],0.1);

>> hold on; lsim(sysd2,u,t-5);

>> axis([0 4 0 1.7]);
```

Linear Simulation Results



EXEMPLO #20: Cancelamentos entre pólos e zeros de $G(z)$ do EXEMPLO #19.

Note que $\omega_n = \sqrt{4\pi^2 + 1} = 2\pi f_n$ $\left(G(s) = \frac{4\pi^2 + 1}{s^2 + 2s + (4\pi^2 + 1)} \right)$

$f_n \simeq 1$ Hz \longrightarrow frequência de amostragem $f_s \simeq 2$ Hz ($T = 0.5$ seg).

$$G(z) = \frac{az + b}{z^2 + cz + d}, \text{ com } \begin{cases} a = 1 - e^{-T} \left(\cos(2\pi T) + \frac{\sin(2\pi T)}{2\pi} \right) \\ b = e^{-2T} - e^{-T} \left(\cos(2\pi T) - \frac{\sin(2\pi T)}{2\pi} \right) \\ c = -2e^{-T} \cos(2\pi T) \\ d = e^{-2T} \end{cases}$$

$$T = 0.1 \longrightarrow G(z) = \frac{0.1833z + 0.1713}{z^2 - 1.4641z + 0.8187} \text{ (pólos: } 0.73 \pm 0.53j\text{)}$$

Experimente $T = 0.5$ seg, $T = 1.0$ seg e $T = 2.0$ seg.

$T = 0.5$ seg:

$$G(z) = \frac{(1 + e^{-0.5})z + e^{-1} + e^{-0.5}}{z^2 + 2e^{-0.5}z + e^{-1}} = \frac{(1 + e^{-0.5})(z + e^{-0.5})}{(z + e^{-0.5})(z + e^{-0.5})} = \frac{1 + e^{-0.5}}{z + e^{-0.5}}$$

Pólo: $z = -0.61$

$T = 1.0$ seg:

$$G(z) = \frac{(1 - e^{-1})z + e^{-2} - e^{-1}}{z^2 - 2e^{-1}z + e^{-2}} = \frac{(1 - e^{-1})(z - e^{-1})}{(z - e^{-1})(z - e^{-1})} = \frac{1 - e^{-1}}{z - e^{-1}}$$

Pólo: $z = 0.37$

$T = 2.0$ seg:

$$G(z) = \frac{(1 - e^{-2})z + e^{-4} - e^{-2}}{z^2 - 2e^{-2}z + e^{-4}} = \frac{(1 - e^{-2})(z - e^{-2})}{(z - e^{-2})(z - e^{-2})} = \frac{1 - e^{-2}}{z - e^{-2}}$$

Pólo: $z = 0.14$

EXEMPLO #21: $G(s) = \frac{k}{s^2 + 2s + k}$; $k = 4\pi^2 + 1$

Discretização no espaço de estados: calcular Φ e Γ .

$$G(s) = \frac{\frac{j(4\pi^2 + 1)}{4\pi}}{s + 1 + j2\pi} + \frac{\frac{-j(4\pi^2 + 1)}{4\pi}}{s + 1 - j2\pi}$$

Sejam: $A = \frac{j(4\pi^2 + 1)}{4\pi}$ e $p = -1 - j2\pi \longrightarrow G(s) = \frac{A}{s - p} + \frac{A^*}{s - p^*}$

$$\mathbf{F}_{cm} = \begin{bmatrix} p & 0 \\ 0 & p^* \end{bmatrix} \quad \mathbf{G}_{cm} = \begin{bmatrix} A \\ A^* \end{bmatrix} \quad \mathbf{H}_{cm} = \begin{bmatrix} 1 & 1 \end{bmatrix}$$

$$\Phi = e^{\mathbf{F}_{cm}T} = \begin{bmatrix} e^{pT} & 0 \\ 0 & e^{p^*T} \end{bmatrix} = e^{-T} \begin{bmatrix} e^{-j2\pi T} & 0 \\ 0 & e^{j2\pi T} \end{bmatrix}$$

$$\Gamma = \int_0^T e^{\mathbf{F}_{cm}\tau} \mathbf{G}_{cm} d\tau = \int_0^T \begin{bmatrix} e^{p\tau} & 0 \\ 0 & e^{p^*\tau} \end{bmatrix} \begin{bmatrix} A \\ A^* \end{bmatrix} d\tau = \int_0^T \begin{bmatrix} Ae^{p\tau} \\ A^*e^{p^*\tau} \end{bmatrix} d\tau$$

$$\Gamma = \begin{bmatrix} \frac{A}{p} e^{pt} \Big|_0^T \\ \frac{A^*}{p^*} e^{p^* t} \Big|_0^T \end{bmatrix} = \begin{bmatrix} \frac{2\pi + j}{4\pi} (1 - e^{pT}) \\ \frac{2\pi - j}{4\pi} (1 - e^{p^* T}) \end{bmatrix} = \begin{bmatrix} \alpha(1 - e^{pT}) \\ \alpha^*(1 - e^{p^* T}) \end{bmatrix}$$

Obs.: controlabilidade, $\mathcal{C} = [\Gamma \quad \Phi\Gamma]$:

$$\mathcal{C} = \begin{bmatrix} \alpha(1 - e^{pT}) & \alpha e^{pT} (1 - e^{pT}) \\ \alpha^*(1 - e^{p^* T}) & \alpha^* e^{p^* T} (1 - e^{p^* T}) \end{bmatrix}$$

$$|\mathcal{C}| = \alpha\alpha^* e^{p^* T} (1 - e^{p^* T})(1 - e^{pT}) - \alpha\alpha^* e^{pT} (1 - e^{p^* T})(1 - e^{pT})$$

$$|\mathcal{C}| = 0 \longleftrightarrow e^{p^* T} = e^{pT}$$

Então $e^{(-1-j2\pi)T} = e^{(-1+j2\pi)T}$:

$$\cos(2\pi T) - j \sin(2\pi T) = \cos(2\pi T) + j \sin(2\pi T)$$

$$\sin(2\pi T) = 0 \longrightarrow T = \frac{1}{2}, T = 1, T = \frac{3}{2}, T = 2, \text{ etc.}$$

(compare com o EXEMPLO #20)

EXEMPLO #22: substituindo $T = 0.1$ em Φ e Γ do EXEMPLO #21:

$$\Phi = \begin{bmatrix} 0.7320 - 0.5319j & 0 \\ 0 & 0.7320 + 0.5319j \end{bmatrix}$$

$$\Gamma = \begin{bmatrix} 0.0917 + 0.2872j \\ 0.0917 - 0.2872j \end{bmatrix}$$

$$G(z) = \mathbf{H}(z\mathbf{I} - \Phi)^{-1}\Gamma = \frac{0.1833z + 0.1713}{z^2 - 1.4641z + 0.8187}$$

```
>> [num,den] = ss2tf(phi,gamma,[1 1],0);
```

6.2. Projeto do Controlador no Espaço de Estados (\mathbf{K})

Planta:
$$\begin{cases} \mathbf{x}(k+1) = \Phi\mathbf{x}(k) + \Gamma(k) \\ y(k) = \mathbf{H}\mathbf{x}(k) \end{cases}$$

Realimentação de estados: $u = -\mathbf{K}\mathbf{x}(k)$

Malha fechada:
$$\begin{cases} \mathbf{x}(k+1) = (\Phi - \Gamma\mathbf{K})\mathbf{x}(k) \\ y(k) = \mathbf{H}\mathbf{x}(k) \end{cases}$$

Queremos: $\det(z\mathbf{I} - \Phi + \Gamma\mathbf{K}) = \alpha_c(z)$

Pelo método dos pólos dominantes:

$$s_1, s_2, \dots, s_n \longrightarrow z_1 = e^{s_1 T}, z_2 = e^{s_2 T}, \dots, z_n = e^{s_n T}$$

Este é análogo ao problema em tempo contínuo.

- Soluções:
$$\begin{cases} 1. \text{ Cálculo direto de } \mathbf{K} \\ 2. \text{ Transformação direta para a forma canônica controlável} \\ 3. \text{ Fórmula de Ackermann} \end{cases}$$

Aplicação da entrada de referência:
$$\begin{cases} \mathbf{x}(k+1) = (\Phi - \Gamma\mathbf{K})\mathbf{x}(k) + \Gamma\bar{N}r(k) \\ y(k) = \mathbf{H}\mathbf{x}(k) \end{cases}$$

EXEMPLO #23: $G(z) = \frac{0.1833z + 0.1713}{z^2 - 1.4641z + 0.8187}$

Encontre \mathbf{K}_{cc} para colocar pólos em $z = 0.1$ e $z = 0.2 \rightarrow \alpha_c(z) = z^2 - 0.3z + 0.02$.

Solução: $\mathbf{K}_{\text{cc}} = \begin{bmatrix} 1.1641 & -0.7987 \end{bmatrix}$

Usando $u = -\mathbf{K}_{\text{cc}}\mathbf{x} + r$ ($\bar{N} = 1$), temos em malha fechada:

$$\mathbf{x}(k+1) = \begin{bmatrix} 0.3 & -0.02 \\ 1 & 0 \end{bmatrix} \mathbf{x}(k) + \begin{bmatrix} 1 \\ 0 \end{bmatrix} r(k)$$

$$y(k) = \begin{bmatrix} 0.1833 & 0.1713 \end{bmatrix} \mathbf{x}(k)$$

$$\frac{Y(z)}{R(z)} = \frac{0.1833z + 0.1713}{z^2 - 0.3z + 0.02} \rightarrow \lim_{z \rightarrow 1} \frac{Y(z)}{R(z)} = 0.4925 \rightarrow \bar{N} = 2.030$$

EXEMPLO #24: $G(z) = \frac{0.1833z + 0.1713}{z^2 - 1.4641z + 0.8187}$

Usando FCC, colocar ambos os pólos em $z = 0 \rightarrow \alpha_c(z) = z^2$ (note: $\lim_{s \rightarrow -\infty} e^{sT} = 0$)

Solução: $\mathbf{K}_{CC} = \begin{bmatrix} 1.4641 & -0.8187 \end{bmatrix}$

Em malha fechada (com $u = -\mathbf{K}_{CC}\mathbf{x} + r$):

$$\mathbf{x}(k+1) = \begin{bmatrix} 0 & 0 \\ 1 & 0 \end{bmatrix} \mathbf{x}(k) + \begin{bmatrix} 1 \\ 0 \end{bmatrix} r(k)$$

$$y(k) = \begin{bmatrix} 0.1833 & 0.1713 \end{bmatrix} \mathbf{x}(k)$$

$$\frac{Y(z)}{R(z)} = \frac{0.1833z + 0.1713}{z^2} \rightarrow \lim_{z \rightarrow 1} \frac{Y(z)}{R(z)} = 0.3546 \rightarrow \bar{N} = 2.8201$$

Usando $\bar{N} = 2.8201$: $\frac{Y(z)}{R(z)} = \frac{0.5169z + 0.4831}{z^2}$

$$\frac{Y(z)}{R(z)} = 0.5169z^{-1} + 0.4831z^{-2}$$

$$y(k) = 0.5169r(k-1) + 0.4831r(k-2); \quad y(-1) = 0; \quad y(-2) = 0$$

$$y(0) = 0.5169r(-1) + 0.4831r(-2) = 0$$

$$y(1) = 0.5169r(0) + 0.4831r(-1) = 0.5169$$

$$y(2) = 0.5169r(1) + 0.4831r(0) = 1.0000$$

Novidade:

Controlador *dead-beat*: $\alpha_c(z) = z^n$

Resposta ao degrau com erro igual a zero em no máximo n amostras (em tempo finito).

A saída alcança a entrada de referência (degrau unitário) em n amostras.

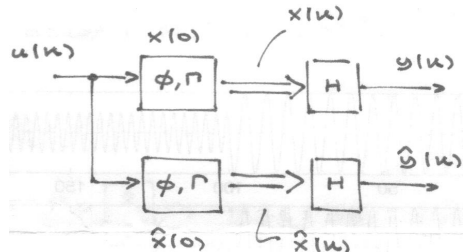
Temos $(\Phi - \Gamma K)^n = \mathbf{0}$.

6.2. Projeto de Estimadores de Estados (L)

- Estimador de Predição
- Estimador Atualizado
- Estimador de Ordem Reduzida

6.2.1. Estimador de Predição

É o que vimos antes. Em malha aberta:



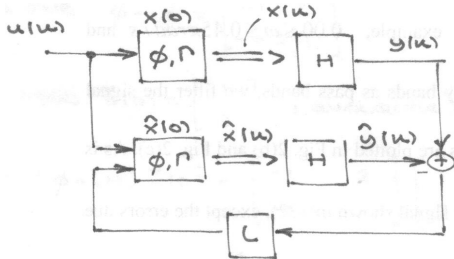
$$\mathbf{x}(k+1) = \Phi \mathbf{x}(k) + \boldsymbol{\Gamma} u(k)$$

$$\hat{\mathbf{x}}(k+1) = \Phi \hat{\mathbf{x}}(k) + \boldsymbol{\Gamma} u(k)$$

$$\tilde{\mathbf{x}}(k+1) = \Phi \tilde{\mathbf{x}}(k)$$

Φ : sistema estável $\Rightarrow \lim_{k \rightarrow \infty} \tilde{\mathbf{x}}(k) = 0$ (convergência lenta)

Em malha fechada (estimador de predição):



$$x(k+1) = \Phi x(k) + \Gamma u(k)$$

$$\hat{x}(k+1) = \Phi \hat{x}(k) + \Gamma u(k) + L(y(k) - H\hat{x}(k))$$

$$\tilde{x}(k+1) = (\Phi - LH)\tilde{x}(k)$$

$\hat{x}(k+1)$ —> Estimativa do estado em instante de tempo referente a $k+1$.

$y(k)$ —> Medida obtida do sensor em instante de tempo referente a k .

- Pólos desejados para o estimador de ordem completa: $\alpha_e(z) = 0$

Então: $\det(z\mathbf{I} - \Phi + \mathbf{L}\mathbf{H}) = \alpha_e(z)$



Também representado por \mathbf{L}_p (p : predição)

- Mesma definição de observabilidade: $\det \mathcal{O} \neq 0$
- Este problema é análogo ao que foi resolvido em tempo contínuo
- Soluções:
 - 1. Cálculo direto de \mathbf{L}
 - 2. Transformação linear para FCO
 - 3. Fórmula de Ackermann
- No MATLAB: $\mathbf{L} = (\text{acker}(\Phi', \mathbf{H}', \mathbf{p}))'$;

EXEMPLO #25:

$$\left\{ \begin{array}{l} \Phi = \begin{bmatrix} 1 & 2 \\ 0 & 1 \end{bmatrix}; \Gamma = \begin{bmatrix} 2 \\ 2 \end{bmatrix}; \mathbf{H} = \begin{bmatrix} 1 & 0 \end{bmatrix} \\ \text{Pólos do erro de estimacão: } z_1 = z_2 = 0 \text{ (dead-beat)} \longrightarrow \alpha_e(z) = z^2 \end{array} \right.$$

$$|z\mathbf{I} - \Phi + \mathbf{L}\mathbf{H}| = \begin{vmatrix} z - 1 + l_1 & -2 \\ l_2 & z - 1 \end{vmatrix} = z^2 + (l_1 - 2)z + (-l_1 + 2l_2 + 1)$$

$$\text{Então: } l_1 = 2 \text{ e } l_2 = \frac{l_1 - 1}{2} = 0.5 \longrightarrow \mathbf{L} = \begin{bmatrix} 2 \\ 0.5 \end{bmatrix}$$

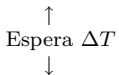
Note que $\Phi - \mathbf{L}\mathbf{H} = \begin{bmatrix} -1 & 2 \\ -0.5 & 1 \end{bmatrix}$ e considere $\tilde{\mathbf{x}}(0) = \begin{bmatrix} 1 \\ 3 \end{bmatrix}$ (condição inicial qualquer)

$$\tilde{\mathbf{x}}(1) = (\Phi - \mathbf{L}\mathbf{H}) \tilde{\mathbf{x}}(0) = \begin{bmatrix} -1 & 2 \\ -0.5 & 1 \end{bmatrix} \begin{bmatrix} 1 \\ 3 \end{bmatrix} = \begin{bmatrix} 5 \\ 2.5 \end{bmatrix}$$

$$\tilde{\mathbf{x}}(2) = (\Phi - \mathbf{L}\mathbf{H}) \tilde{\mathbf{x}}(1) = \begin{bmatrix} -1 & 2 \\ -0.5 & 1 \end{bmatrix} \begin{bmatrix} 5 \\ 2.5 \end{bmatrix} = \begin{bmatrix} 0 \\ 0 \end{bmatrix}$$

Erro de estimacão igual a zero em $n = 2$ amostras.

Implementação do estimador de predição:



$k - 1$

Enviar $u(k - 1)$ para o conversor D/A

Ler $y(k - 1)$ do conversor A/D

Disponíveis: $\hat{\mathbf{x}}(k - 1)$, $u(k - 1)$, $y(k - 1)$

$$\hat{\mathbf{x}}(k) = (\Phi - \mathbf{LH})\hat{\mathbf{x}}(k - 1) + \boldsymbol{\Gamma}u(k - 1) + \mathbf{Ly}(k - 1)$$

$$u(k) = -\mathbf{K}\hat{\mathbf{x}}(k)$$



Espera $\Delta T = T - T_1$, onde

T_1 é o tempo de execução das instruções do loop

k

Enviar $u(k)$ para o conversor D/A

←

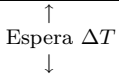
Ler $y(k)$ do conversor A/D

Disponíveis: $\hat{\mathbf{x}}(k)$, $u(k)$, $y(k)$

$$\hat{\mathbf{x}}(k + 1) = (\Phi - \mathbf{LH})\hat{\mathbf{x}}(k) + \boldsymbol{\Gamma}u(k) + \mathbf{Ly}(k)$$

$$u(k + 1) = -\mathbf{K}\hat{\mathbf{x}}(k + 1)$$

←



EXEMPLO #26: $\hat{x}_1 = 0$; $\hat{x}_2 = 0$; $u = 0$;

Loop:
$$\begin{cases} \text{Aplicar } u; \text{ ler } y; \\ \hat{x}_{1P} = -\hat{x}_1 + 2\hat{x}_2 + 2u + 2y \\ \hat{x}_{2P} = -0.5\hat{x}_1 + \hat{x}_2 + 2u + 0.5y \\ \hat{x}_1 = \hat{x}_{1P}; \hat{x}_2 = \hat{x}_{2P} \\ u = -k_1\hat{x}_1 - k_2\hat{x}_2; \end{cases}$$

Problema do estimador de predição: “desperdício de tempo” ΔT .

6.2.2. Estimador Atualizado

O estimador atualizado usa, no tempo k , a amostra $y(k)$ para atualizar a estimativa de $\mathbf{x}(k)$.

No est. de predição: $\hat{\mathbf{x}}(k) = \Phi\hat{\mathbf{x}}(k-1) + \boldsymbol{\Gamma}u(k-1) + \mathbf{L}$

No est. atualizado: $\bar{\mathbf{x}}(k) = \Phi\hat{\mathbf{x}}(k-1) + \boldsymbol{\Gamma}u(k-1)$ (Eq. (1))

$$\hat{\mathbf{x}}(k) = \bar{\mathbf{x}}(k) + \mathbf{L}(y(k) - \mathbf{H}\bar{\mathbf{x}}(k)) \quad (\text{Eq. (2)})$$

Substituindo a Equação (1) na Equação (2), temos o estimador atualizado:

$$\begin{aligned} \hat{\mathbf{x}}(k) &= \Phi\hat{\mathbf{x}}(k-1) + \boldsymbol{\Gamma}u(k-1) + \mathbf{L} \left(y(k) - \mathbf{H} \underbrace{\bar{\mathbf{x}}(k)}_{\downarrow} \right) \\ &\quad \Phi\hat{\mathbf{x}}(k-1) + \boldsymbol{\Gamma}u(k-1) \end{aligned}$$

$$\hat{\mathbf{x}}(k) = (\Phi - \mathbf{L}\mathbf{H}\Phi)\hat{\mathbf{x}}(k-1) + (\boldsymbol{\Gamma} - \mathbf{L}\mathbf{H}\boldsymbol{\Gamma})u(k-1) + \mathbf{L}y(k)$$

Ou, no formato “avançado”:

$$\boxed{\hat{\mathbf{x}}(k+1) = (\Phi - \mathbf{L}\mathbf{H}\Phi)\hat{\mathbf{x}}(k) + (\boldsymbol{\Gamma} - \mathbf{L}\mathbf{H}\boldsymbol{\Gamma})u(k) + \mathbf{L}y(k+1)} \quad (\text{Eq. (3)})$$

Erro de estimacão I: $\tilde{\mathbf{x}}(k) = \mathbf{x}(k) - \hat{\mathbf{x}}(k)$

$$\mathbf{x}(k+1) = \Phi \mathbf{x}(k) + \Gamma u(k)$$

$$\begin{aligned} \hat{\mathbf{x}}(k+1) &= \Phi \hat{\mathbf{x}}(k) + \Gamma u(k) - \mathbf{L} \mathbf{H} \Gamma u(k) + \mathbf{L} \left(\underbrace{y(k+1)}_{\downarrow} - \mathbf{H} \Phi \hat{\mathbf{x}}(k) \right) \\ \mathbf{H} \mathbf{x}(k+1) &= \mathbf{H} \Phi \mathbf{x}(k) + \mathbf{H} \Gamma u(k) \end{aligned}$$

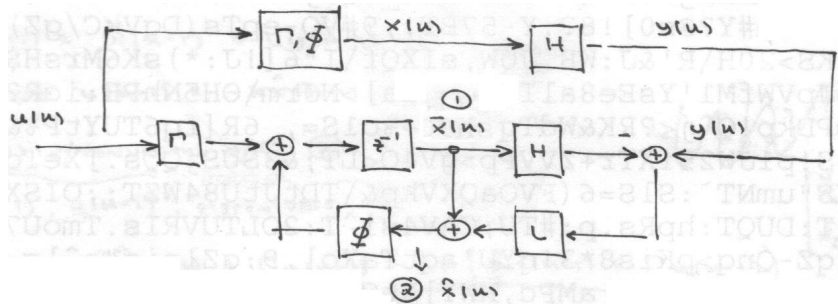
$$\hat{\mathbf{x}}(k+1) = \Phi \hat{\mathbf{x}}(k) + \Gamma u(k) + \mathbf{L} \mathbf{H} \Phi (\mathbf{x}(k) - \hat{\mathbf{x}}(k))$$

$$\boxed{\tilde{\mathbf{x}}(k+1) = (\Phi - \mathbf{L} \mathbf{H} \Phi) \tilde{\mathbf{x}}(k)} \quad (\text{Equaçao (4)})$$

$$|z\mathbf{I} - \Phi + \mathbf{L} \mathbf{H} \Phi| = \alpha_e(z) \text{ ou } \mathbf{L} = (\text{acker}(\text{Phi}', (\mathbf{H} * \text{Phi})', \mathbf{p}))';$$

Para este vetor \mathbf{L} , utilizamos a representacão \mathbf{L}_a (atualizado).

Diagrama de blocos do estimador atualizado:



Note que $\mathbf{x}(k) - \hat{\mathbf{x}}(k)$ e $\mathbf{x}(k) - \bar{\mathbf{x}}(k)$ têm os mesmos pólos.

Erro de estimacão II: $\tilde{\mathbf{x}}(k) = \mathbf{x}(k) - \bar{\mathbf{x}}(k)$

$$\mathbf{x}(k+1) = \Phi \mathbf{x}(k) + \Gamma u(k)$$

$$\bar{\mathbf{x}}(k+1) = \underbrace{\Phi \hat{\mathbf{x}}(k)}_{\downarrow} + \Gamma u(k) \text{ (da Equaçao 1)}$$

$$\bar{\mathbf{x}}(k) + \mathbf{L} (y(k) - \mathbf{H} \bar{\mathbf{x}}(k)) \text{ (da Equaçao 2)}$$

$$\bar{\mathbf{x}}(k+1) = \Phi \bar{\mathbf{x}}(k) + \Gamma u(k) + \Phi \mathbf{L} \left(\underbrace{y(k)}_{\mathbf{H} \bar{\mathbf{x}}(k)} - \mathbf{H} \bar{\mathbf{x}}(k) \right)$$

$$\bar{\mathbf{x}}(k+1) = \Phi \bar{\mathbf{x}}(k) + \Gamma u(k) + \Phi \mathbf{L} \mathbf{H} \tilde{\mathbf{x}}(k)$$

$$\boxed{\tilde{\mathbf{x}}(k+1) = (\Phi - \Phi \mathbf{L} \mathbf{H}) \tilde{\mathbf{x}}(k)} \quad \text{(Equaçao (4))}$$

Então, obtemos a mesma solução \mathbf{L}_a fazendo $|z\mathbf{I} - \Phi + \Phi \mathbf{L} \mathbf{H}| = \alpha_e(z)$.

$$\mathbf{L}_a = \text{inv}(\Phi) * (\text{acker}(\Phi', \mathbf{H}', \mathbf{p}))';$$

Note que

$$\boxed{\mathbf{L}_a = \Phi^{-1} \mathbf{L}_p}$$

EXEMPLO #27: $\left\{ \begin{array}{l} \Phi = \begin{bmatrix} 1 & 2 \\ 0 & 1 \end{bmatrix}; \Gamma = \begin{bmatrix} 2 \\ 2 \end{bmatrix}; \mathbf{H} = \begin{bmatrix} 1 & 0 \end{bmatrix} \\ \text{Encontre } \mathbf{L}_a \text{ (estimador atualizado) para que } \alpha_e(z) = z^2 \end{array} \right.$

$$\Phi - \mathbf{L}\mathbf{H}\Phi = \begin{bmatrix} 1 & 2 \\ 0 & 1 \end{bmatrix} - \begin{bmatrix} l_1 \\ l_2 \end{bmatrix} \begin{bmatrix} 1 & 2 \end{bmatrix} = \begin{bmatrix} 1 - l_1 & 2 - 2l_1 \\ -l_2 & 1 - 2l_2 \end{bmatrix}$$

$$\begin{vmatrix} z - 1 + l_1 & -2 + 2l_1 \\ l_2 & z - 1 + 2l_2 \end{vmatrix} = z^2 + (l_1 + 2l_2 - 2)z + 1 - l_1 \longrightarrow l_1 = 1; l_2 = 0.5$$

$$\mathbf{L}_a = \begin{bmatrix} 1 \\ 0.5 \end{bmatrix}. \text{ Note que } \mathbf{L}_a = \Phi^{-1}\mathbf{L}_p = \begin{bmatrix} 1 & -2 \\ 0 & 1 \end{bmatrix} \begin{bmatrix} 2 \\ 0.5 \end{bmatrix}$$

Implementação do estimador atualizado, sem “desperdício de tempo”:

$$\hat{\mathbf{x}}(k+1) = \underbrace{(\Phi - \mathbf{LH}\Phi)\hat{\mathbf{x}}(k) + (\Gamma - \mathbf{LH}\Gamma)u(k)}_{\hat{\mathbf{x}}(k+1) \text{ (cálculo parcial de } \hat{\mathbf{x}}(k+1))} + \mathbf{Ly}(k+1)$$

↑
Espera ΔT
↓

$k-1$

Ler $y(k-1)$ do conversor A/D

Calcular $\hat{\mathbf{x}}(k-1) = \hat{\mathbf{x}}(k-1) + \mathbf{Ly}(k-1)$

Calcular $u(k-1) = -\mathbf{K}\hat{\mathbf{x}}(k-1)$

Enviar $u(k-1)$ para o conversor D/A

Disponíveis: $\hat{\mathbf{x}}(k-1), u(k-1), y(k-1)$

Cálculo parcial: $\hat{\mathbf{x}}(k) = \Phi\hat{\mathbf{x}}(k-1) + \Gamma u(k-1) - \mathbf{LH}(\Phi\hat{\mathbf{x}}(k-1) + \Gamma u(k-1))$

↑
Espera $\Delta T = T - T_2$, onde
 T_2 é o tempo de execução das instruções do loop
↓

k

Ler $y(k)$ do conversor A/D ←

Calcular $\hat{\mathbf{x}}(k) = \hat{\mathbf{x}}(k) + \mathbf{Ly}(k)$

Calcular $u(k) = -\mathbf{K}\hat{\mathbf{x}}(k)$

Enviar $u(k)$ para o conversor D/A

Disponíveis: $\hat{\mathbf{x}}(k), u(k-1), y(k)$

Cálculo parcial: $\hat{\mathbf{x}}(k+1) = (\Phi - \mathbf{LH}\Phi)\hat{\mathbf{x}}(k) + (\Gamma - \mathbf{LH}\Gamma)u(k)$ ←

↑
Espera $\Delta T \dots$
↓

Obs.: $u(k)$ aplicado T_3 segundos após a obtenção da amostra $y(k)$. T_3 é um pequeno atraso, que pode ser modelado diretamente como um atraso na entrada da planta.

EXEMPLO #28: $\left\{ \begin{array}{l} \text{Dados e } \mathbf{L}_a \text{ do EXEMPLO } \#27. \\ \Phi - \mathbf{LH}\Phi = \begin{bmatrix} 0 & 0 \\ -0.5 & 0 \end{bmatrix}; \Gamma - \mathbf{LH}\Gamma = \begin{bmatrix} 0 \\ 1 \end{bmatrix}; \mathbf{L} = \begin{bmatrix} 1 \\ 0.5 \end{bmatrix} \end{array} \right.$

$$\hat{x}_1 = 0; \hat{x}_2 = 0; u = 0; \longrightarrow \ddot{x}_1 = 0 \text{ e } \ddot{x}_2 = 0$$

Loop: $\left\{ \begin{array}{l} \text{Ler } y; \\ \hat{x}_1 = \ddot{x}_1 + y; \\ \hat{x}_2 = \ddot{x}_2 + 0.5y; \\ u = -k_1 \hat{x}_1 - k_2 \hat{x}_2 \\ \text{Aplicar } u; \\ \ddot{x}_1 = 0; \ddot{x}_2 = -0.5 \hat{x}_1 + u; \end{array} \right.$

6.2.3. Estimador de Estados de Ordem Reduzida

$$\begin{bmatrix} x_a(k+1) \\ x_b(k+1) \end{bmatrix} = \begin{bmatrix} \Phi_{aa} & \Phi_{ab} \\ \Phi_{ba} & \Phi_{bb} \end{bmatrix} \begin{bmatrix} x_a(k) \\ x_b(k) \end{bmatrix} + \begin{bmatrix} \Gamma_a \\ \Gamma_b \end{bmatrix} u(k)$$

$$y(k) = [\begin{array}{cc} 1 & 0 \end{array}] \begin{bmatrix} x_a(k) \\ x_b \end{bmatrix}$$

$$x_b(k+1) = \boxed{\Phi_{bb}} \quad \boxed{x_b} + \underbrace{\boxed{\Phi_{ba} x_a(k) + \Gamma_b u(k)}}_{\text{"Entrada } u(k) \text{ conhecida"}}$$

$$\underbrace{\boxed{x_a(k+1) - \Phi_{aa} x_a(k) - \Gamma_a u(k)}}_{\text{"Saída } y(k) \text{ conhecida"} } = \Phi_{ab} x_b(k)$$

Estimador de predição para $\left\{ \begin{array}{l} \mathbf{x}(k+1) = \boxed{\Phi} \quad \boxed{\mathbf{x}(k)} + \boxed{\Gamma u(k)} \\ \boxed{y(k)} = \boxed{\mathbf{H}} \mathbf{x}(k) \end{array} \right.$

$$\hat{\mathbf{x}}(k+1) = \Phi \hat{\mathbf{x}}(k) + \Gamma u(k) + \mathbf{L} (y(k) - \mathbf{H} \hat{\mathbf{x}}(k))$$

Então:

$$\hat{\mathbf{x}}_b(k+1) = \Phi_{bb} \hat{\mathbf{x}}_b(k) + \Phi_{ba} x_a(k) + \Gamma_b u(k) + \mathbf{L} (x_a(k+1) - \Phi_{aa} x_a(k) - \Gamma_a u(k) - \Phi_{ab} \hat{\mathbf{x}}_b(k))$$

$$\mathbf{x}_b(k+1) = \Phi_{bb}\mathbf{x}_b + \Phi_{ba}x_a(k) + \Gamma_b u(k)$$

$$\hat{\mathbf{x}}_b(k+1) = \Phi_{bb}\hat{\mathbf{x}}_b(k) + \Phi_{ba}x_a(k) + \Gamma_b u(k) + \mathbf{L}(x_a(k+1) - \Phi_{aa}x_a(k) - \Gamma_a u(k) - \Phi_{ab}\hat{\mathbf{x}}_b(k))$$

$$\tilde{\mathbf{x}}_b(k+1) = \Phi_{bb}\tilde{\mathbf{x}}_b(k) + \mathbf{L}(\Phi_{ab}(\mathbf{x}_b(k) - \hat{\mathbf{x}}_b(k))) = (\Phi_{bb} - \mathbf{L}\Phi_{ab})\tilde{\mathbf{x}}_b(k)$$

Finalmente: $|z\mathbf{I} - \Phi_{bb} + \mathbf{L}\Phi_{ab}| = \alpha_e(z)$

EXEMPLO #29: $\left\{ \begin{array}{l} \Phi = \begin{bmatrix} 1 & 2 \\ 0 & 1 \end{bmatrix}; \Gamma = \begin{bmatrix} 2 \\ 2 \end{bmatrix}; \mathbf{H} = [1 \quad 0] \\ \text{Encontre } L \text{ para que } \alpha_e(z) = z; \text{ mostre a implementação.} \end{array} \right.$

$$\Phi_{bb} - L\Phi_{ab} = 1 - 2L \longrightarrow z - 1 + 2L = z \longrightarrow L = 0.5$$

$$\begin{aligned} \hat{x}_b(k) &= \Phi_{bb}(k)\hat{x}_b(k-1) + \Phi_{ba}x_a(k-1) + \Gamma_b u(k-1) + \\ &\quad L(x_a(k) - \Phi_{aa}x_a(k-1) - \Gamma_a u(k-1) - \Phi_{ab}\hat{x}_b(k-1)) \end{aligned}$$

$$\hat{x}_b(k) = \hat{x}_b(k-1) + 2u(k-1) + 0.5(y(k) - y(k-1) - 2u(k-1) - 2\hat{x}_b(k-1))$$

$$\hat{x}_b(k) = u(k-1) - 0.5y(k-1) + 0.5y(k)$$

$$x_a = y(k)$$

Implementação:

$$k - 1 \quad \ddot{x}_b(k) = u(k - 1) - 0.5y(k - 1)$$

$$\Delta T$$

$$k \quad \begin{aligned} & \text{Ler } y(k) \text{ do conversor A/D} \\ & \hat{x}_b(k) = \ddot{x}_b(k) + 0.5y(k) \\ & \text{Aplicar ao conversor D/A: } u(k) = -k_1y(k) - k_2\hat{x}_b(k) \\ & \ddot{x}_b(k+1) = u(k) - 0.5y(k) \end{aligned}$$

6.3. Compensadores (\mathbf{K} e \mathbf{L})

Princípio da Separação: a equação característica do sistema completo (usando \mathbf{K} e \mathbf{L}) em malha fechada é:

$$\underbrace{|z\mathbf{I} - \Phi + \Gamma\mathbf{K}|}_{\alpha_c(z)} \underbrace{|z\mathbf{I} - \Phi + \mathbf{LH}|}_{\alpha_e(z)} = 0$$

- Demonstração: idêntica à do princípio da separação em tempo contínuo; $\begin{bmatrix} \mathbf{x}(k+1) \\ \hat{\mathbf{x}}(k+1) \end{bmatrix}$
- $\alpha_e(z)$: erro do estimador de estados de ordem completa (predição ou atualizado) ou de ordem reduzida.

a) Estimador de Predição:

$$\hat{\mathbf{x}}(k+1) = (\Phi - \mathbf{LH})\hat{\mathbf{x}}(k) + \Gamma u(k) + \mathbf{Ly}(k)$$

$$\left\{ \begin{array}{l} \hat{\mathbf{x}}(k+1) = (\Phi - \Gamma\mathbf{K} - \mathbf{LH})\hat{\mathbf{x}}(k) + \mathbf{Ly}(k) \text{ note que } \mathbf{M} = \mathbf{0} \\ u(k) = -\mathbf{K}\hat{\mathbf{x}}(k) \end{array} \right.$$

$$D(z) = \frac{U(z)}{Y(z)} = -\mathbf{K}(z\mathbf{I} - \Phi + \Gamma\mathbf{K} + \mathbf{LH})^{-1}\mathbf{L}$$

b) Estimador Atualizado:

$$\hat{\mathbf{x}}(k+1) = (\Phi - \mathbf{LH}\Phi)\hat{\mathbf{x}}(k) + (\Gamma - \mathbf{LH}\Gamma)u(k) + \mathbf{Ly}(k+1)$$

$$\left\{ \begin{array}{l} \hat{\mathbf{x}}(k+1) = (\Phi - \mathbf{LH}\Phi - \mathbf{\Gamma K} + \mathbf{LH}\mathbf{\Gamma K})\hat{\mathbf{x}}(k) + \mathbf{Ly}(k+1) \text{ (assumindo } \mathbf{M} = \mathbf{0}) \\ u(k) = -\mathbf{Kx}(\hat{k}) \end{array} \right.$$

$$D(z) = \frac{U(z)}{Y(z)} = -\mathbf{K} (z\mathbf{I} - \Phi + \mathbf{LH}\Phi + \mathbf{\Gamma K} - \mathbf{LH}\mathbf{\Gamma K})^{-1} \mathbf{Lz}$$

c) Estimador de Ordem Reduzida: implementação semelhante à do estimador atualizado, usando a equação que define $\hat{\mathbf{x}}_b(k+1)$. A equação que define $\hat{\mathbf{x}}_b(k+1)$ e a equação que define $u(k)$ são usadas para o cálculo de $D(z)$. Como exemplo, ver a Questão #4 da Segunda Prova Parcial de 2006/2.

6.4. Aplicação da Entrada de Referência

- No caso em que $\mathbf{M} = \mathbf{0}$, a função de transferência em malha fechada é:

$$\frac{Y(z)}{R(z)} = \frac{G(z)}{1 - D(z)G(z)}.$$

Calcular \bar{N} usando Teorema do Valor do Final.

- Utilizando \mathbf{M} qualquer: $\gamma(s) \rightarrow$ zeros que podem ser alocados. O método é idêntico ao que foi aplicado em tempo contínuo.

6.5. Controle Integral

$$\mathbf{x}(k+1) = \Phi\mathbf{x}(k) + \Gamma u(k) + \Gamma_1 w(k)$$

Diferença entre a saída e a entrada de referência: $e(k) = \mathbf{H}\mathbf{x}(k) - r(k)$. Cria-se mais um estado:

$$x_i(k+1) = x_i(k) + e(k)$$

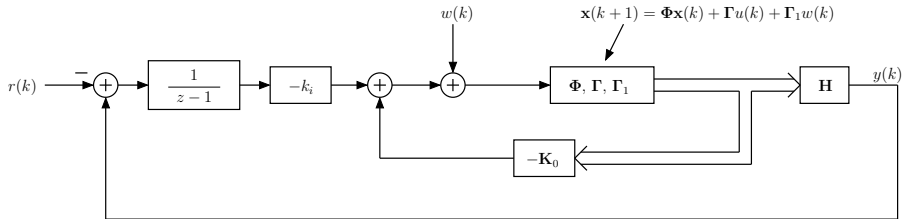
Equações de estado aumentadas:

$$\begin{bmatrix} x_i(k+1) \\ \mathbf{x}(k+1) \end{bmatrix} = \underbrace{\begin{bmatrix} 1 & \mathbf{H} \\ \mathbf{0} & \Phi \end{bmatrix}}_{\Phi_i} \begin{bmatrix} x_i(k) \\ \mathbf{x}(k) \end{bmatrix} + \underbrace{\begin{bmatrix} 0 \\ \Gamma \end{bmatrix}}_{\Gamma_i} u(k) - \begin{bmatrix} 1 \\ \mathbf{0} \end{bmatrix} r(k) + \begin{bmatrix} 0 \\ \Gamma_1 \end{bmatrix} w(k)$$

$$y(k) = [\mathbf{0} \quad \mathbf{H}] \begin{bmatrix} x_i(k) \\ \mathbf{x}(k) \end{bmatrix}$$

Nova regra de controle: $u = - \underbrace{\begin{bmatrix} k_i & | & \mathbf{K}_0 \end{bmatrix}}_{\mathbf{K}} \begin{bmatrix} x_i \\ \mathbf{x} \end{bmatrix}$

Cálculo de \mathbf{K} : $|z\mathbf{I} - \Phi_i + \Gamma_i \mathbf{K}| = \alpha_c(z)$



$$\begin{bmatrix} x_i(k+1) \\ \mathbf{x}(k+1) \end{bmatrix} = \begin{bmatrix} 1 & \mathbf{H} \\ -\boldsymbol{\Gamma}k_i & \boldsymbol{\Phi} - \boldsymbol{\Gamma}\mathbf{K}_0 \end{bmatrix} \begin{bmatrix} x_i(k) \\ \mathbf{x}(k) \end{bmatrix} - \begin{bmatrix} 1 \\ \mathbf{0} \end{bmatrix} r(k) + \begin{bmatrix} 0 \\ \boldsymbol{\Gamma}_1 \end{bmatrix} w(k)$$

$$y(k) = [\quad 0 \quad \mathbf{H}] \begin{bmatrix} x_i(k) \\ \mathbf{x}(k) \end{bmatrix}$$

$$\textcircled{1} \quad \frac{Y(z)}{R(z)} = -[\quad 0 \quad \mathbf{H}] \begin{bmatrix} z-1 \\ \boldsymbol{\Gamma}k_i \end{bmatrix} \begin{bmatrix} z-1 \\ z\mathbf{I} - \boldsymbol{\Phi} + \boldsymbol{\Gamma}\mathbf{K}_0 \end{bmatrix}^{-1} \begin{bmatrix} 1 \\ \mathbf{0} \end{bmatrix} \quad \lim_{z \rightarrow 1} \frac{Y(z)}{R(z)} = 1$$

$$\textcircled{2} \quad \frac{Y(z)}{W(z)} = -[\quad 0 \quad \mathbf{H}] \begin{bmatrix} z-1 \\ \boldsymbol{\Gamma}k_i \end{bmatrix} \begin{bmatrix} z-1 \\ z\mathbf{I} - \boldsymbol{\Phi} + \boldsymbol{\Gamma}\mathbf{K}_0 \end{bmatrix}^{-1} \begin{bmatrix} 0 \\ \boldsymbol{\Gamma}_1 \end{bmatrix} \quad \lim_{z \rightarrow 1} \frac{Y(z)}{W(z)} = 0$$